

# スピンを用いた 量子コンピューティング

阿部英介

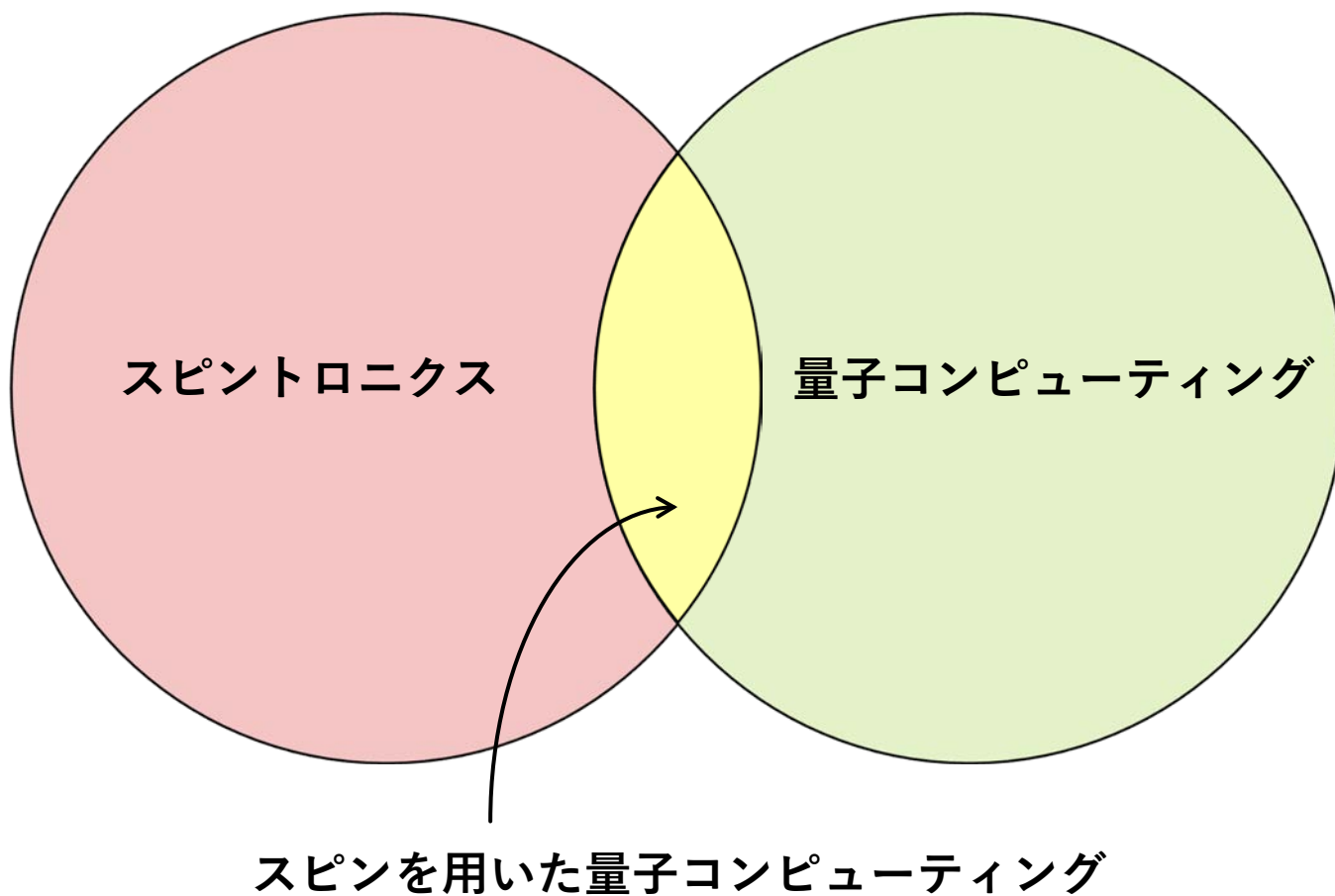
慶應義塾大学スピントロニクス研究センター

2017年11月27日@筑波大学東京キャンパス  
第16回スピントロニクス入門セミナー

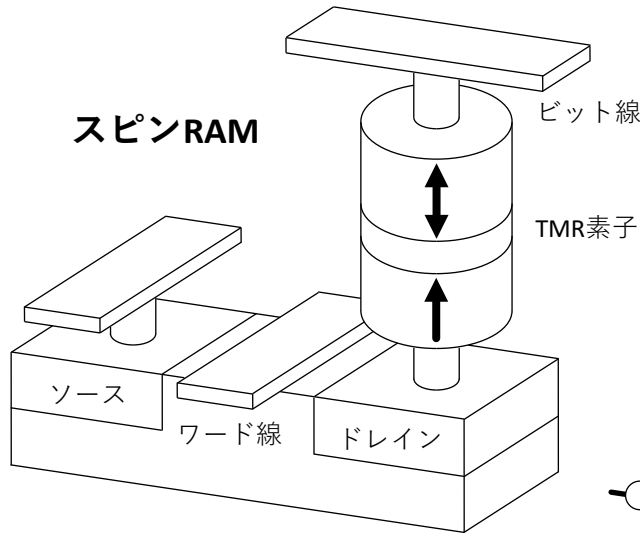
Keio University



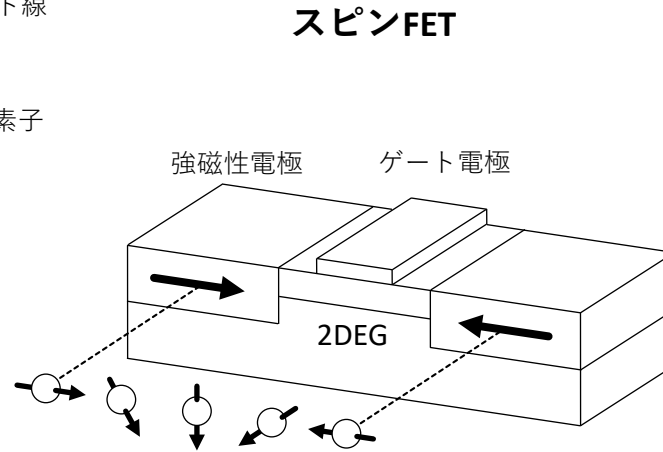
# スピントロニクスと量子コンピューティング



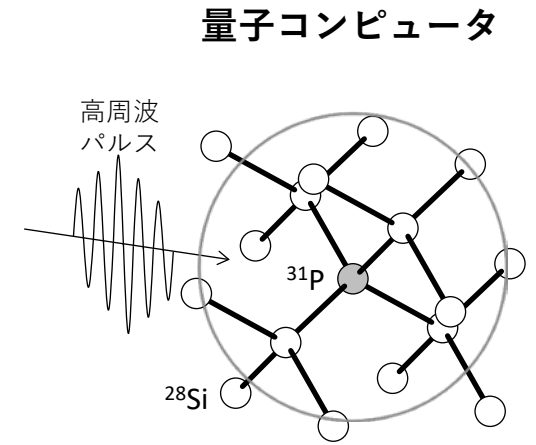
# スピントロニクスにおける位置づけ



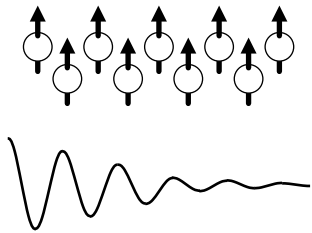
磁性体の磁化



スピントラクト相互作用を受ける伝導電子



シリコン不純物の電子・核スピントラクト



多

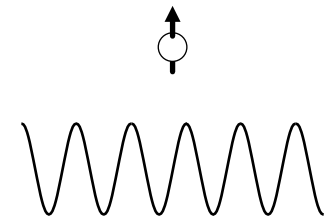
スピントラクト

少

短

スピントラクト時間

長

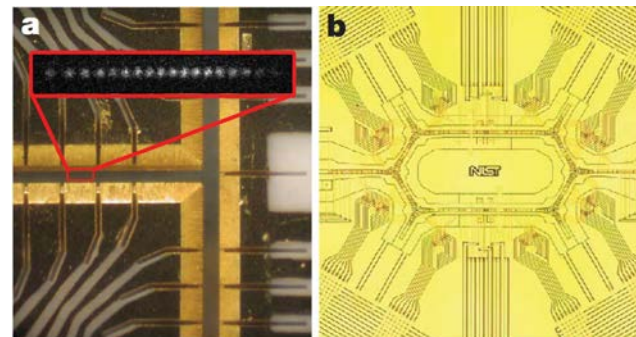
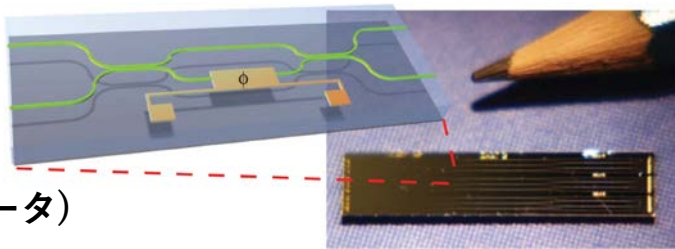


# 量子コンピューティングにおける位置づけ

量子ビット数 ↑

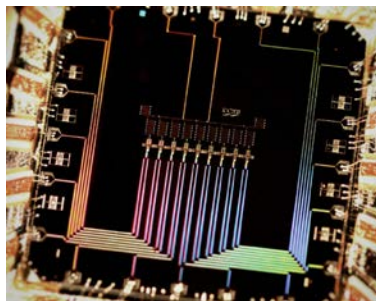
(量子シミュレータ)

光回路

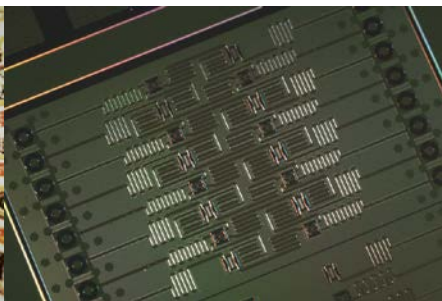


(デジタル量子コンピュータ)

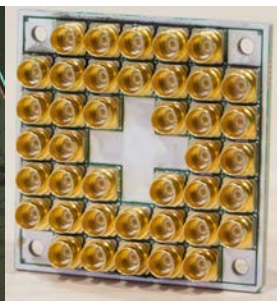
超伝導回路



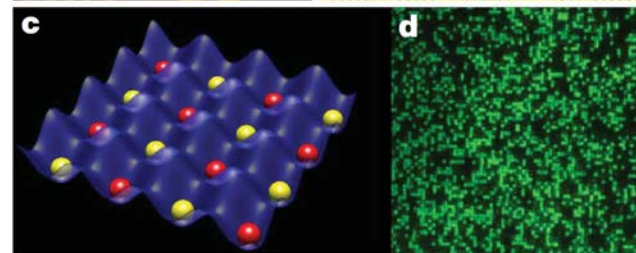
©Google-UCSB



©IBM

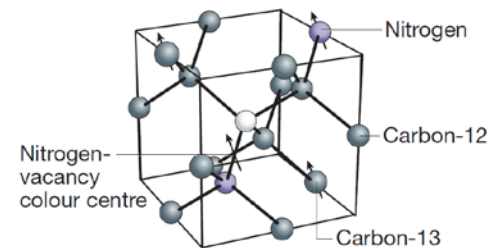
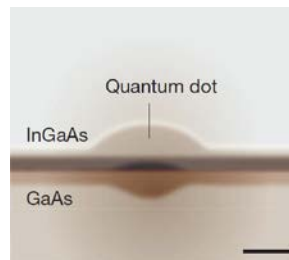
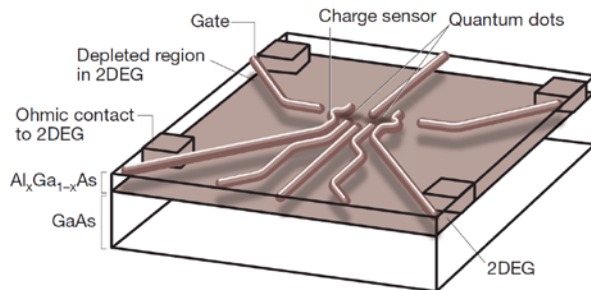
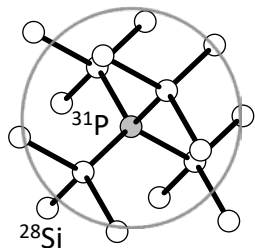


©Intel



捕捉イオン/冷却原子

半導体スピン



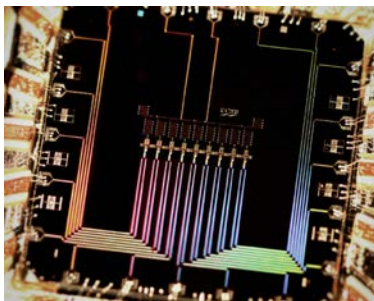
Nature **464**, 45 (2010) Ladd *et al.*

# 量子コンピューティングにおける位置づけ

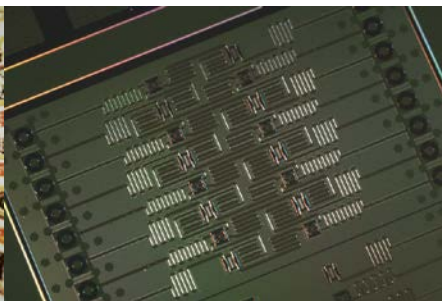
応用物理 **86 (6)**, 453 (2017) 阿部 & 伊藤

“固体量子情報デバイスの現状と将来展望  
—万能デジタル量子コンピュータの実現に向けて”

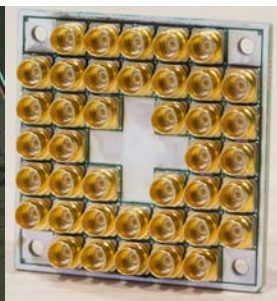
## 超伝導回路



©Google-UCSB

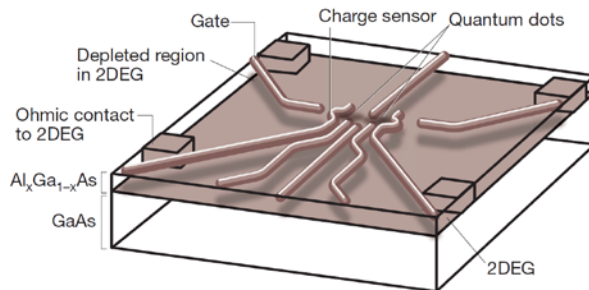
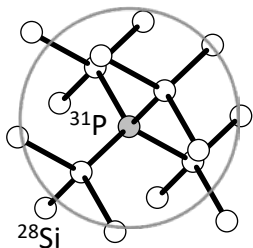


©IBM



©Intel

## 半導体スピン



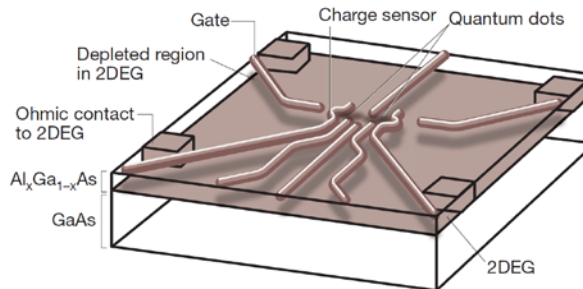
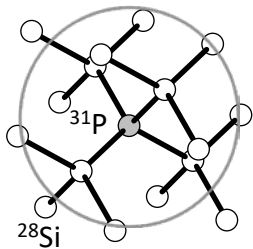
量子ビット数 ↑

# 量子コンピューティングにおける位置づけ

本日カバーする範囲  
(材料はシリコンに限定)

量子ビット数

半導体スピン



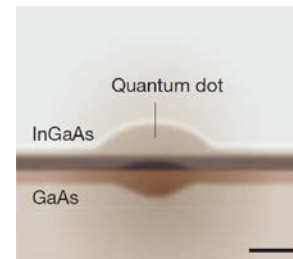
# 量子コンピューティングにおける位置づけ

固体物理 **48 (11)**, 541 (2013) 山本 & 阿部

“光制御量子ドットスピンを用いた量子情報システムの  
現状と将来展望”

量子ビット数

半導体スピン



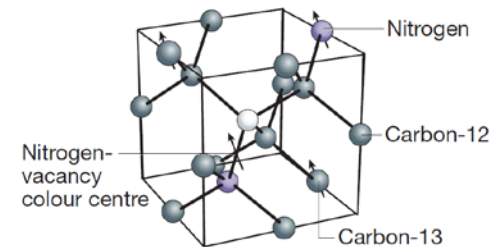
# 量子コンピューティングにおける位置づけ

NEW DIAMOND 33 (2), 3 (2017) 阿部 & 伊藤

“スピントロニクス研究の原点からダイヤモンドでのトレンド、  
今後の展開まで”

量子ビット数

半導体スピン





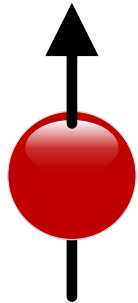
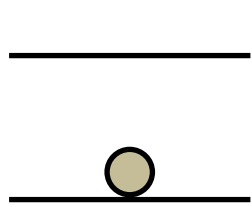
# 講演内容

- **量子コンピューティング**
  - 量子ビット
  - 量子ゲート(ユニタリ演算)
  - 量子アルゴリズム
- **シリコンスピン量子コンピュータ**
  - リンドナー
  - MOS量子ドット
  - Si/SiGe量子ドット

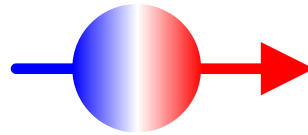
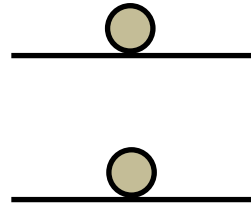
# 講演内容

- **量子コンピューティング**
  - 量子ビット
  - 量子ゲート(ユニタリ演算)
  - 量子アルゴリズム
  
- シリコンスピン量子コンピュータ
  - リンドナー
  - MOS量子ドット
  - Si/SiGe量子ドット

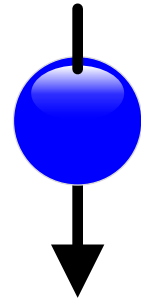
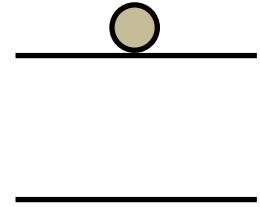
# 量子ビット



$|0\rangle$



$|\Psi\rangle = \alpha|0\rangle + \beta|1\rangle$



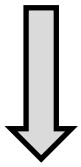
$|1\rangle$

重ね合わせ

# 量子ビット

定義: 計算基底のベクトル表示

$$|0\rangle = \begin{pmatrix} 1 \\ 0 \end{pmatrix} \quad |1\rangle = \begin{pmatrix} 0 \\ 1 \end{pmatrix} \quad \langle 0|0\rangle = (1 \quad 0) \begin{pmatrix} 1 \\ 0 \end{pmatrix} = 1$$



$$\langle 1|0\rangle = (0 \quad 1) \begin{pmatrix} 1 \\ 0 \end{pmatrix} = 0$$

公準(postulate): 許される状態はヒルベルト空間内

$$|\psi\rangle = \alpha|0\rangle + \beta|1\rangle = \begin{pmatrix} \alpha \\ \beta \end{pmatrix}$$

$$|\alpha|^2 + |\beta|^2 = 1 \quad \alpha, \beta \in \mathcal{C}$$

# 複数量子ビット

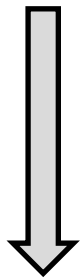
## 2量子ビットの状態の記述

$$|\Psi\rangle = \alpha|00\rangle + \beta|01\rangle + \gamma|10\rangle + \delta|11\rangle$$

$$|\alpha|^2 + |\beta|^2 + |\gamma|^2 + |\delta|^2 = 1$$

## 公準: 複合系の状態はテンソル積で表される

(注) 2量子ビットの状態の計算基底は4つ



$$|00\rangle = \begin{pmatrix} 1 \\ 0 \\ 0 \\ 0 \end{pmatrix}, |01\rangle = \begin{pmatrix} 0 \\ 1 \\ 0 \\ 0 \end{pmatrix}, |10\rangle = \begin{pmatrix} 0 \\ 0 \\ 1 \\ 0 \end{pmatrix}, |11\rangle = \begin{pmatrix} 0 \\ 0 \\ 0 \\ 1 \end{pmatrix}$$

## 定義: テンソル積(行列表示)

$$a \otimes b = \begin{pmatrix} a_1 \\ a_2 \end{pmatrix} \otimes \begin{pmatrix} b_1 \\ b_2 \end{pmatrix} = \begin{pmatrix} a_1 \times \begin{pmatrix} b_1 \\ b_2 \end{pmatrix} \\ a_2 \times \begin{pmatrix} b_1 \\ b_2 \end{pmatrix} \end{pmatrix} = \begin{pmatrix} a_1 b_1 \\ a_1 b_2 \\ a_2 b_1 \\ a_2 b_2 \end{pmatrix}$$

# 2量子ビット

## 2量子ビットの計算基底

$$|00\rangle = |0\rangle|0\rangle = |0\rangle \otimes |0\rangle = \begin{pmatrix} 1 \times \begin{pmatrix} 1 \\ 0 \end{pmatrix} \\ 0 \times \begin{pmatrix} 1 \\ 0 \end{pmatrix} \end{pmatrix} = \begin{pmatrix} 1 \\ 0 \\ 0 \\ 0 \end{pmatrix}$$

$$|01\rangle = |0\rangle|1\rangle = |0\rangle \otimes |1\rangle = \begin{pmatrix} 1 \times \begin{pmatrix} 0 \\ 1 \end{pmatrix} \\ 0 \times \begin{pmatrix} 0 \\ 1 \end{pmatrix} \end{pmatrix} = \begin{pmatrix} 0 \\ 1 \\ 0 \\ 0 \end{pmatrix}$$

$$|10\rangle = |1\rangle|0\rangle = |1\rangle \otimes |0\rangle = \begin{pmatrix} 0 \times \begin{pmatrix} 1 \\ 0 \end{pmatrix} \\ 1 \times \begin{pmatrix} 1 \\ 0 \end{pmatrix} \end{pmatrix} = \begin{pmatrix} 0 \\ 0 \\ 1 \\ 0 \end{pmatrix}$$

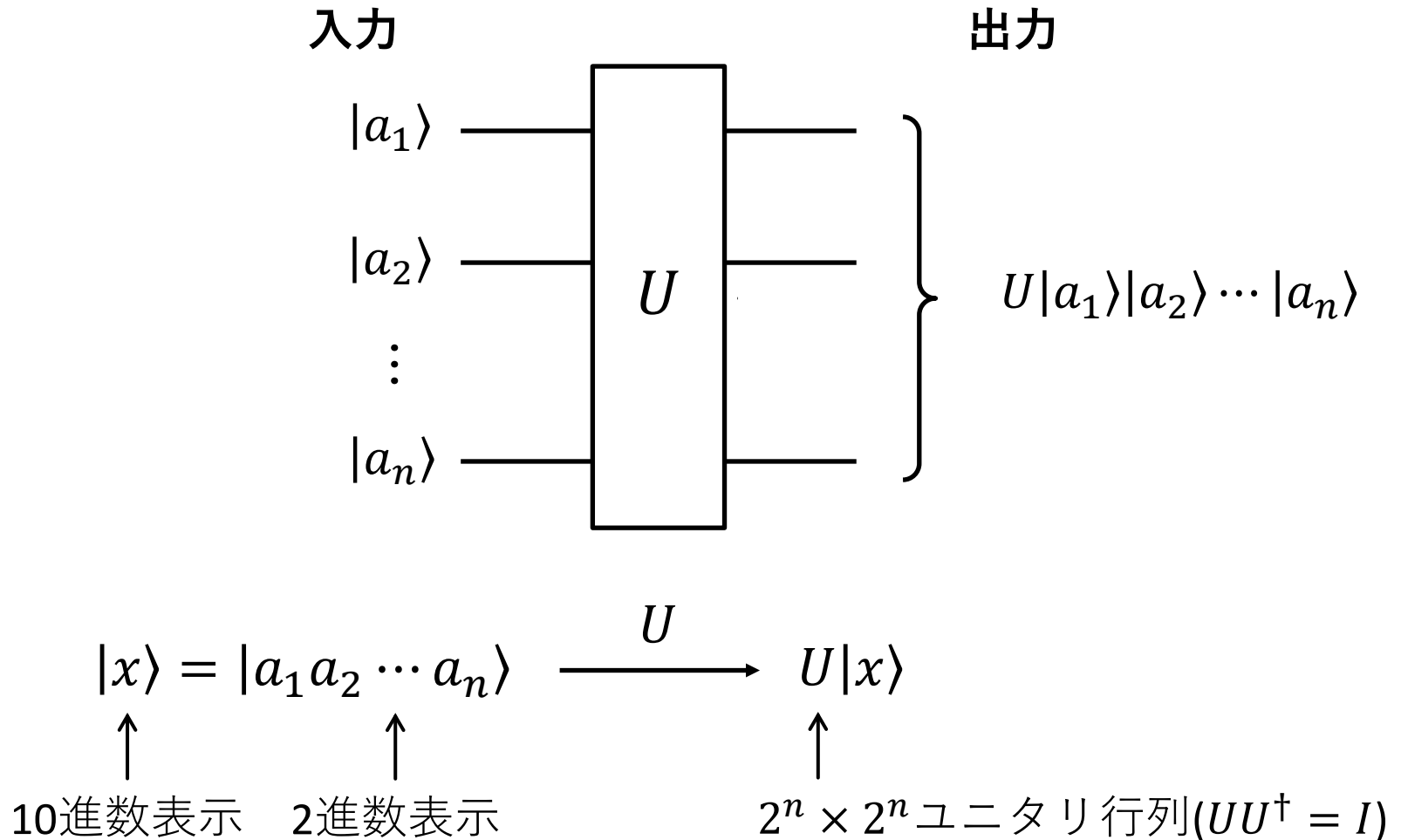
$$|11\rangle = |1\rangle|1\rangle = |1\rangle \otimes |1\rangle = \begin{pmatrix} 0 \times \begin{pmatrix} 0 \\ 1 \end{pmatrix} \\ 1 \times \begin{pmatrix} 0 \\ 1 \end{pmatrix} \end{pmatrix} = \begin{pmatrix} 0 \\ 0 \\ 0 \\ 1 \end{pmatrix}$$

## 2量子ビット状態

$$|\Psi\rangle = \begin{pmatrix} \alpha \\ \beta \\ \delta \\ \gamma \end{pmatrix}$$

# ユニタリ演算

公準: 量子状態の時間発展はユニタリ



# ユニタリ演算: アダマールゲート

$$|a\rangle \longrightarrow \boxed{H} \longrightarrow \frac{1}{\sqrt{2}} \sum_{b=0,1} (-1)^{a \cdot b} |b\rangle = \frac{|0\rangle + (-1)^a |1\rangle}{\sqrt{2}}$$

$$\begin{cases} H|0\rangle = \frac{|0\rangle + |1\rangle}{\sqrt{2}} \\ H|1\rangle = \frac{|0\rangle - |1\rangle}{\sqrt{2}} \end{cases} \iff \begin{cases} H \begin{pmatrix} 1 \\ 0 \end{pmatrix} = \frac{1}{\sqrt{2}} \begin{pmatrix} 1 \\ 1 \end{pmatrix} \\ H \begin{pmatrix} 0 \\ 1 \end{pmatrix} = \frac{1}{\sqrt{2}} \begin{pmatrix} 1 \\ -1 \end{pmatrix} \end{cases} \iff H = \frac{1}{\sqrt{2}} \begin{pmatrix} 1 & 1 \\ 1 & -1 \end{pmatrix}$$

$$HH = \frac{1}{2} \begin{pmatrix} 1 & 1 \\ 1 & -1 \end{pmatrix} \begin{pmatrix} 1 & 1 \\ 1 & -1 \end{pmatrix} = \begin{pmatrix} 1 & 0 \\ 0 & 1 \end{pmatrix} \iff H^\dagger = H$$

↑  
自己共役



# ユニタリ演算: アダマールゲート

$$|a\rangle \longrightarrow \boxed{H} \longrightarrow \frac{1}{\sqrt{2}} \sum_{b=0,1} (-1)^{a \cdot b} |b\rangle = \frac{|0\rangle + (-1)^a |1\rangle}{\sqrt{2}}$$

$$HH|a\rangle = H \left( \frac{1}{\sqrt{2}} \sum_{b=0,1} (-1)^{a \cdot b} |b\rangle \right)$$

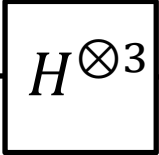
$$(a+c) \cdot b = \begin{cases} 0 & (c = a) \\ b & (c = \bar{a}) \end{cases}$$

$$= \frac{1}{\sqrt{2}} \sum_{b=0,1} (-1)^{a \cdot b} \left( \frac{1}{\sqrt{2}} \sum_{c=0,1} (-1)^{b \cdot c} |c\rangle \right) = \frac{1}{2} \sum_{b,c} (-1)^{(a+c) \cdot b} |c\rangle$$

$$= \frac{1}{2} \sum_b (|a\rangle + (-1)^b |\bar{a}\rangle) = \frac{1}{2} (|a\rangle + |\bar{a}\rangle + |a\rangle - |\bar{a}\rangle) = |a\rangle$$

干渉による強め合いと弱め合い

# ユニタリ演算: アダマールゲート

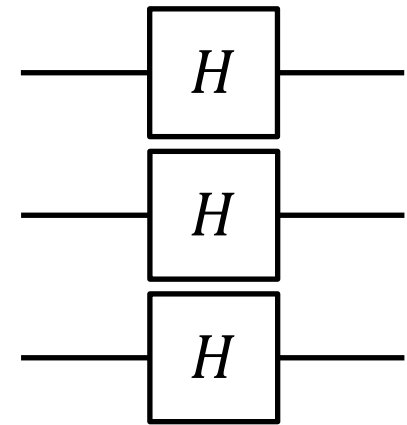
$$|000\rangle \xrightarrow{H^{\otimes 3}} H^{\otimes 3}|000\rangle$$


$$H^{\otimes 3}|000\rangle$$

$$= \frac{1}{\sqrt{2^3}} (|0\rangle + |1\rangle)(|0\rangle + |1\rangle)(|0\rangle + |1\rangle)$$

$$= \frac{1}{\sqrt{2^3}} (|000\rangle + |001\rangle + |010\rangle + |011\rangle + |100\rangle + |101\rangle + |110\rangle + |111\rangle)$$

$$= \frac{1}{\sqrt{2^3}} \sum_{a,b,c=0,1} |abc\rangle = \frac{1}{\sqrt{2^3}} \sum_{x=0}^{2^3-1} |x\rangle$$



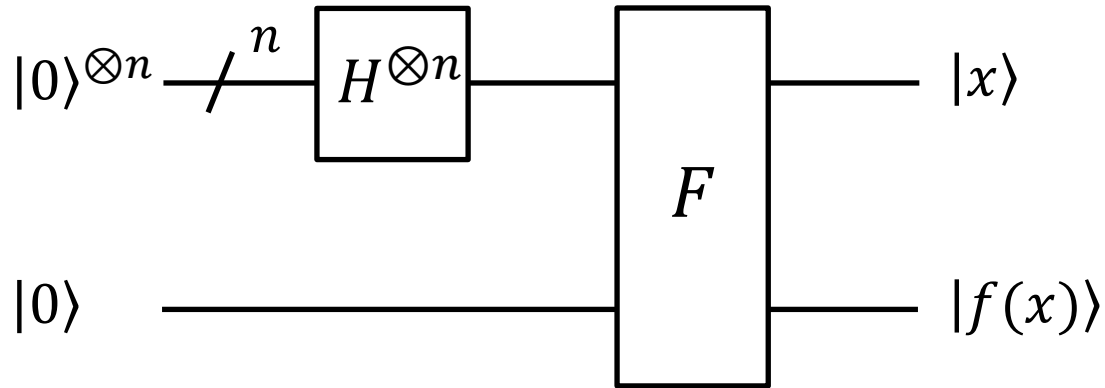
# ユニタリ演算: アダマールゲート

$$|x\rangle = |a_1\rangle|a_2\rangle\cdots|a_n\rangle \xrightarrow{n} \boxed{H^{\otimes n}} \longrightarrow \frac{1}{\sqrt{2^n}} \sum_y (-1)^{x \cdot y} |y\rangle$$

$$x \cdot y \equiv a_1 \cdot b_1 + a_2 \cdot b_2 + \cdots + a_n \cdot b_n$$

$$\begin{aligned} H^{\otimes n} |x\rangle &= \frac{1}{\sqrt{2^n}} \left( \sum_{b_1=0,1} (-1)^{a_1 \cdot b_1} |b_1\rangle \right) \cdots \left( \sum_{b_n=0,1} (-1)^{a_n \cdot b_n} |b_n\rangle \right) \\ &= \frac{1}{\sqrt{2^n}} \sum_{b_1, b_2, \dots, b_n} (-1)^{a_1 \cdot b_1 + a_2 \cdot b_2 + \cdots + a_n \cdot b_n} |b_1 b_2 \cdots b_n\rangle \\ &= \frac{1}{\sqrt{2^n}} \sum_y (-1)^{x \cdot y} |y\rangle \end{aligned}$$

# 量子並列性



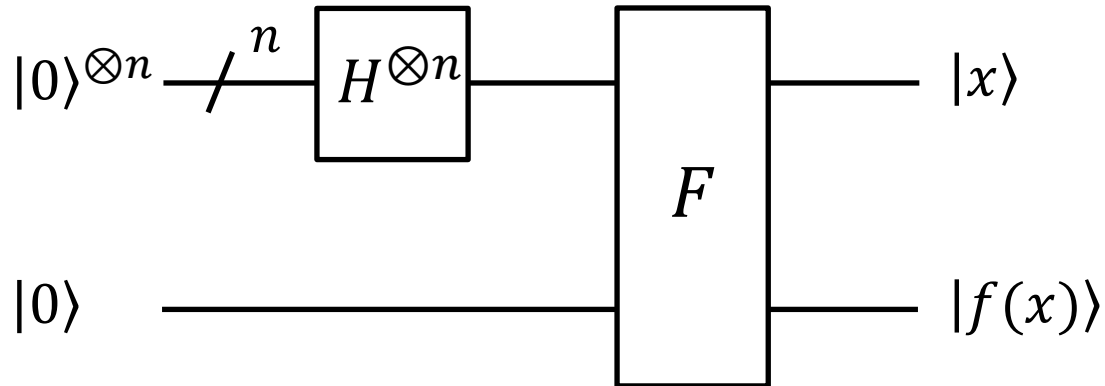
$f(x)$ : 2値関数(ビットデータ列)

$$F|x\rangle|a\rangle = |x\rangle|a \oplus f(x)\rangle$$

$$FF|x\rangle|a\rangle = |x\rangle|a \oplus f(x) \oplus f(x)\rangle = |x\rangle|a\rangle$$

$$|0\rangle^{\otimes n}|0\rangle \xrightarrow{(H^{\otimes n}) \otimes I} \frac{1}{\sqrt{2^n}} \sum_{x=0}^{2^n-1} |x\rangle|0\rangle \xrightarrow{F} \frac{1}{\sqrt{2^n}} \sum_{x=0}^{2^n-1} |x\rangle|f(x)\rangle$$

# 量子並列性



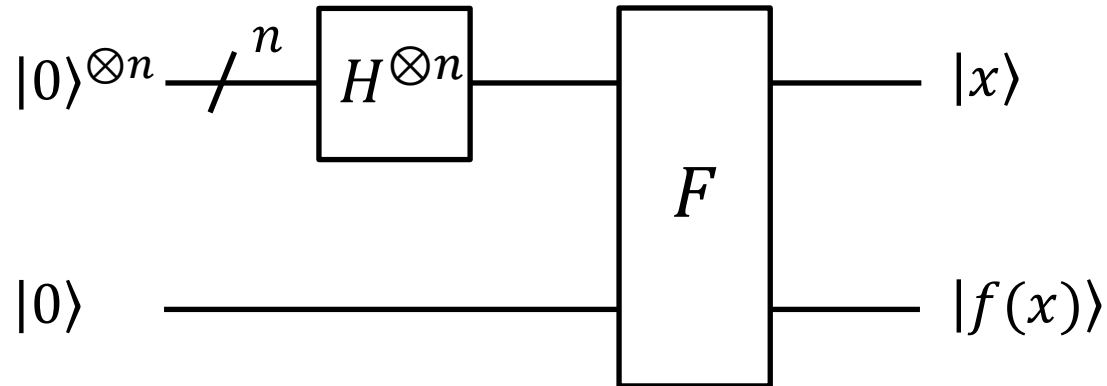
$$\frac{1}{\sqrt{2^2}} \sum_{x=0}^{2^2-1} |x\rangle |f(x)\rangle = \frac{1}{2} (|0\rangle |f(0)\rangle + |1\rangle |f(1)\rangle + |2\rangle |f(2)\rangle + |3\rangle |f(3)\rangle)$$

$f(x)$ の情報を全て含んだ状態(量子もつれ、エンタングルメント)



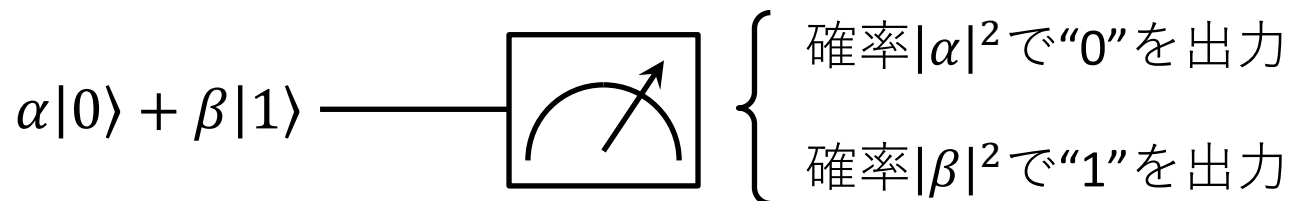
計算・情報処理の高速化に繋がる?

# 量子並列性と測定

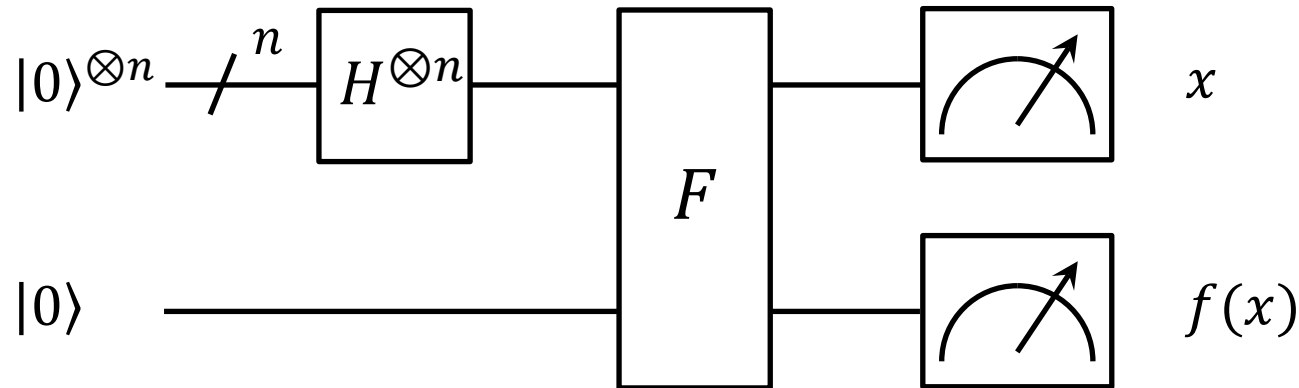


$$\frac{1}{\sqrt{2^2}} \sum_{x=0}^{2^2-1} |x\rangle |f(x)\rangle = \frac{1}{2} (|0\rangle |f(0)\rangle + |1\rangle |f(1)\rangle + |2\rangle |f(2)\rangle + |3\rangle |f(3)\rangle)$$

公準: 射影測定



# 量子並列性と測定



$$\frac{1}{\sqrt{2^2}} \sum_{x=0}^{2^2-1} |x\rangle |f(x)\rangle = \frac{1}{2} (|0\rangle |f(0)\rangle + |1\rangle |f(1)\rangle + |2\rangle |f(2)\rangle + |3\rangle |f(3)\rangle)$$

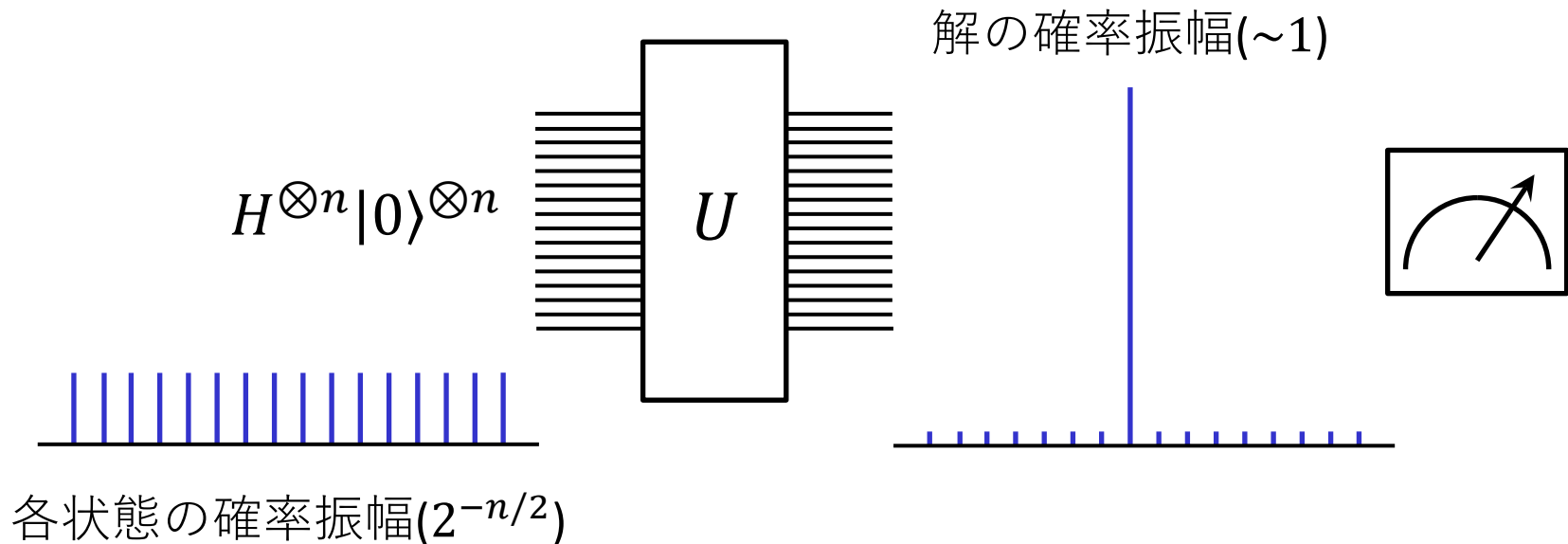
確率1/4でどれか1つの組の結果を知る



量子並列性にナイーブに期待される計算・情報処理の高速化は、  
測定による状態の収縮によりキャンセルされそう

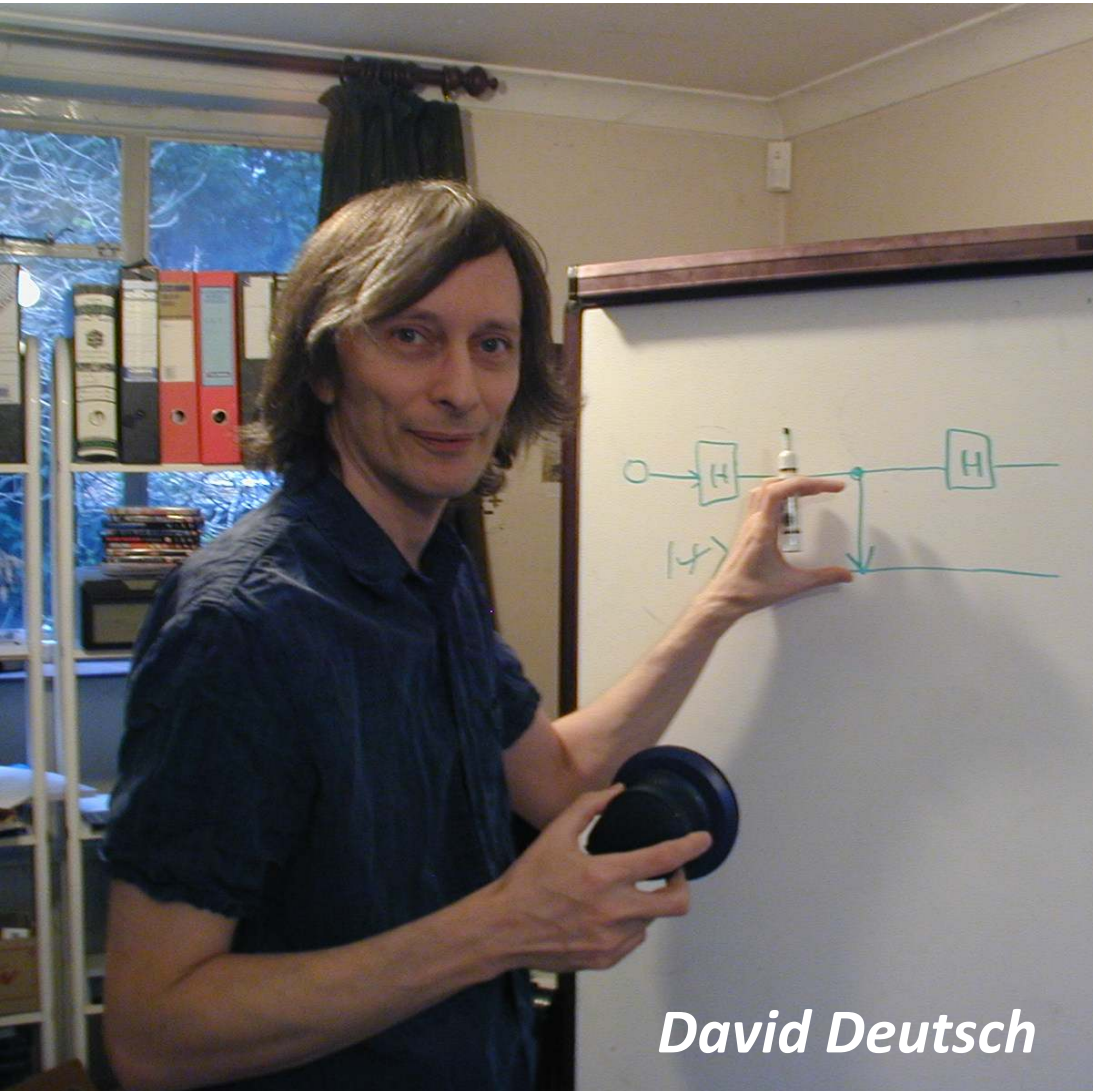
# 量子アルゴリズム

- 重ね合わせ状態(量子並列性)から始めて、解の状態の確率振幅が大きくなるよう(量子干渉)にユニタリ変換し、最後に**測定**
- **ドイチェ・ジョザ**、グローバー(データ検索)、ショア(素因数分解)...





# ドイツェ・ジヨザのアルゴリズム



*David Deutsch*



*Richard Jozsa*

# ドイチェの問題

**定義:** 2値関数 $f(x)$ について、全ての入力 $x$ に対して同じ出力(全て0か全て1)を返すものを“**constant(一定)**”、半分が0, 半分が1となるものを“**balanced(均等)**”と呼ぶ

例:

**constant**

$x$	$f(x)$
0	0
1	0
2	0
3	0

**balanced**

$x$	$f(x)$
0	0
1	1
2	1
3	0

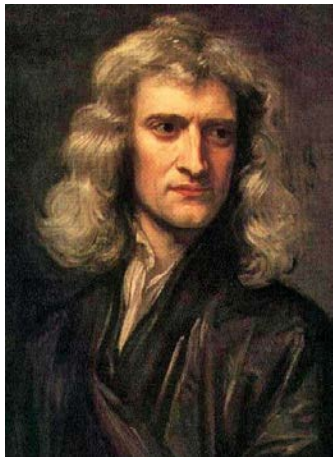
**どちらでもない**

$x$	$f(x)$
0	0
1	1
2	1
3	1

# ドイチェの問題

ドイチェはconstantかbalancedの $f(x)$ を持っている。ニュートンとシュレディンガーは、 $f(x)$ がconstantかbalancedかを判定するために何回の問い合わせが必要か？

“古典”問い合わせ



I. Newton  
(By Godfrey Kneller)

$$\begin{array}{l} \xrightarrow{x=0} \\ \xleftarrow{f(0)=0} \end{array}$$

$$\begin{array}{l} \xrightarrow{x=1} \\ \xleftarrow{f(1)=0} \\ \vdots \end{array}$$

(最大 $2^{\frac{n}{2}} + 1$ 回)

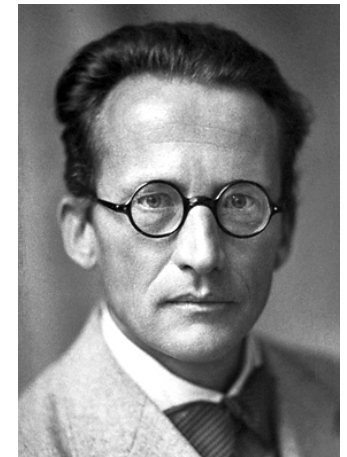


$x$	$f(x)$
0	0
1	0
2	0
3	0

$$\begin{array}{l} \xrightarrow{\sum_x |x\rangle|0\rangle} \\ \xleftarrow{|\Psi\rangle} \end{array}$$

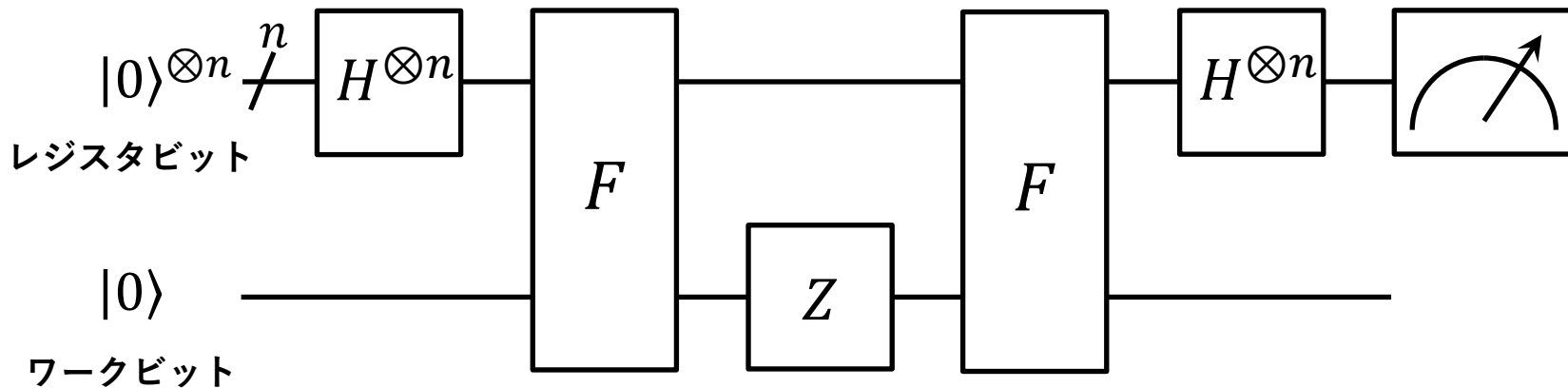
(常に1回)

“量子”問い合わせ



E. Schrödinger  
(©Nobel Foundation)

# ドイチェ・ジヨザのアルゴリズム



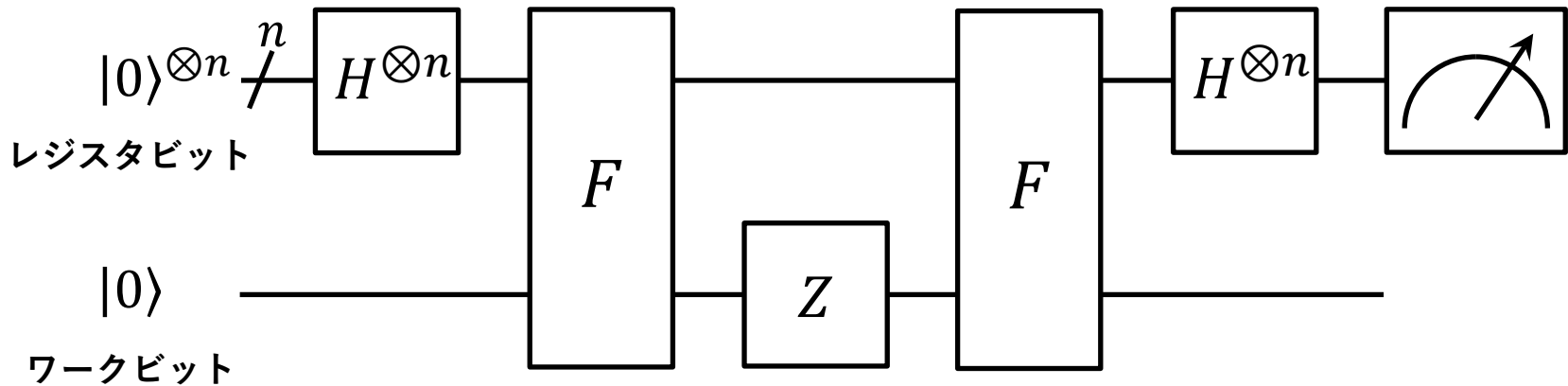
$$Z|a\rangle = (-1)^a|a\rangle$$

$$|0\rangle^{\otimes n}|0\rangle \xrightarrow{(H^{\otimes n}) \otimes I} \frac{1}{\sqrt{2^n}} \sum_{x=0}^{2^n-1} |x\rangle|0\rangle \xrightarrow{F} \frac{1}{\sqrt{2^n}} \sum_{x=0}^{2^n-1} |x\rangle|f(x)\rangle$$

$$\xrightarrow{(I^{\otimes n}) \otimes Z} \frac{1}{\sqrt{2^n}} \sum_{x=0}^{2^n-1} (-1)^{f(x)} |x\rangle|f(x)\rangle$$

$f(x)$ の情報を位相に書き込む

# ドイチェ・ジョザのアルゴリズム



$$Z|a\rangle = (-1)^a|a\rangle$$

$f(x)$ の情報をワークビットから**消去**

$$\frac{1}{\sqrt{2^n}} \sum_{x=0}^{2^n-1} (-1)^{f(x)} |x\rangle |f(x)\rangle \xrightarrow{F} \frac{1}{\sqrt{2^n}} \sum_{x=0}^{2^n-1} (-1)^{f(x)} |x\rangle |0\rangle$$

$$(H^{\otimes n}) \otimes I \rightarrow \sum_y \left( \sum_x \frac{(-1)^{f(x)+x \cdot y}}{2^n} \right) |y\rangle |0\rangle$$

$$H^{\otimes n}|x\rangle = \frac{1}{\sqrt{2^n}} \sum_y (-1)^{x \cdot y} |y\rangle$$

# ドイチェ・ジヨザのアルゴリズム

レジスタビットが $|0\rangle^{\otimes n}$ に戻る確率振幅

$$\sum_{x=0}^{2^n-1} \frac{(-1)^{f(x)+x\cdot 0}}{2^n} = \begin{cases} \pm 1 & (\text{constant}) \\ 0 & (\text{balanced}) \end{cases}$$

$n = 2$ , constant

干渉による強め合い

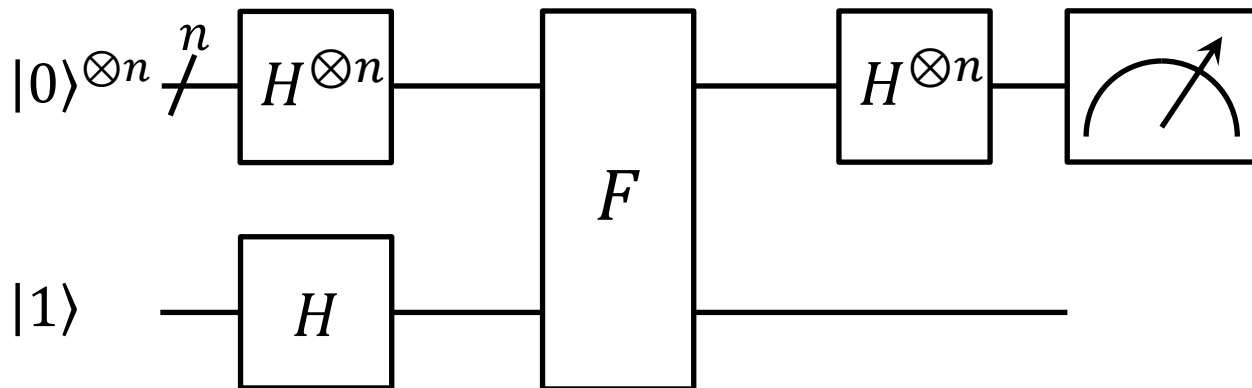
$$\sum_{x=0}^3 \frac{(-1)^{f(x)}}{2^n} = \frac{(-1)^0 + (-1)^0 + (-1)^0 + (-1)^0}{4} = 1$$

$n = 2$ , balanced

干渉による弱め合い

$$\sum_{x=0}^3 \frac{(-1)^{f(x)}}{2^n} = \frac{(-1)^0 + (-1)^1 + (-1)^1 + (-1)^0}{4} = 0$$

# 改良版



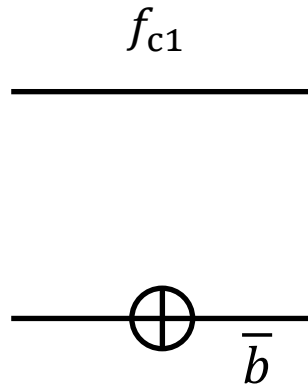
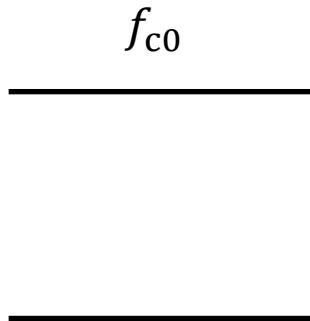
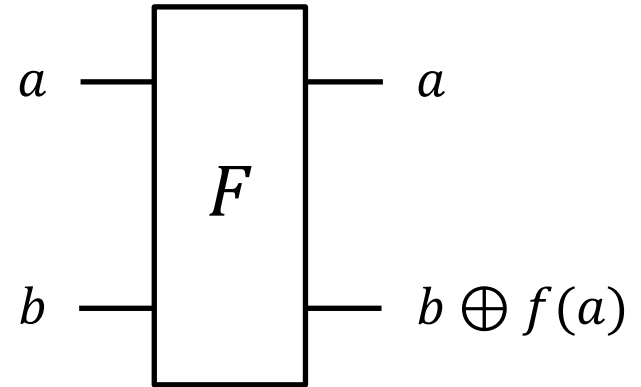
$$|0 \oplus f(x)\rangle - |1 \oplus f(x)\rangle = (-1)^{f(x)}(|0\rangle - |1\rangle)$$

$$\frac{1}{\sqrt{2^n}} \sum_x |x\rangle \left( \frac{|0\rangle - |1\rangle}{\sqrt{2}} \right) \xrightarrow{F} \frac{1}{\sqrt{2^n}} \sum_x (-1)^{f(x)} |x\rangle \left( \frac{|0\rangle - |1\rangle}{\sqrt{2}} \right)$$

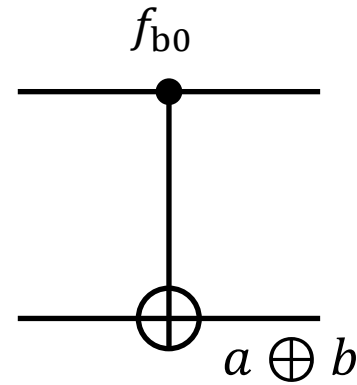
$$\xrightarrow{(H^{\otimes n}) \otimes I} \sum_{x,y} \frac{(-1)^{f(x)+x \cdot y}}{2^n} |y\rangle \left( \frac{|0\rangle - |1\rangle}{\sqrt{2}} \right)$$

# 1ビットのFゲート

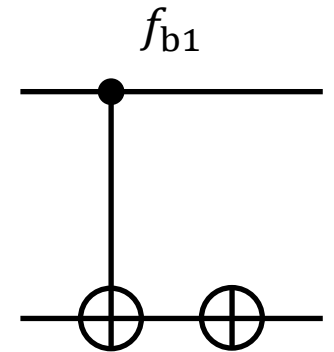
$a$	constant		balanced	
	$f_{c0}$	$f_{c1}$	$f_{b0}$	$f_{b1}$
0	0	1	0	1
1	0	1	1	0



NOTゲート



制御NOTゲート





# 量子コンピューティングの難しさ

- 量子情報を**位相**に書き込み、**量子干渉**により解の状態を抜き出す  
→ 計算中に**位相コヒーレンス**を保つことが必要
- 量子状態は**複製できない**(任意の状態 $|\phi\rangle$ に対して  $U|\phi\rangle|0\rangle = |\phi\rangle|\phi\rangle$ となるユニタリ演算子 $U$ は存在しない)  
→ **量子誤り訂正符号 & 誤り耐性量子計算**  
(フォールトトレラント, fault tolerant)

# 講演内容

- **量子コンピューティング**
  - 量子ビット
  - 量子ゲート(ユニタリ演算)
  - 量子アルゴリズム
- **シリコンスピン量子コンピュータ**
  - リンドナー
  - MOS量子ドット
  - Si/SiGe量子ドット

# ディビンチェンゾの要請

1. スケーラブルな量子ビット列
2. 初期化
3. 長いコヒーレンス時間
4. ユニバーサル量子ゲート
5. 射影測定



D. DiVincenzo  
(©RWTH Aachen U.)

# ディビンチェンゾの要請

## 1. スケーラブルな量子ビット列

→ スピン系における最大の課題

## 2. 初期化

→ スピン緩和( $T_1$ )、スピン依存トンネル etc

## 3. 長いコヒーレンス時間

→  $T_{2e} \sim 1 \text{ sec}$ 、 $T_{2n} \sim 30 \text{ min}$

## 4. ユニバーサル量子ゲート

→ 1量子ビット制御 + CNOT

## 5. 射影測定

→ スピン・電荷変換



D. DiVincenzo  
(©RWTH Aachen U.)

# ディビンチェンゾの要請

1. スケーラブルな量子ビット列  
→ スピン系における最大の課題

2. 初期化  
→ スピン緩和( $T_1$ )、スピン依存トンネル etc

3. 長いコヒーレンス時間  
→ 表面符号による誤り耐性( $T_2 \rightarrow \infty$ )

4. ユニバーサル量子ゲート  
→ 1量子ビット制御 + CNOT

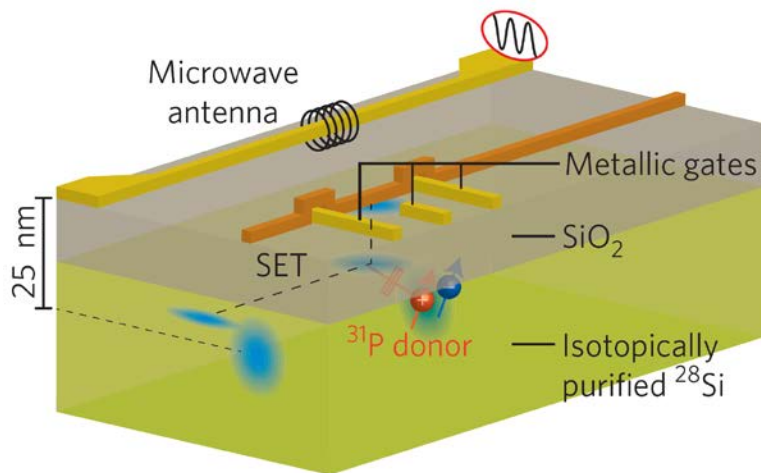
5. 射影測定  
→ スピン・電荷変換

フェデリケイ > 99%

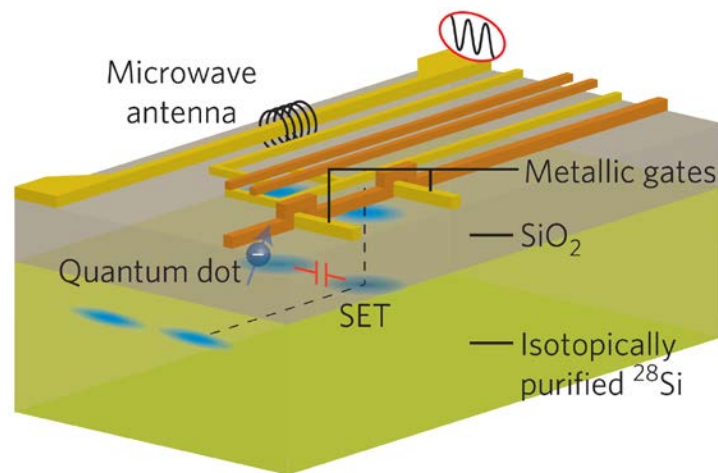


D. DiVincenzo  
(©RWTH Aachen U.)

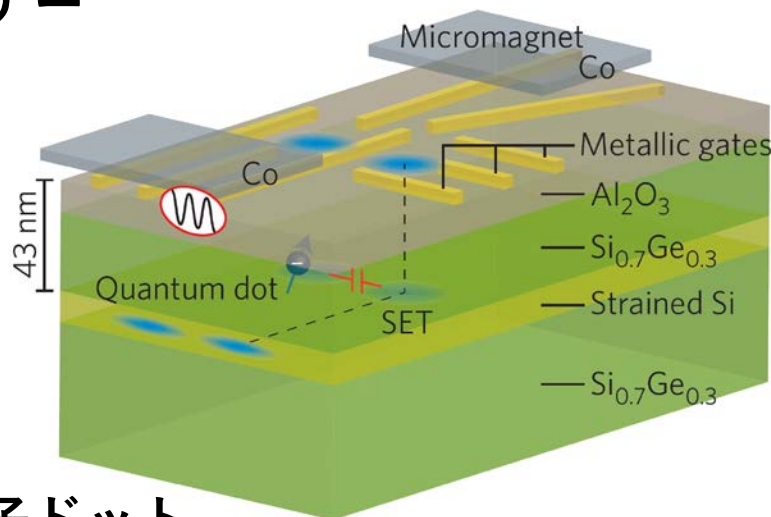
# シリコンスピンの



リンドナー



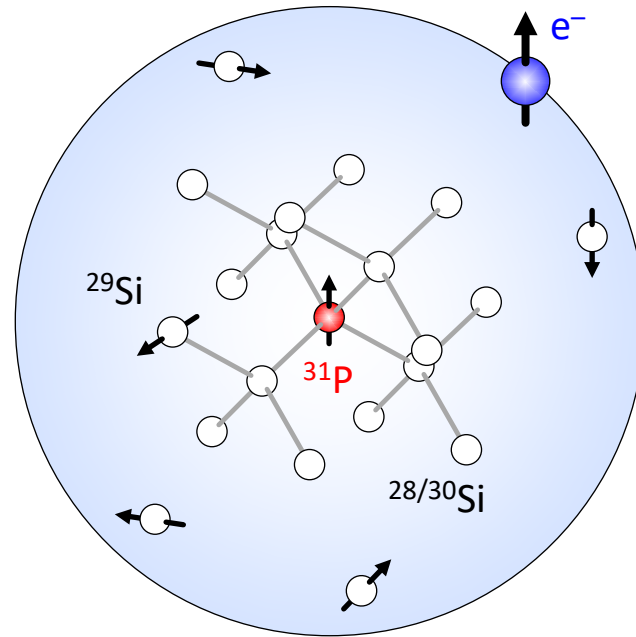
MOS量子ドット



Si/SiGe量子ドット

# シリコン中のリンドナー

III (13)	IV (14)	V (15)
B	C	N
Al	<b>Si</b>	<b>P</b>
Ga	Ge	As

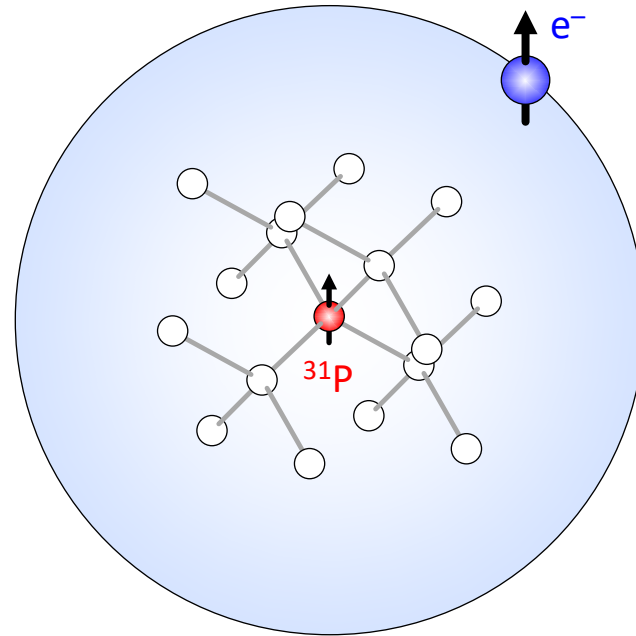


$^{28}\text{Si} : ^{29}\text{Si} (I = \frac{1}{2}) : ^{30}\text{Si} = 92.2\% : 4.7\% : 3.1\%$

$^{31}\text{P} (I = \frac{1}{2}) = 100\%$

# シリコン中のリンドナー

III (13)	IV (14)	V (15)
B	C	N
Al	Si	P
Ga	Ge	As



同位体制御 $^{28}\text{Si} \rightarrow 99.995\%$

$^{31}\text{P} (I = 1/2) = 100\%$



# シリコン中のリンドナー

## スピンハミルトニアン

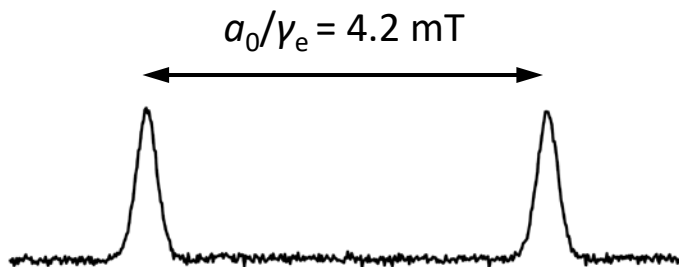
$$H_0 = \gamma_e B_0 S_z - \gamma_P B_0 I_z + a_0 S_z I_z$$

$$B_0 \sim 350 \text{ mT (X-band)}$$

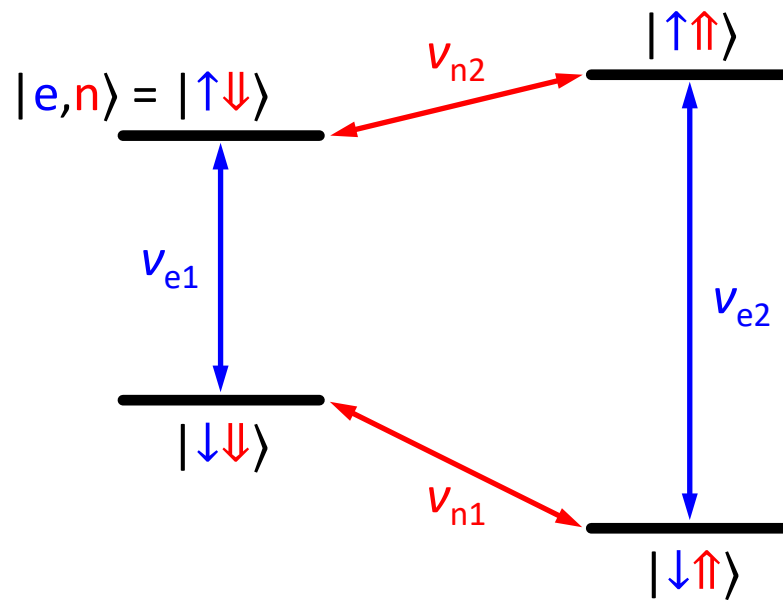
$$\gamma_e = 27.97 \text{ GHz/T}$$

$$\gamma_P = 17.23 \text{ MHz/T}$$

$$a_0 = 117.53 \text{ MHz}$$



アンサンブル電子スピン共鳴(磁場掃引)



$$\nu_{e1} = \gamma_e B_0 - a_0/2$$

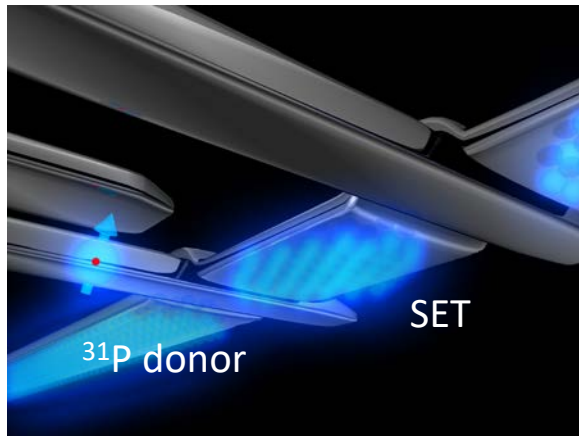
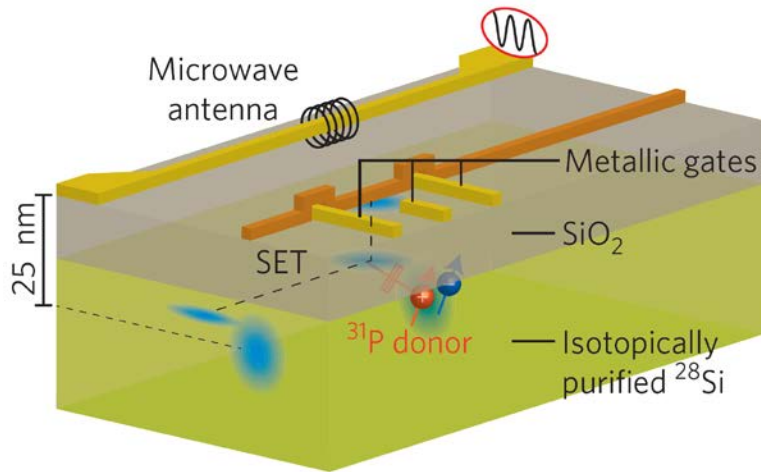
$$\nu_{e2} = \gamma_e B_0 + a_0/2$$

$$\nu_{n1} = a_0/2 + \gamma_P B_0$$

$$\nu_{n2} = a_0/2 - \gamma_P B_0$$

## Single-shot readout of an electron spin in silicon

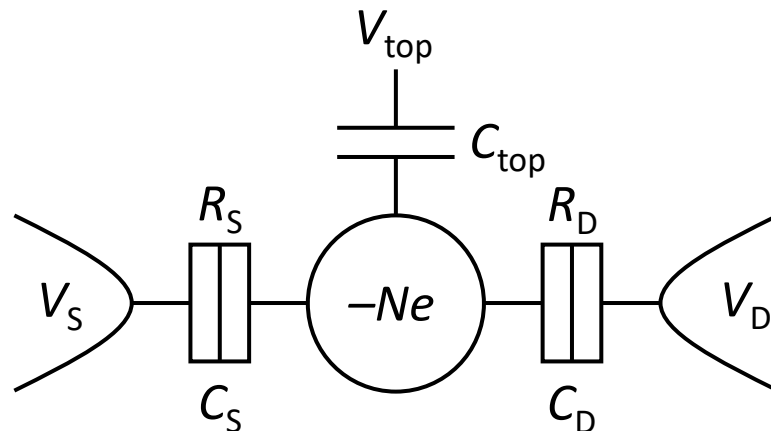
Andrea Morello<sup>1</sup>, Jarryd J. Pla<sup>1</sup>, Floris A. Zwanenburg<sup>1</sup>, Kok W. Chan<sup>1</sup>, Kuan Y. Tan<sup>1</sup>, Hans Huebl<sup>1†</sup>, Mikko Möttönen<sup>1,3,4</sup>, Christopher D. Nugroho<sup>1†</sup>, Changyi Yang<sup>2</sup>, Jessica A. van Donkelaar<sup>2</sup>, Andrew D. C. Alves<sup>2</sup>, David N. Jamieson<sup>2</sup>, Christopher C. Escott<sup>1</sup>, Lloyd C. L. Hollenberg<sup>2</sup>, Robert G. Clark<sup>1†</sup> & Andrew S. Dzurak<sup>1</sup>



# 単電子トランジスタ



定相互作用モデル



## 電気化学ポテンシャル

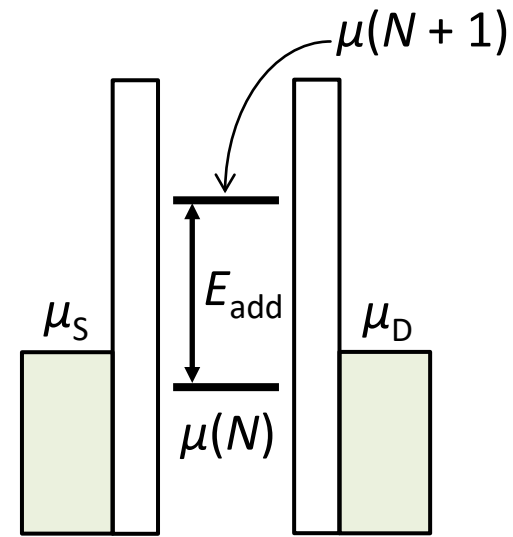
Rev. Mod. Phys. **79**, 1217 (2007) Hanson *et al.*

$$\mu(N) = E_C \left( N - N_0 - \frac{1}{2} \right) - \frac{E_C}{e} (C_S V_S + C_{\text{top}} V_{\text{top}} + C_D V_D) + E_N$$

## 付加エネルギー

$$E_{\text{add}}(N) = \mu(N + 1) - \mu(N) = E_C + \Delta E \quad E_C = \frac{e^2}{C_\Sigma} : \text{帯電エネルギー}$$

# 単電子トランジスタ



SET準位、ソース、ドレインの $\mu$ の相対位置で伝導を理解する

## 電気化学ポテンシャル

$$\mu(N) = E_C \left( N - N_0 - \frac{1}{2} \right) - \frac{E_C}{e} (C_S V_S + C_{\text{top}} V_{\text{top}} + C_D V_D) + E_N$$

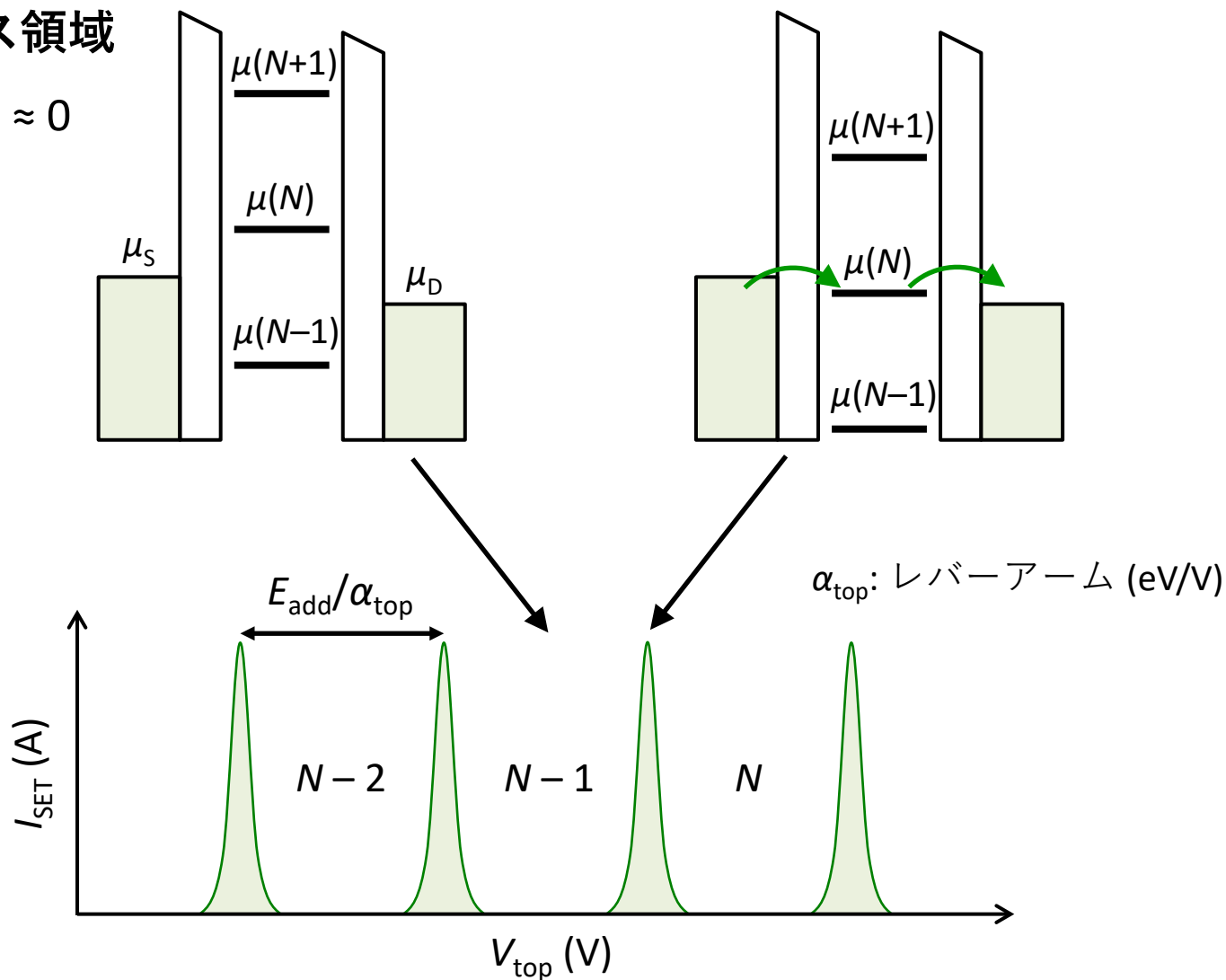
## 付加エネルギー

$$E_{\text{add}}(N) = \mu(N+1) - \mu(N) = E_C + \Delta E \quad E_C = \frac{e^2}{C_\Sigma} : \text{帯電エネルギー}$$

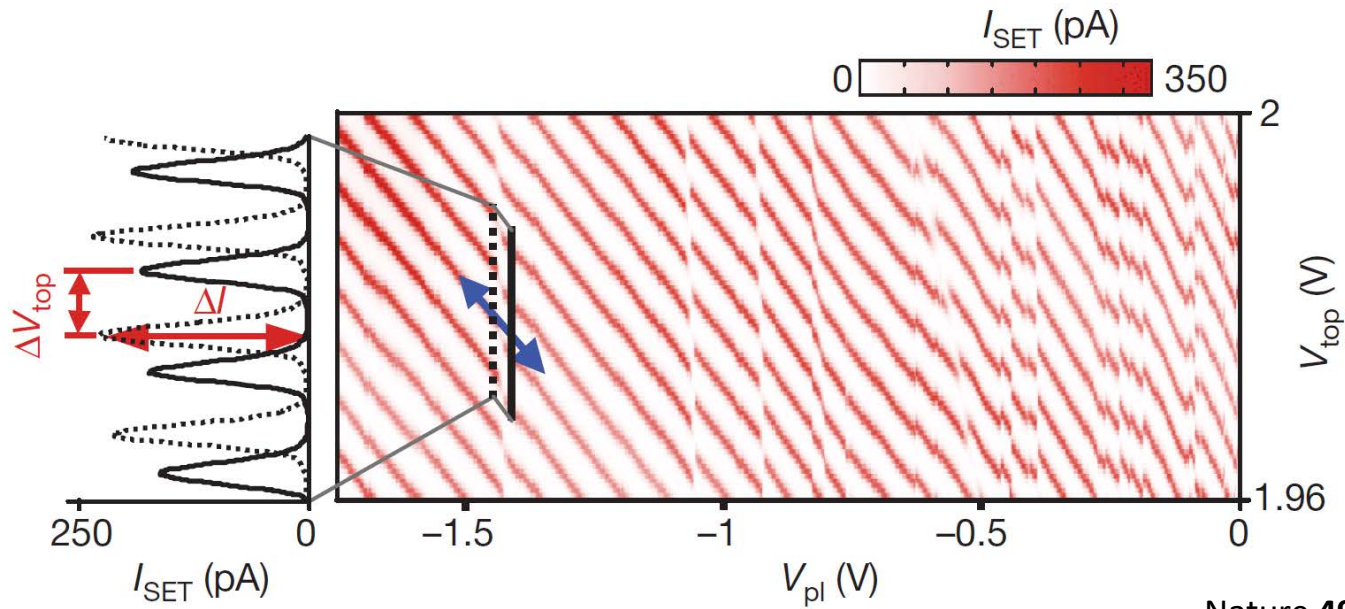
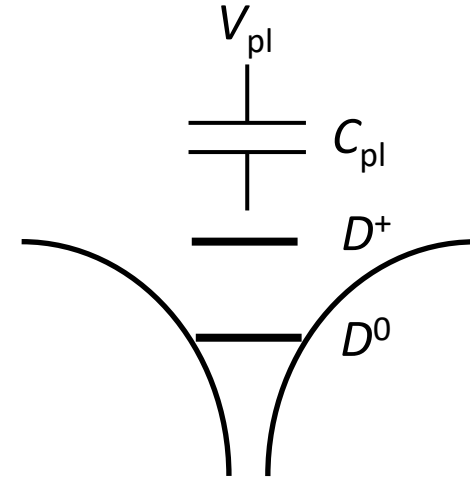
# クーロン振動

低バイアス領域

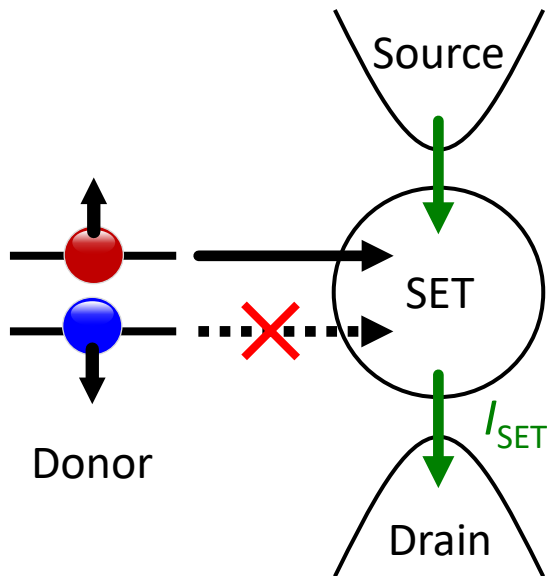
$$|\mu_S - \mu_D| \approx 0$$



# ドナー・SETハイブリッド



# スピン・電荷変換



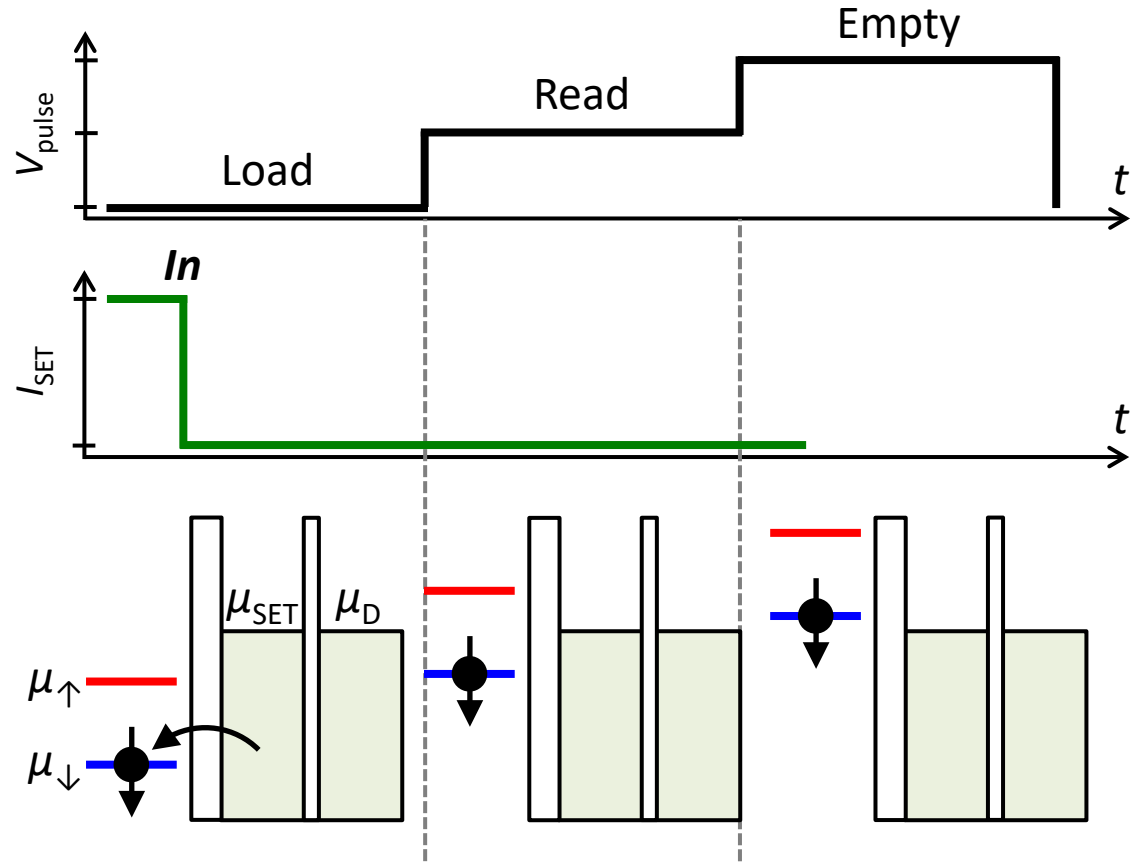
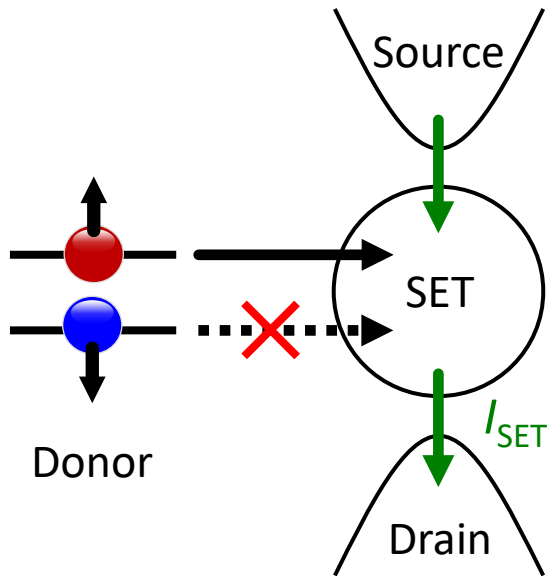
$$E(D^+) - E(D^0) = 45 \text{ meV}$$

$$E_C = 1.5 \text{ meV}$$

$$E_z = 28 \text{ GHz} = 116 \text{ } \mu\text{eV} \text{ (@} B_0 = 1 \text{ T)}$$

$$T_{\text{elec}} = 200 \text{ mK} = 17 \text{ } \mu\text{eV}$$

# スピン測定(↓)



$$E(D^+) - E(D^0) = 45 \text{ meV}$$

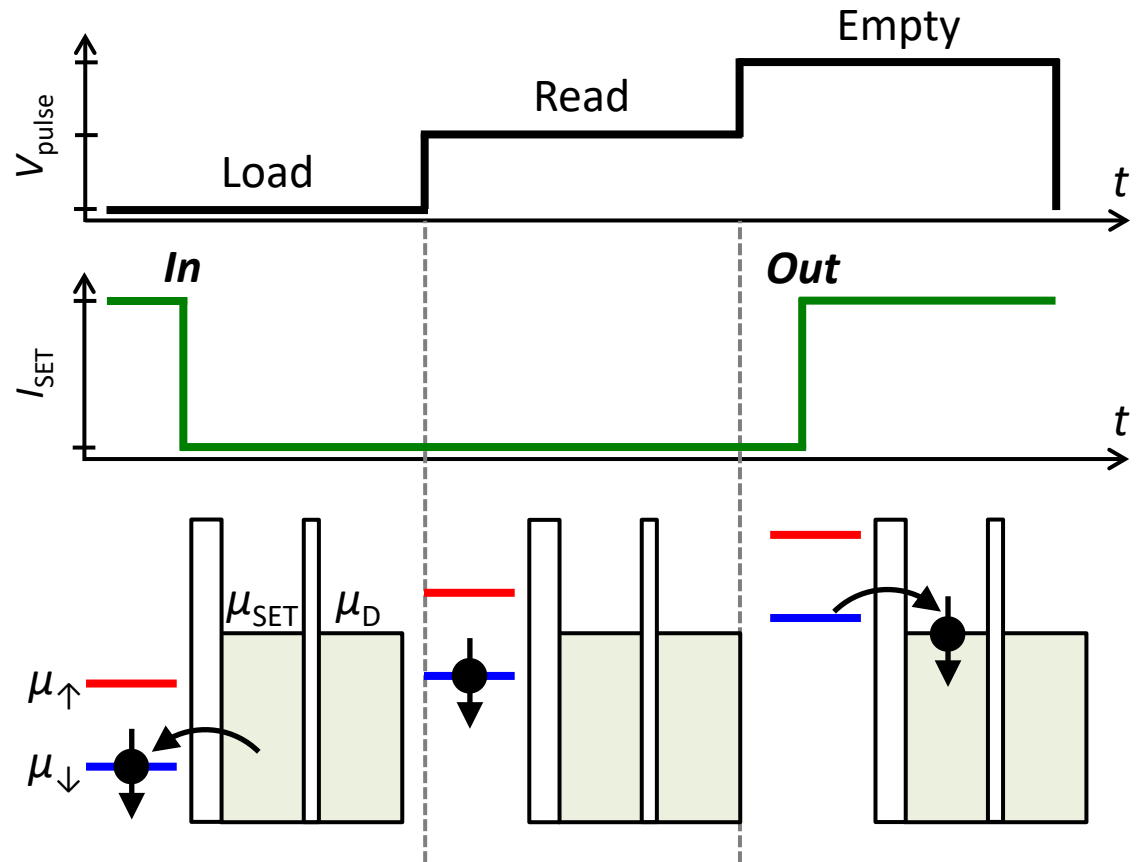
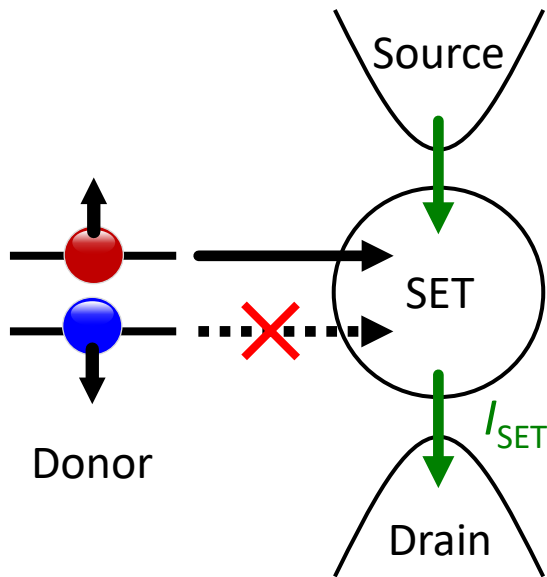
$$E_C = 1.5 \text{ meV}$$

$$E_z = 28 \text{ GHz} = 116 \text{ } \mu\text{eV} \text{ (@} B_0 = 1 \text{ T)}$$

$$T_{\text{elec}} = 200 \text{ mK} = 17 \text{ } \mu\text{eV}$$



# スピン測定(↓)



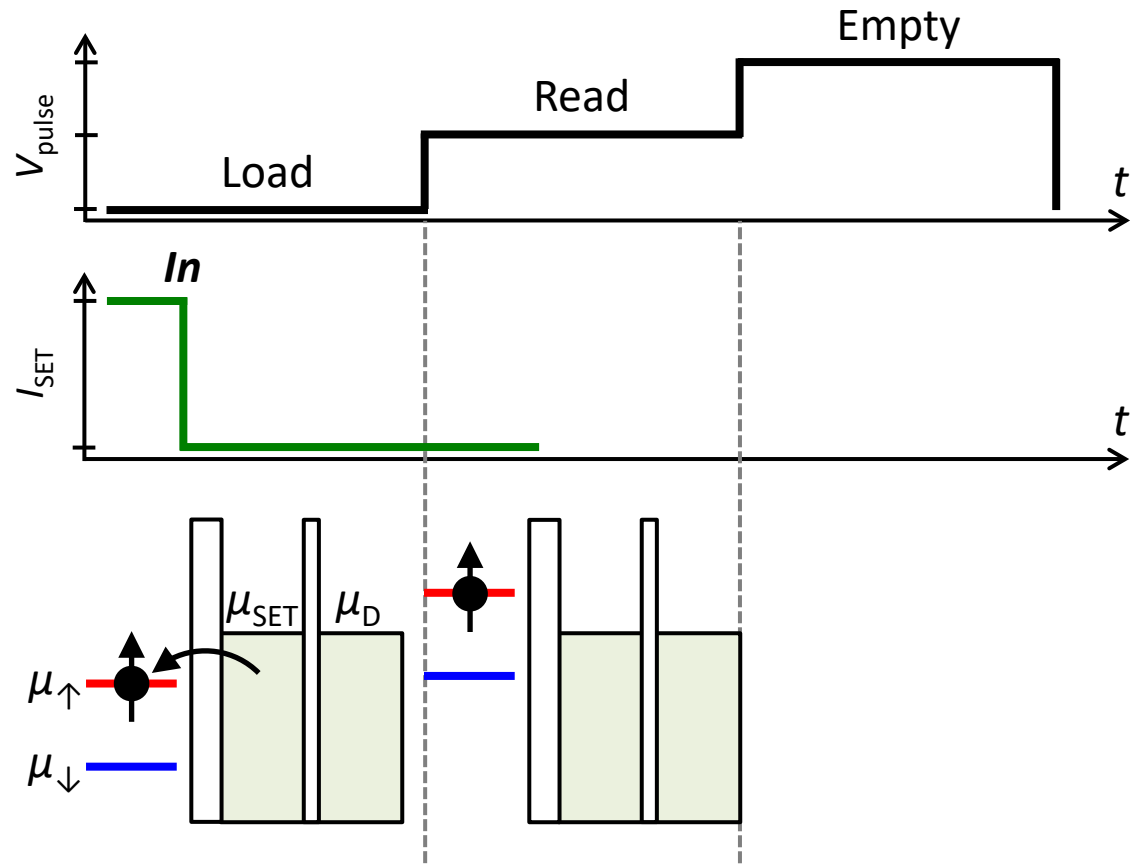
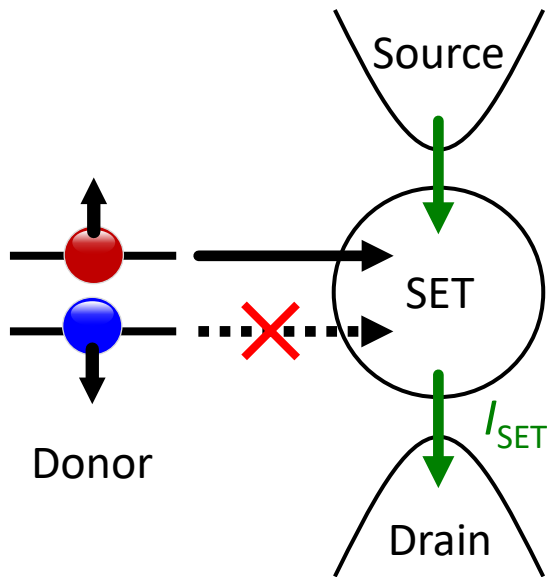
$$E(D^+) - E(D^0) = 45 \text{ meV}$$

$$E_C = 1.5 \text{ meV}$$

$$E_z = 28 \text{ GHz} = 116 \text{ } \mu\text{eV} \text{ (@} B_0 = 1 \text{ T)}$$

$$T_{\text{elec}} = 200 \text{ mK} = 17 \text{ } \mu\text{eV}$$

# スピン測定(↑)



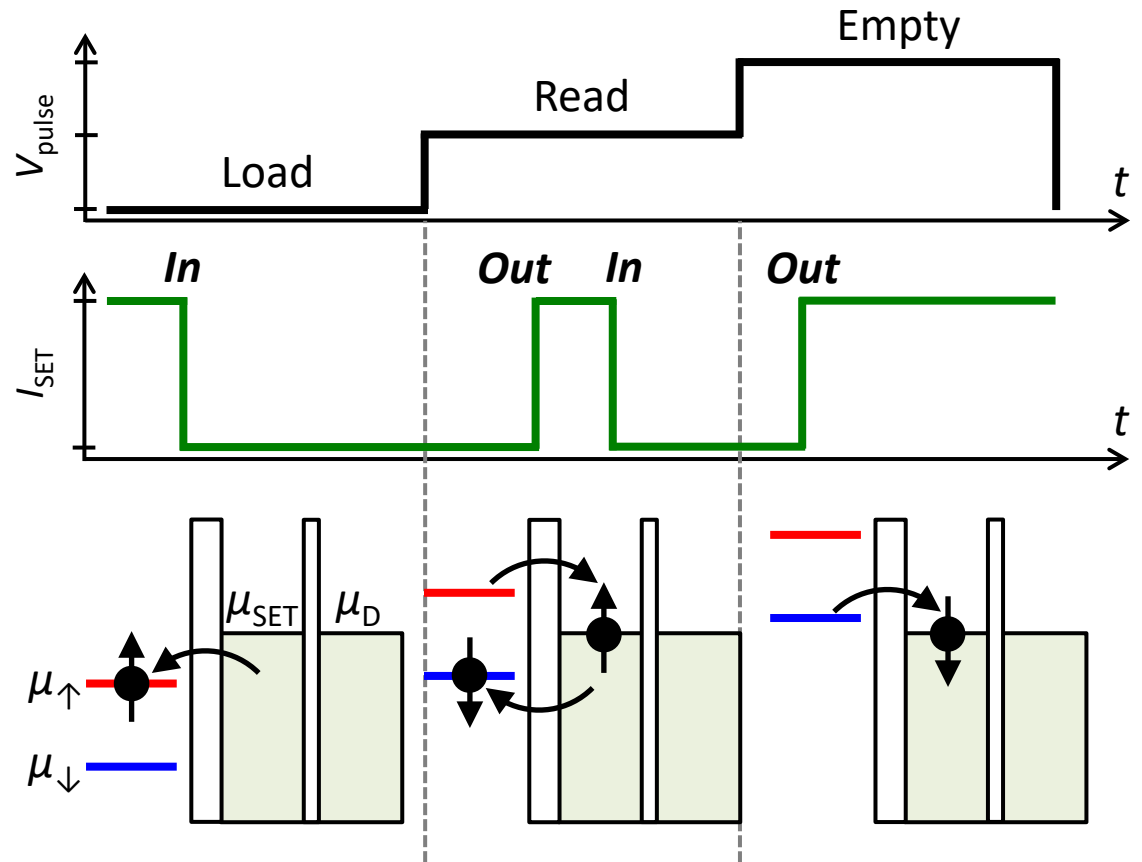
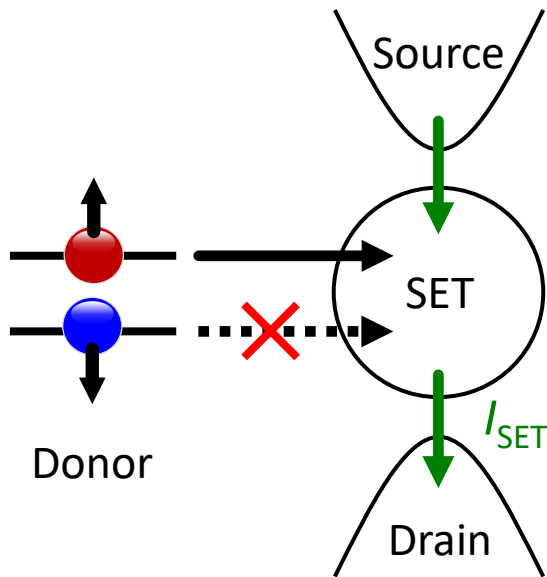
$$E(D^+) - E(D^0) = 45 \text{ meV}$$

$$E_C = 1.5 \text{ meV}$$

$$E_z = 28 \text{ GHz} = 116 \text{ } \mu\text{eV} \text{ (@} B_0 = 1 \text{ T)}$$

$$T_{\text{elec}} = 200 \text{ mK} = 17 \text{ } \mu\text{eV}$$

# スピン測定(↑)



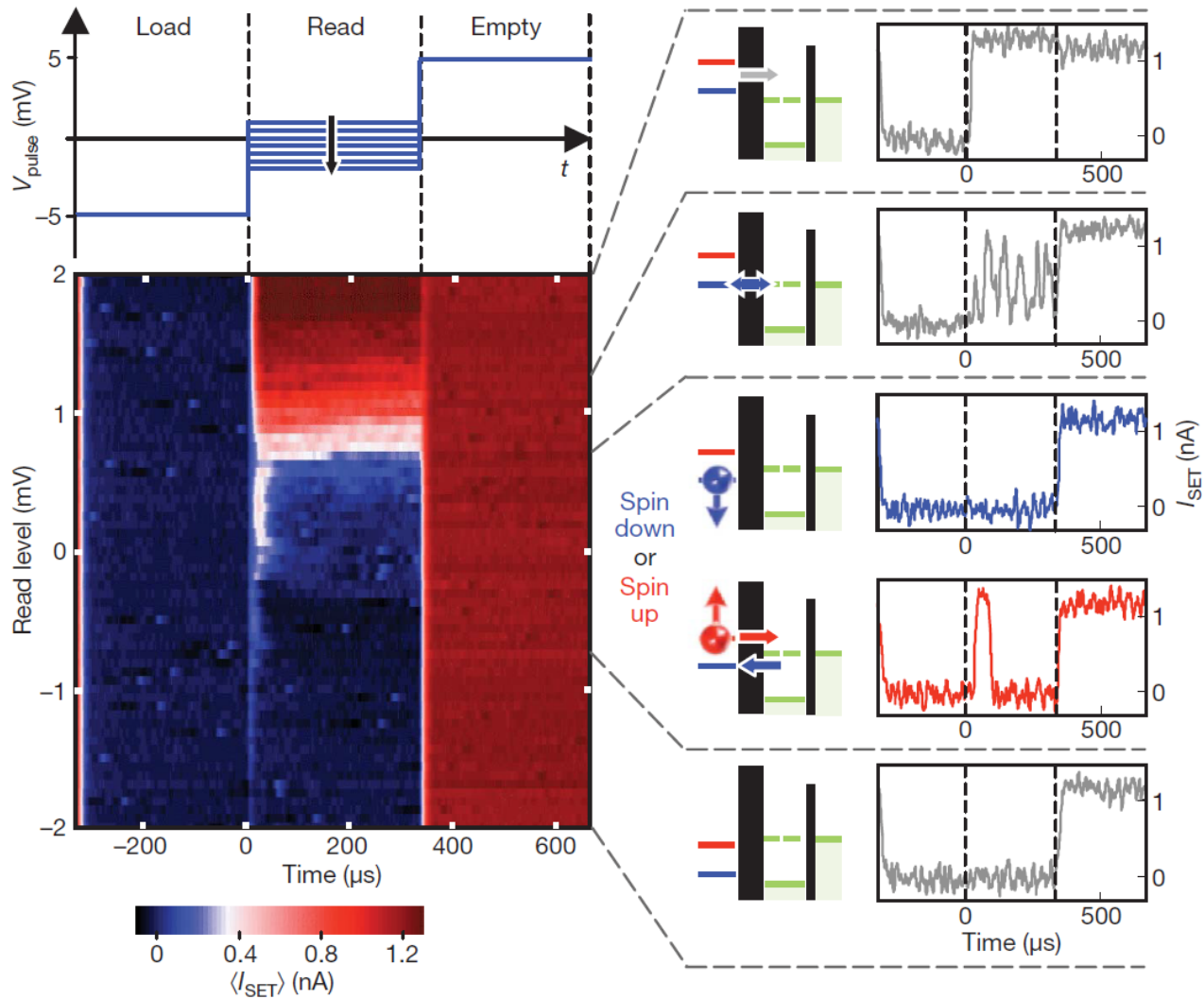
$$E(D^+) - E(D^0) = 45 \text{ meV}$$

$$E_C = 1.5 \text{ meV}$$

$$E_z = 28 \text{ GHz} = 116 \text{ } \mu\text{eV} \text{ (@} B_0 = 1 \text{ T)}$$

$$T_{\text{elec}} = 200 \text{ mK} = 17 \text{ } \mu\text{eV}$$

# 電子スピン単発読み出し



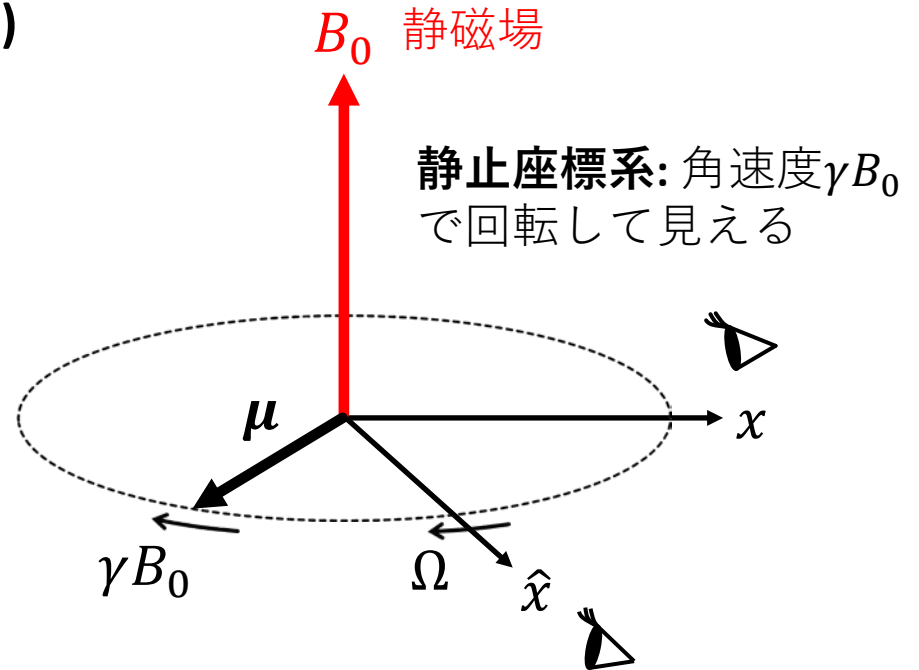
# 磁気共鳴

トルク方程式(ラーモア歳差運動)

$$\frac{d\boldsymbol{\mu}}{dt} = \boldsymbol{\mu} \times \gamma \mathbf{B}_0$$

↑  
磁気モーメント:  $\boldsymbol{\mu} = \gamma \mathbf{J}$

↙  
磁気回転比

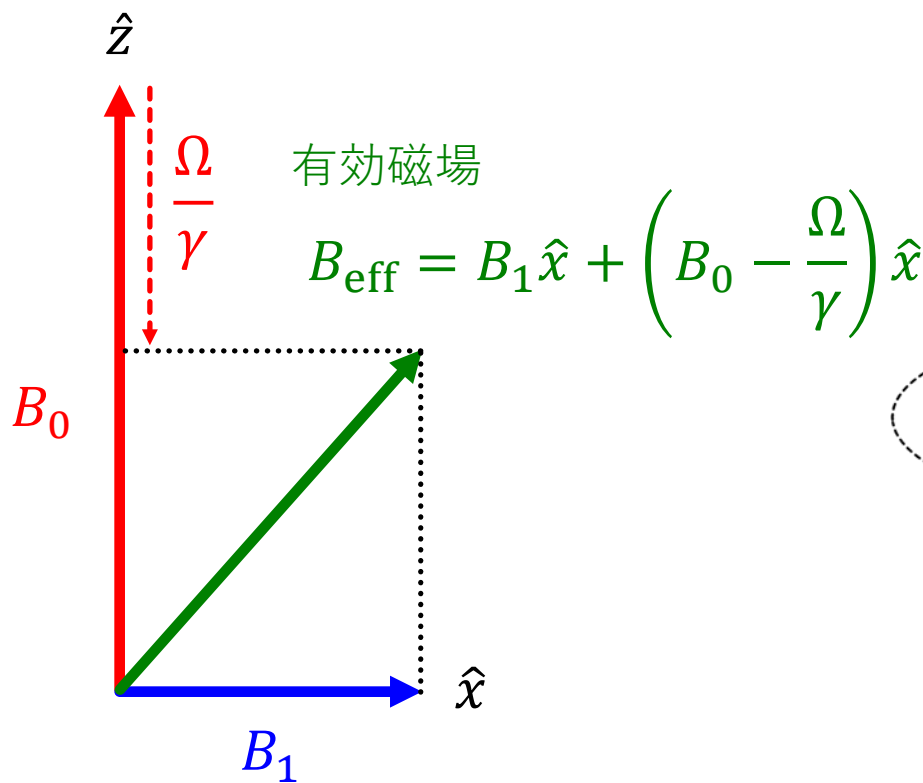


角速度  $\Omega$  で回転する座標系:  
遅くなって見える。なぜ??

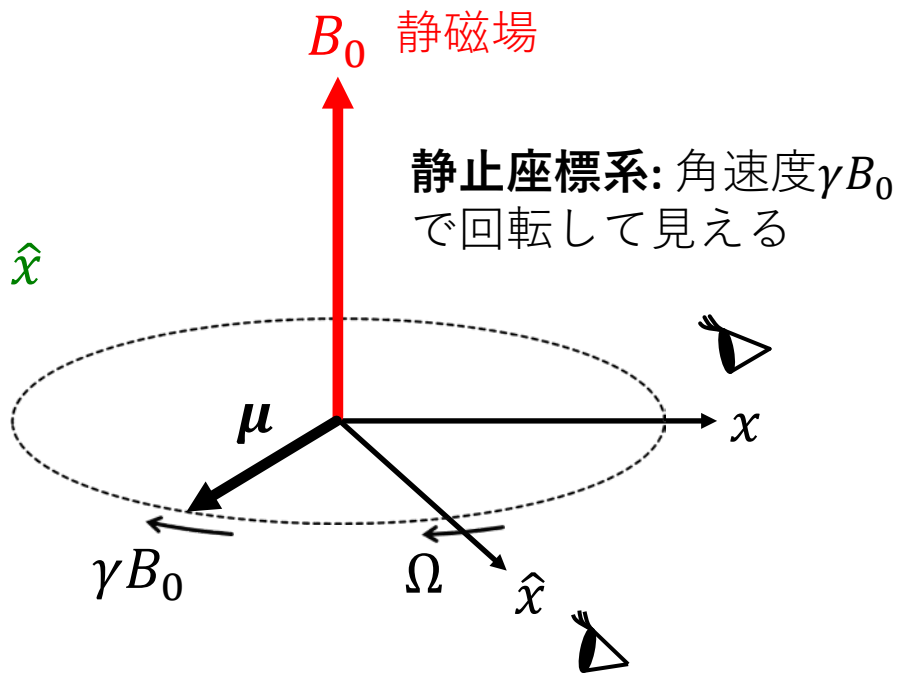


$z$ 方向の磁場が弱くなったから

# 磁気共鳴



$xy$ 平面を角速度 $\Omega$ で回転する交流磁場



角速度 $\Omega$ で回転する座標系:  
遅くなって見える。なぜ??



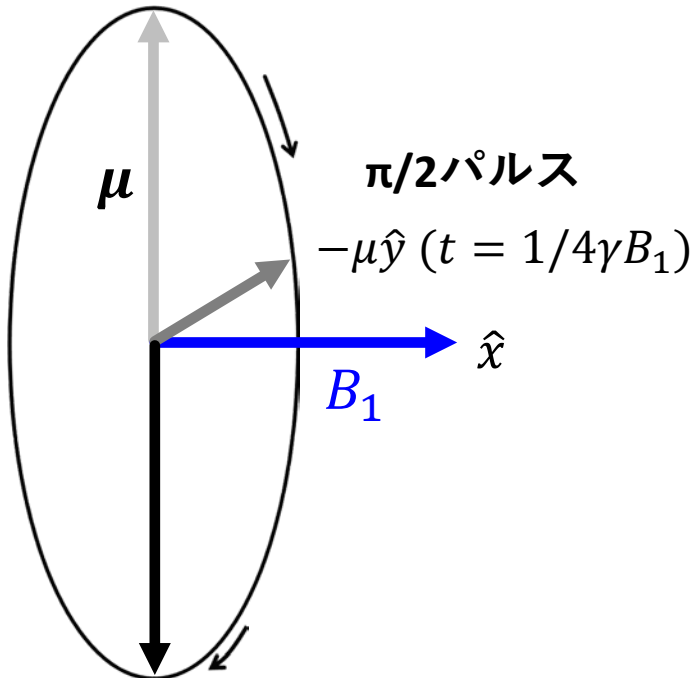
$z$ 方向の磁場が弱くなったから

# 磁気共鳴 = 1量子ビット操作

$\Omega = \gamma B_0$  で回転する座標系

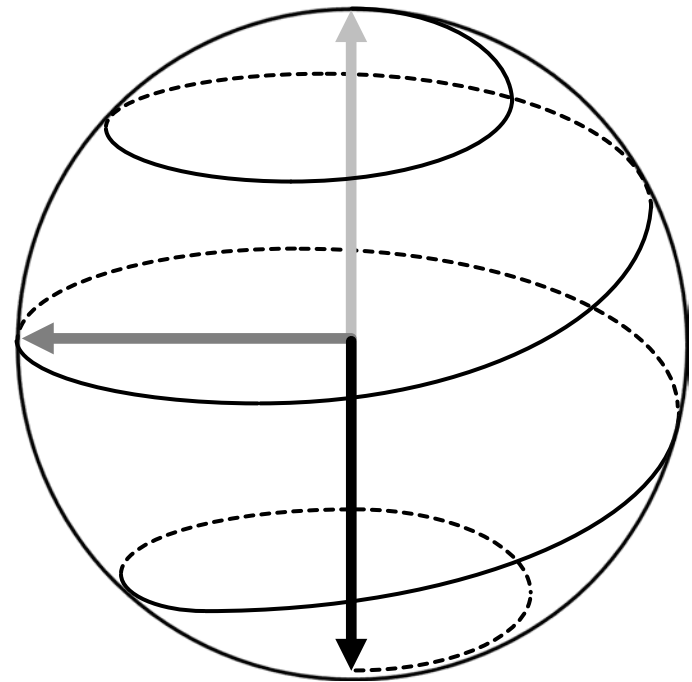
静止座標系

$\mu\hat{z} (t = 0)$



$-\mu\hat{z} (t = 1/2\gamma B_1)$

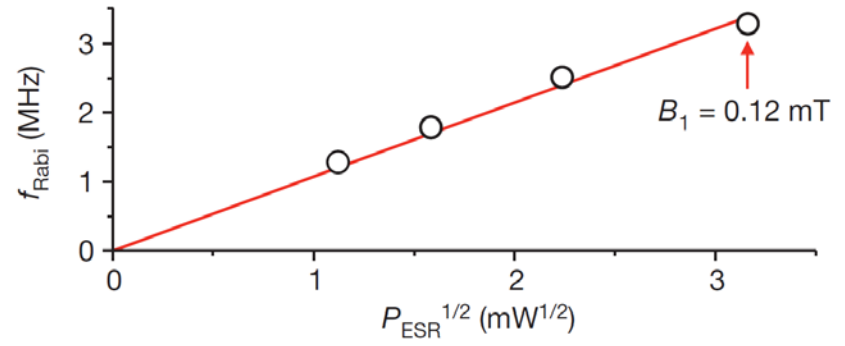
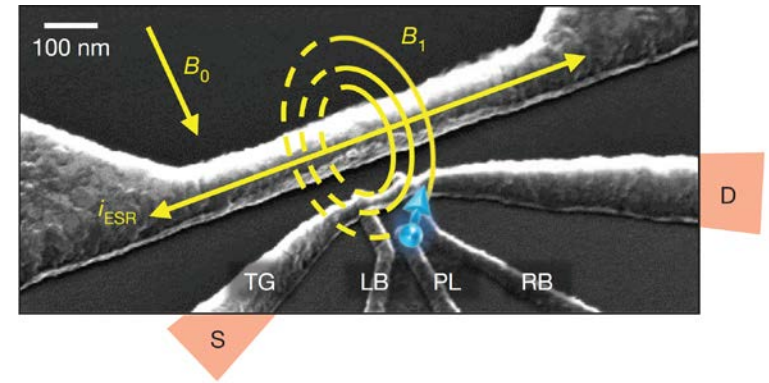
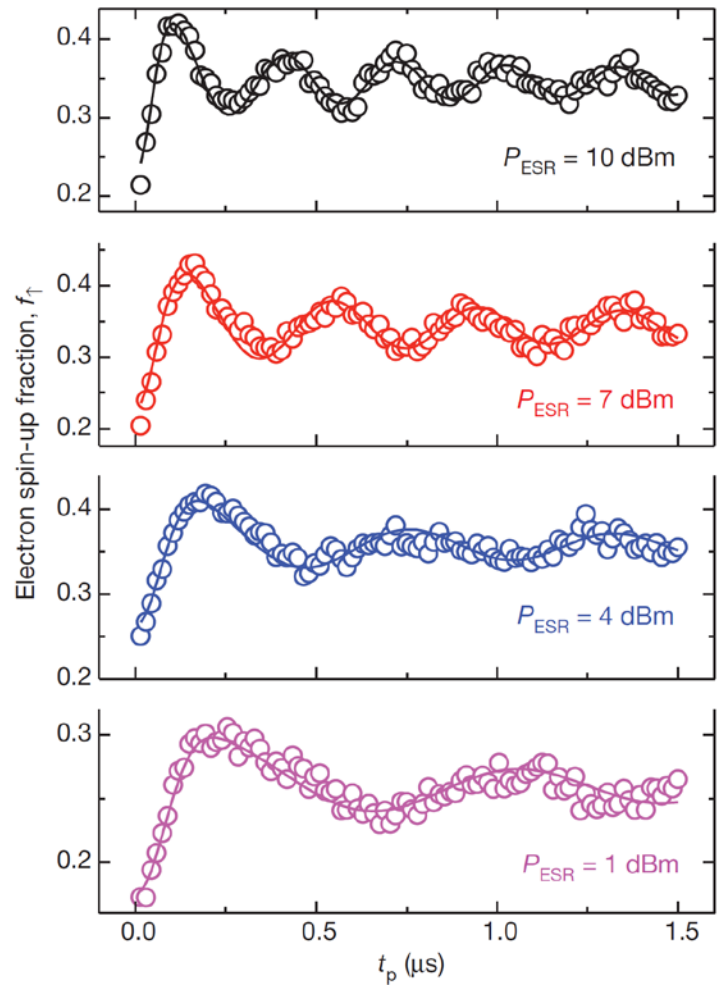
$\pi$ パルス



- 交流磁場の位相を調整すれば  $\pm\hat{x}, \pm\hat{y}$  軸周りの回転が実現
- 静止座標系では  $z$  軸周りの回転が加わる

## A single-atom electron spin qubit in silicon

Jarryd J. Pla<sup>1</sup>, Kuan Y. Tan<sup>1†</sup>, Juan P. Dehollain<sup>1</sup>, Wee H. Lim<sup>1</sup>, John J. L. Morton<sup>2†</sup>, David N. Jamieson<sup>3</sup>, Andrew S. Dzurak<sup>1</sup> & Andrea Morello<sup>1</sup>

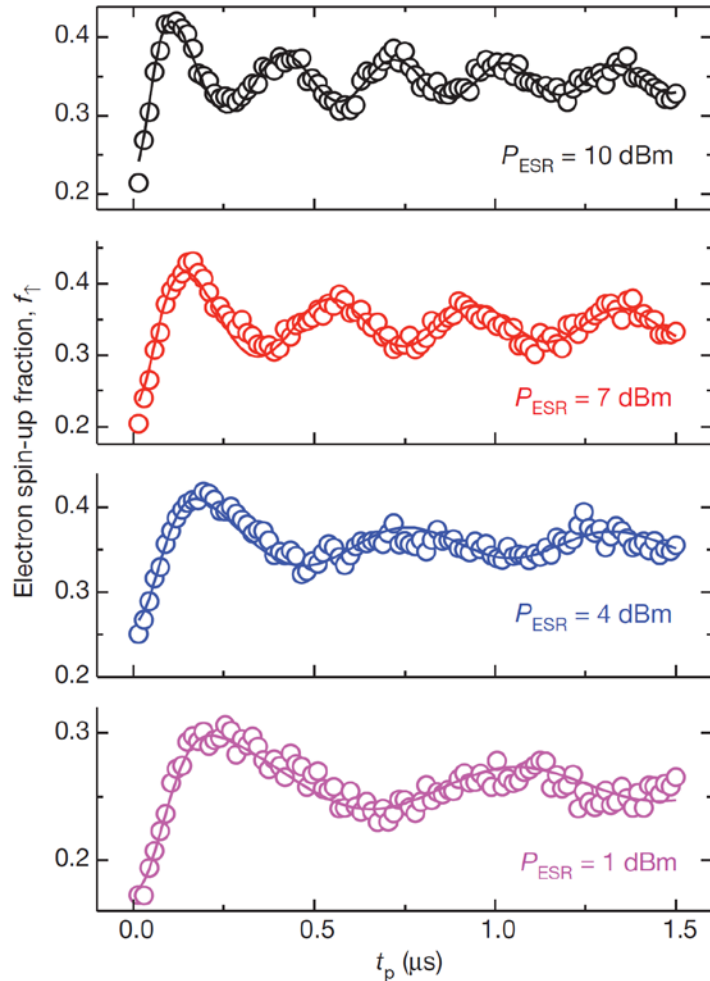


ラビ振動: natSiデバイス

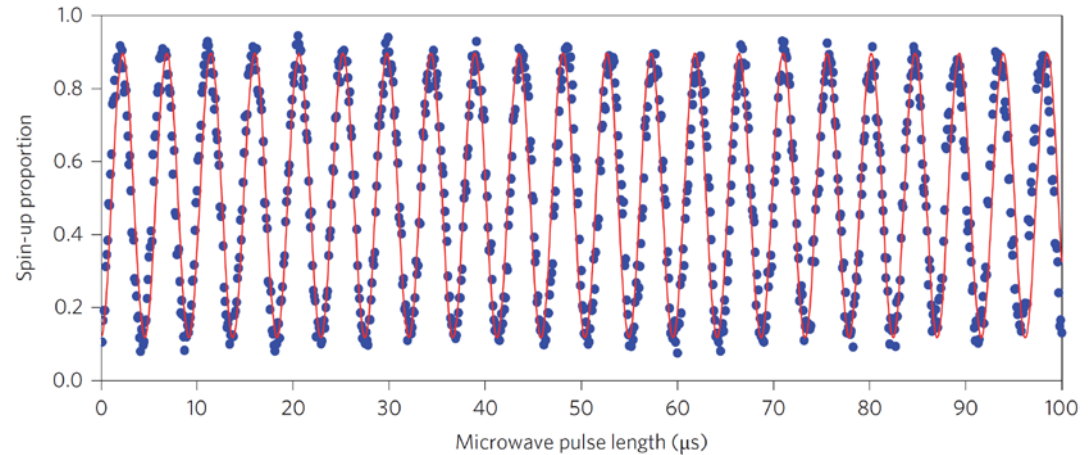


## A single-atom electron spin qubit in silicon

Jarryd J. Pla<sup>1</sup>, Kuan Y. Tan<sup>1†</sup>, Juan P. Dehollain<sup>1</sup>, Wee H. Lim<sup>1</sup>, John J. L. Morton<sup>2†</sup>, David N. Jamieson<sup>3</sup>, Andrew S. Dzurak<sup>1</sup> & Andrea Morello<sup>1</sup>



### 同位体<sup>28</sup>Si(99.92%)デバイス

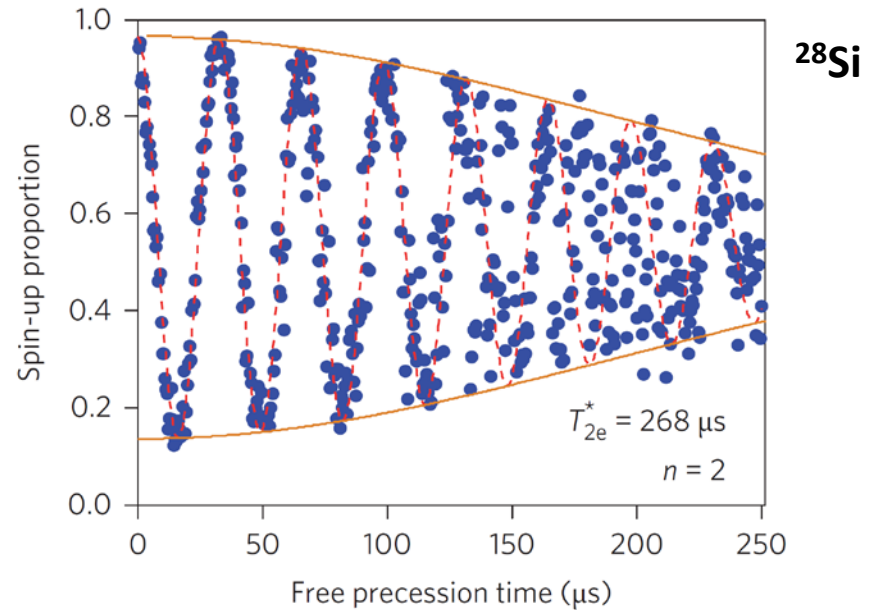
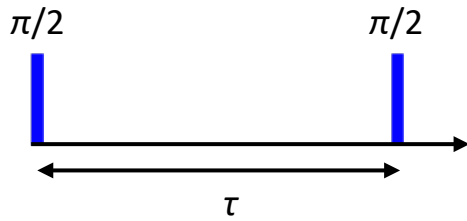


Nature Nano. **9**, 986 (2014) Muhonen *et al.*

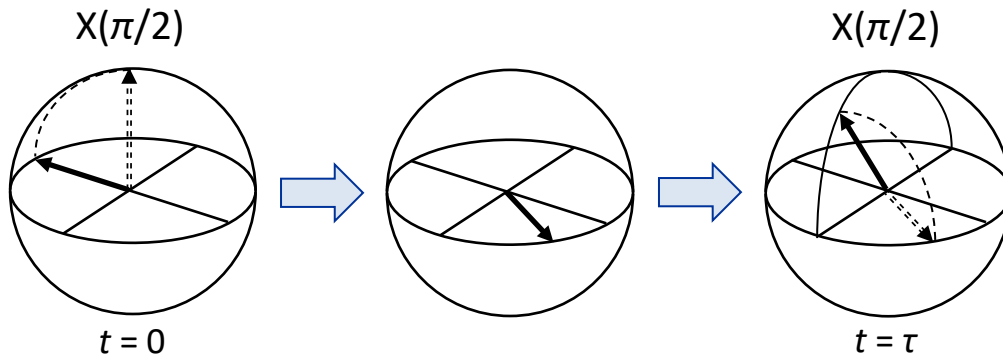
### ラビ振動: natSiデバイス

Nature **489**, 541 (2012) Pla *et al.*

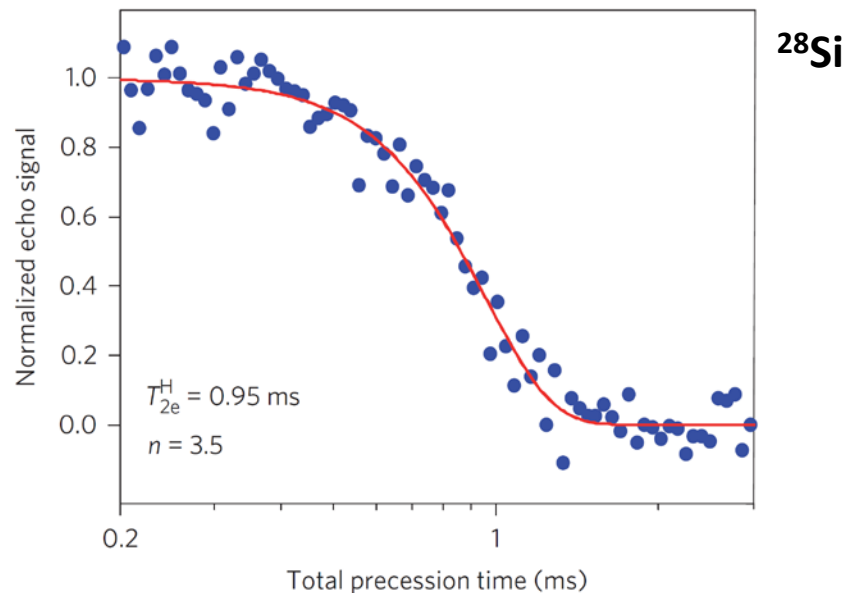
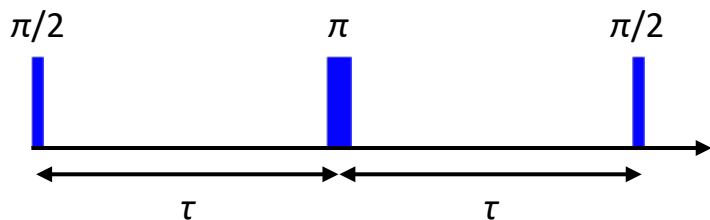
# ラムゼー干渉: $T_2^*$



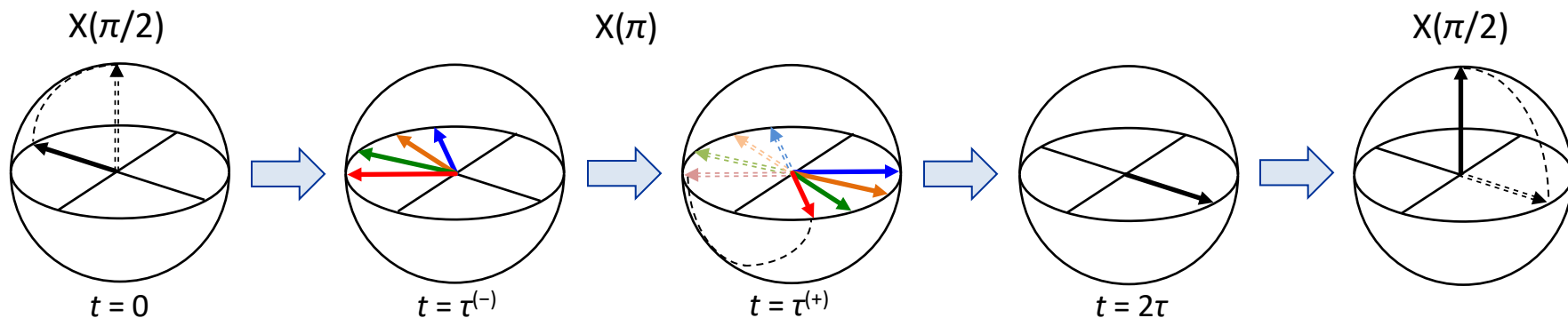
(共鳴から少し外れた回転系)



# スピンエコー: $T_2$

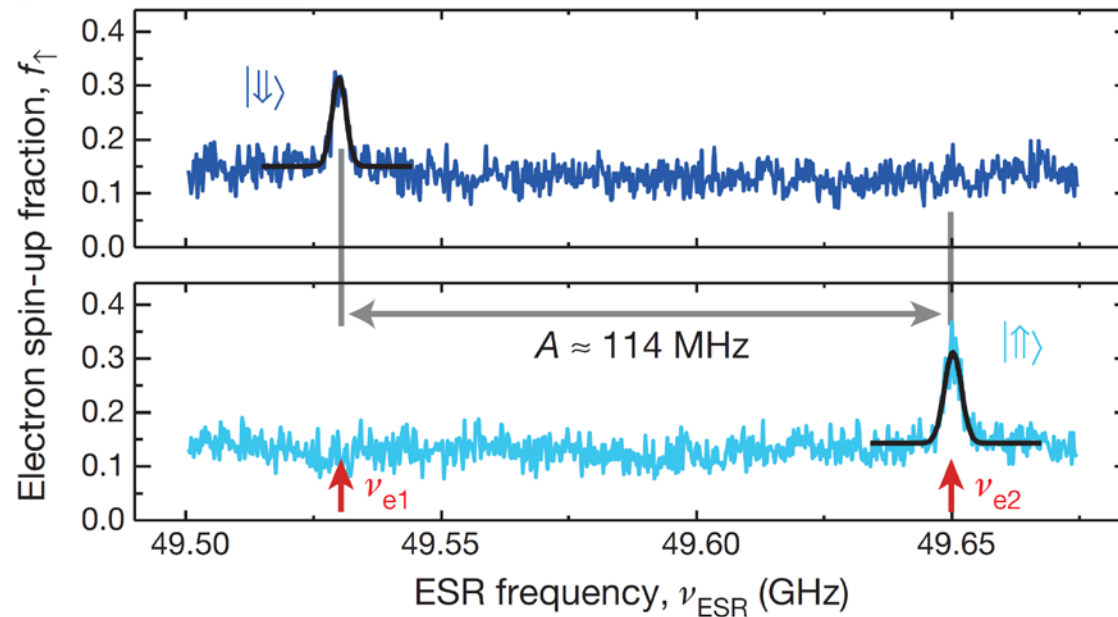


(共鳴周波数の回転系)



# High-fidelity readout and control of a nuclear spin qubit in silicon

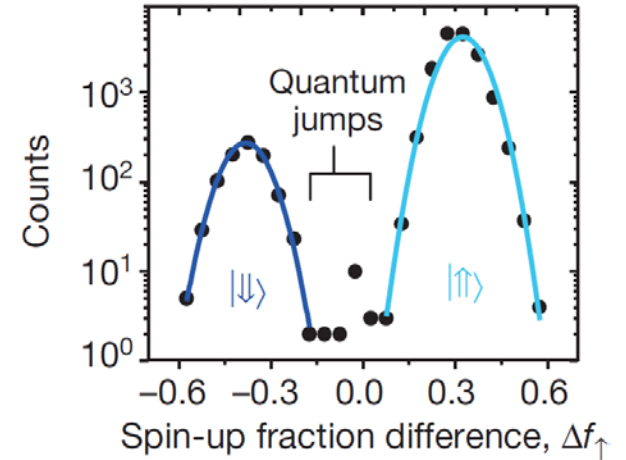
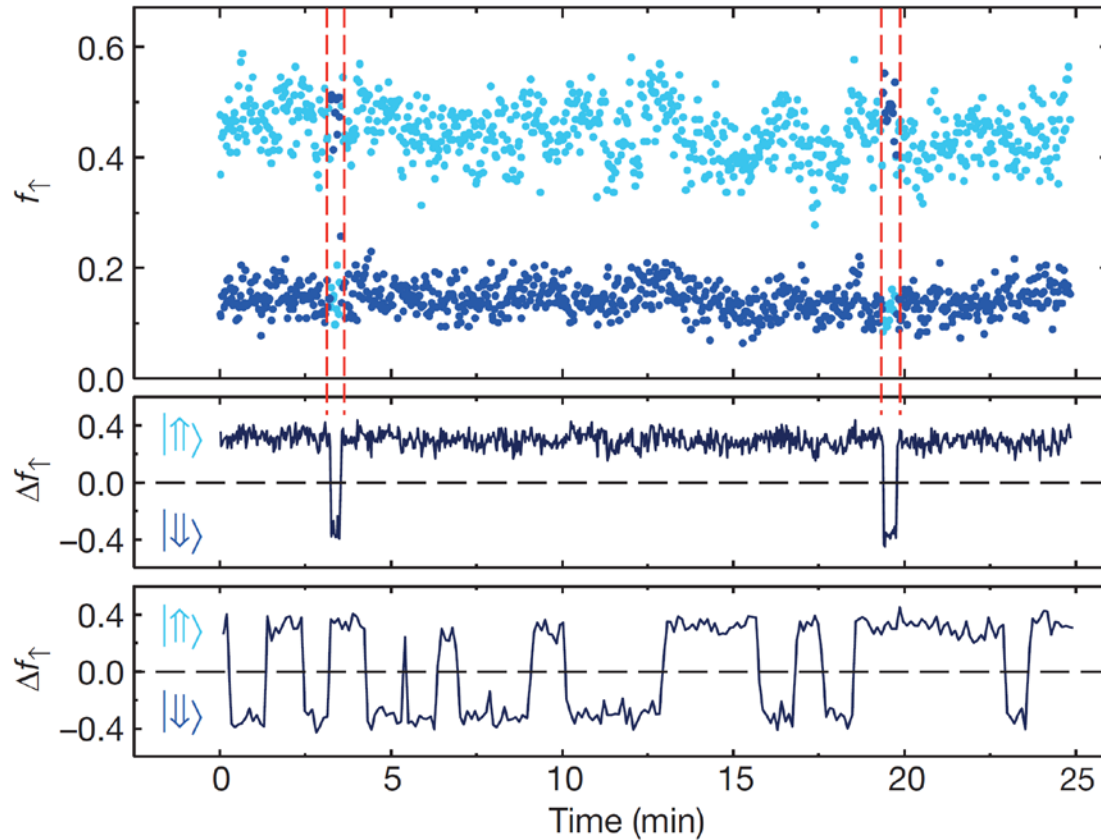
Jarryd J. Pla<sup>1</sup>, Kuan Y. Tan<sup>1†</sup>, Juan P. Dehollain<sup>1</sup>, Wee H. Lim<sup>1†</sup>, John J. L. Morton<sup>2</sup>, Floris A. Zwanenburg<sup>1†</sup>, David N. Jamieson<sup>3</sup>, Andrew S. Dzurak<sup>1</sup> & Andrea Morello<sup>1</sup>



- 電子スピン遷移周波数  $\nu_{e1,2} = \gamma_e B_0 \mp a_0/2$  は核スピン状態に依存する
  - 電子スピン遷移によって核スピン状態は変わらない
- 量子非破壊(QND)測定

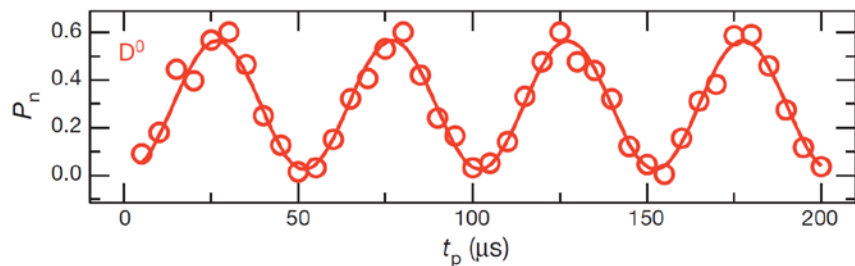
# High-fidelity readout and control of a nuclear spin qubit in silicon

Jarryd J. Pla<sup>1</sup>, Kuan Y. Tan<sup>1†</sup>, Juan P. Dehollain<sup>1</sup>, Wee H. Lim<sup>1†</sup>, John J. L. Morton<sup>2</sup>, Floris A. Zwanenburg<sup>1†</sup>, David N. Jamieson<sup>3</sup>, Andrew S. Dzurak<sup>1</sup> & Andrea Morello<sup>1</sup>

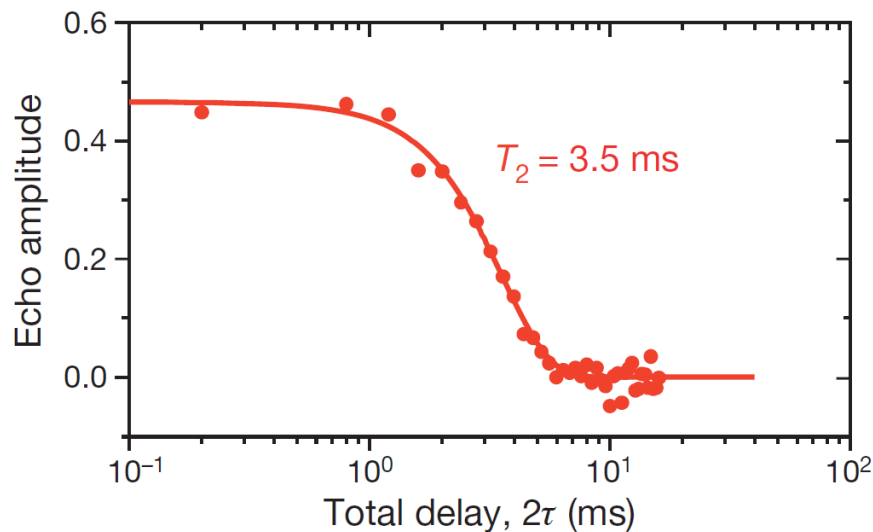
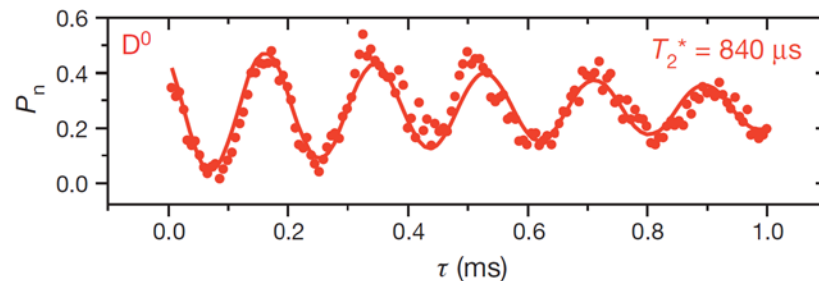


# 単一核スピンコヒーレント制御

## ラビ振動( $^{nat}\text{Si}$ )



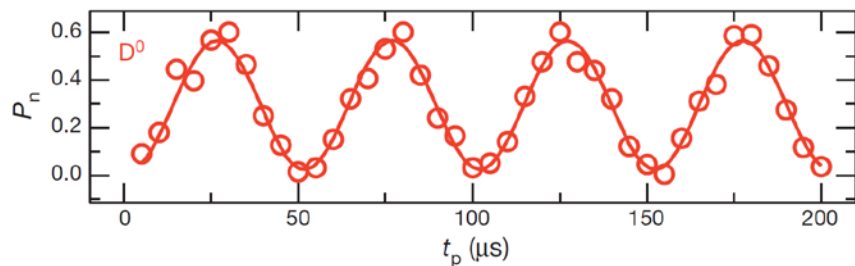
## ラムゼー干渉( $^{nat}\text{Si}$ )



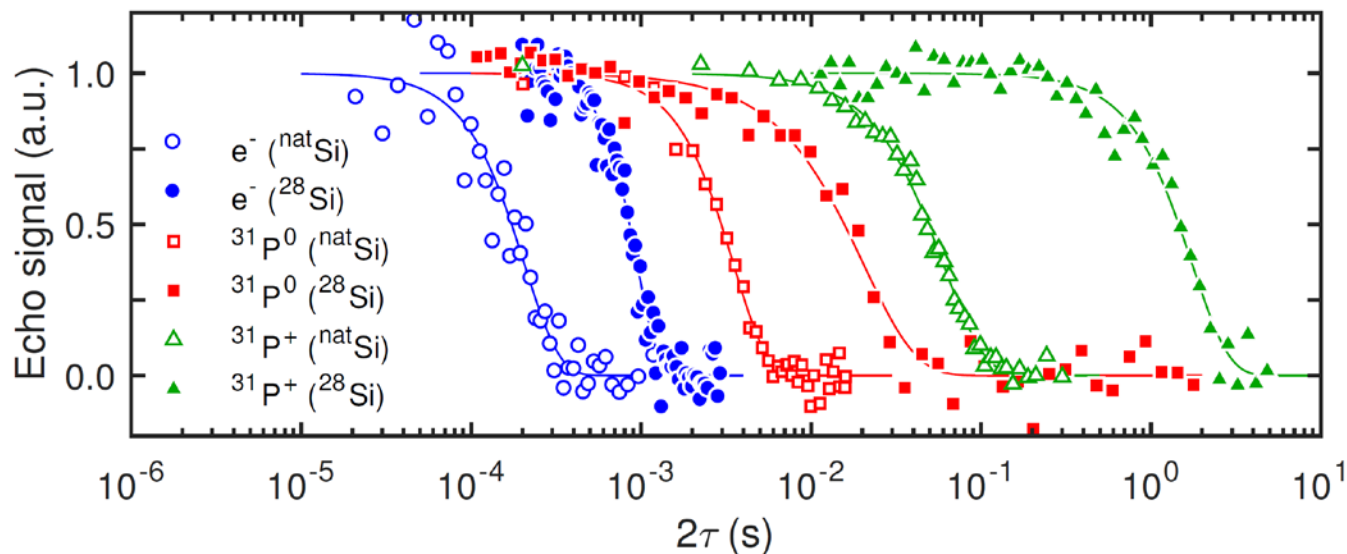
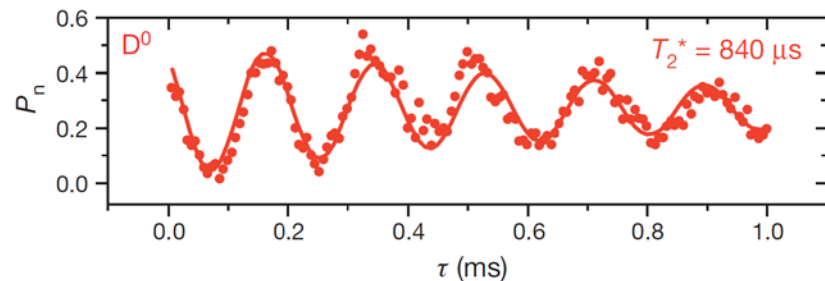
## エコー( $^{nat}\text{Si}$ )

# 単一核スピンコヒーレント制御

## ラビ振動( $^{nat}\text{Si}$ )



## ラムゼー干渉( $^{nat}\text{Si}$ )



Nature **489**, 541 (2012) Pla *et al.*

Nature **496**, 334 (2013) Pla *et al.*

Nature Nano. **9**, 986 (2014) Muhonen *et al.*

# An addressable quantum dot qubit with fault-tolerant control-fidelity

M. Veldhorst<sup>1\*</sup>, J. C. C. Hwang<sup>1</sup>, C. H. Yang<sup>1</sup>, A. W. Leenstra<sup>2</sup>, B. de Ronde<sup>2</sup>, J. P. Dehollain<sup>1</sup>, J. T. Muhonen<sup>1</sup>, F. E. Hudson<sup>1</sup>, K. M. Itoh<sup>3</sup>, A. Morello<sup>1</sup> and A. S. Dzurak<sup>1\*</sup>

## LETTER

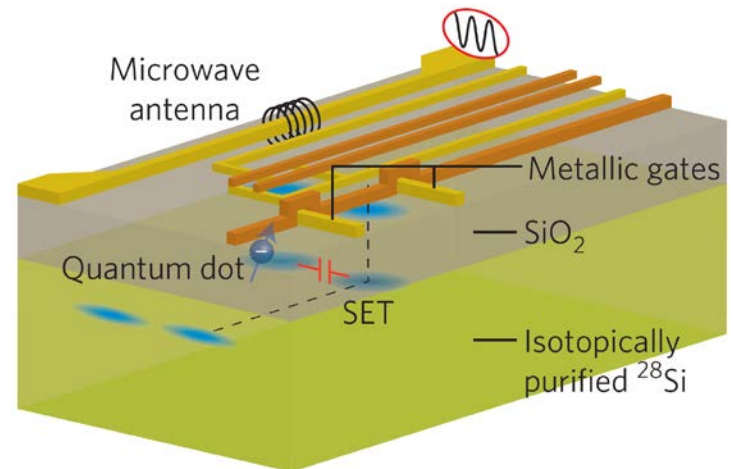
doi:10.1038/nature15263

## A two-qubit logic gate in silicon

M. Veldhorst<sup>1</sup>, C. H. Yang<sup>1</sup>, J. C. C. Hwang<sup>1</sup>, W. Huang<sup>1</sup>, J. P. Dehollain<sup>1</sup>, J. T. Muhonen<sup>1</sup>, S. Simmons<sup>1</sup>, A. Laucht<sup>1</sup>, F. E. Hudson<sup>1</sup>, K. M. Itoh<sup>2</sup>, A. Morello<sup>1</sup> & A. S. Dzurak<sup>1</sup>



(L to R) J. Muhonen, A. Morello, M. Veldhorst, A. Dzurak

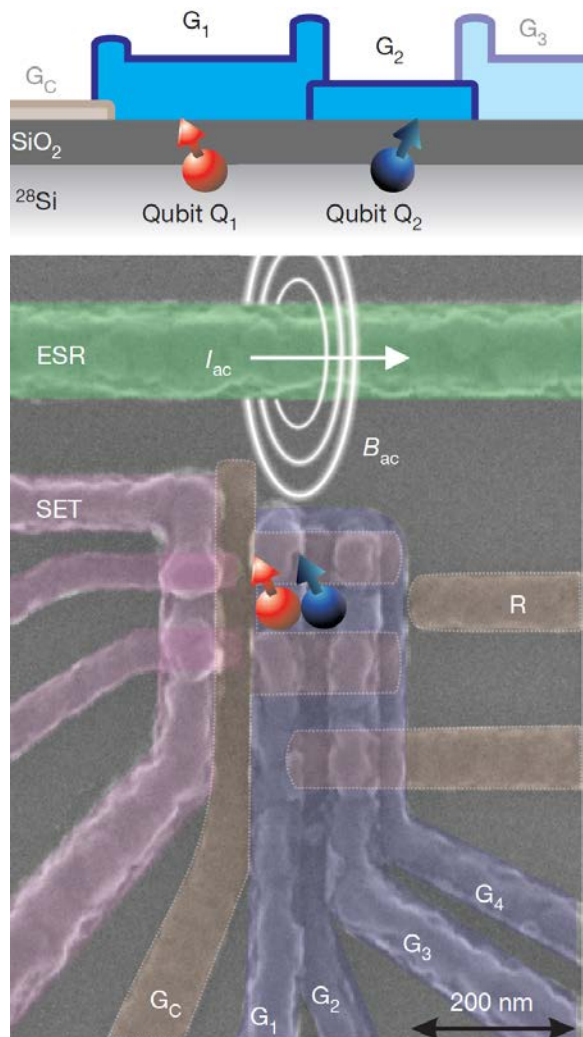


Nature Nano. **9**, 981 (2014) Veldhorst *et al.*

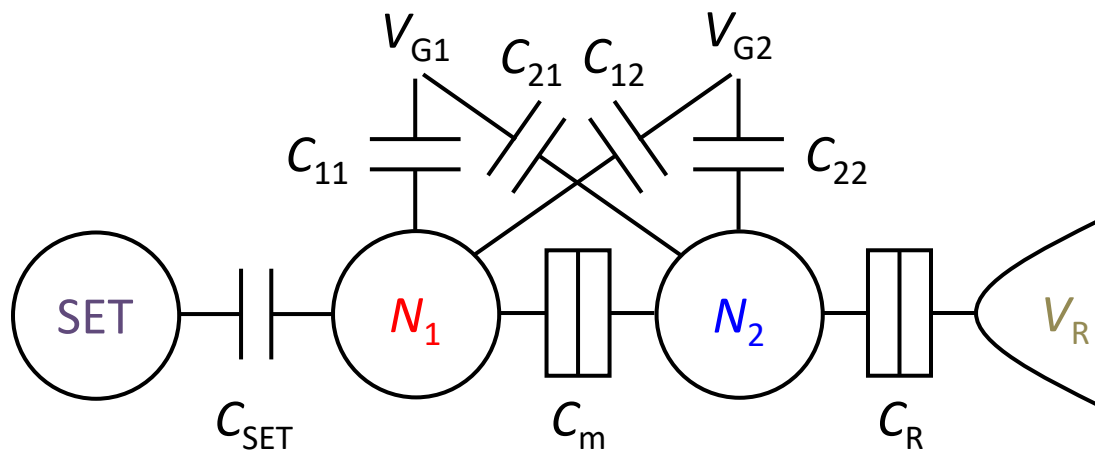
Nature **526**, 410 (2015) Veldhorst *et al.*



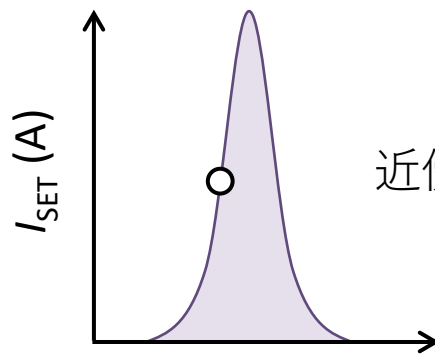
# MOS型2重量子ドット



## クロストーク

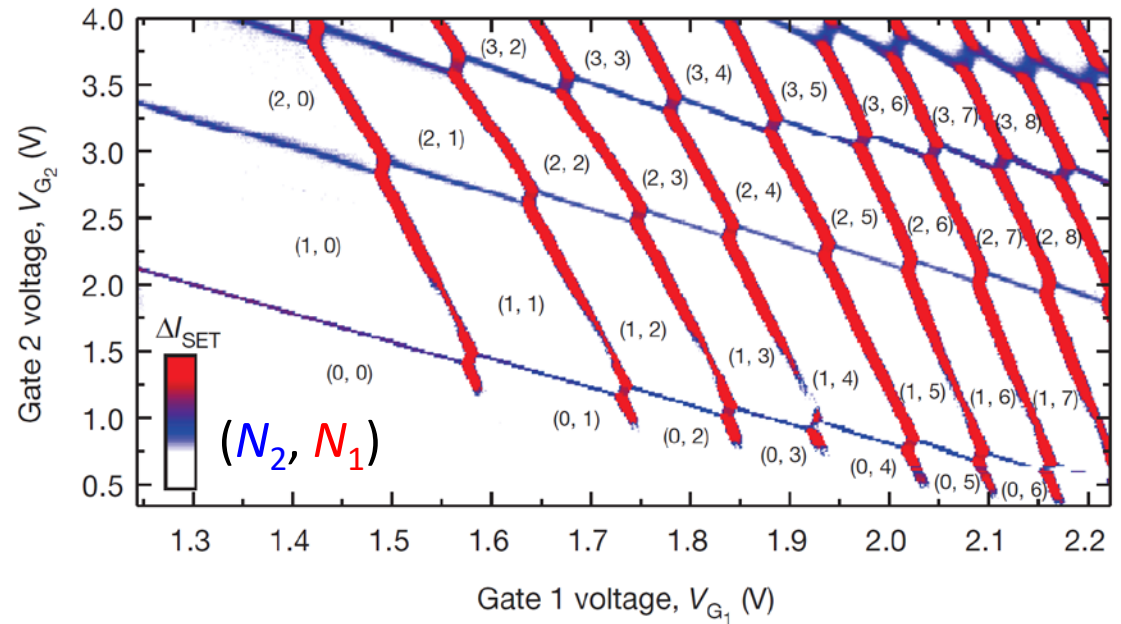
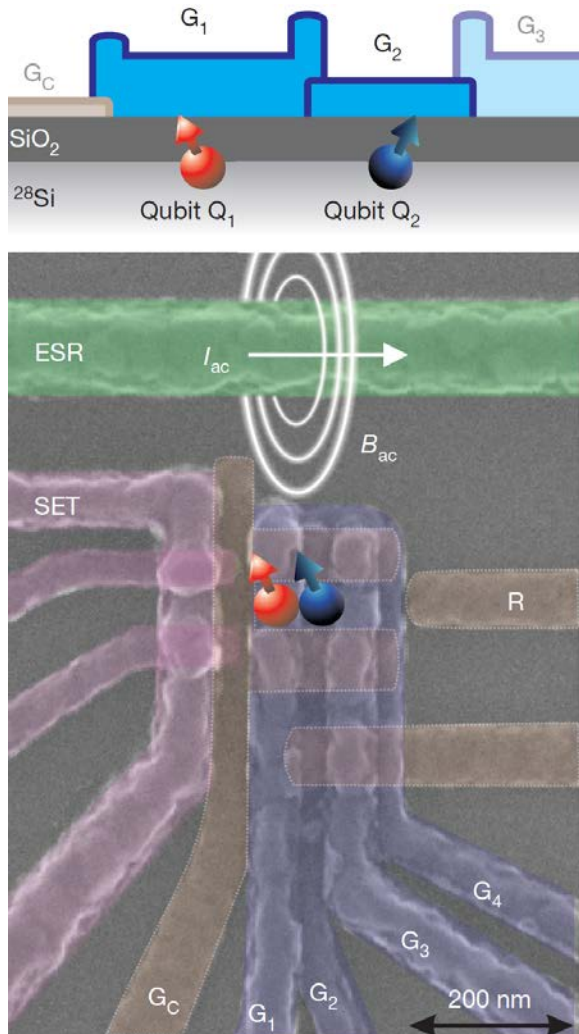


## SET電荷センサ



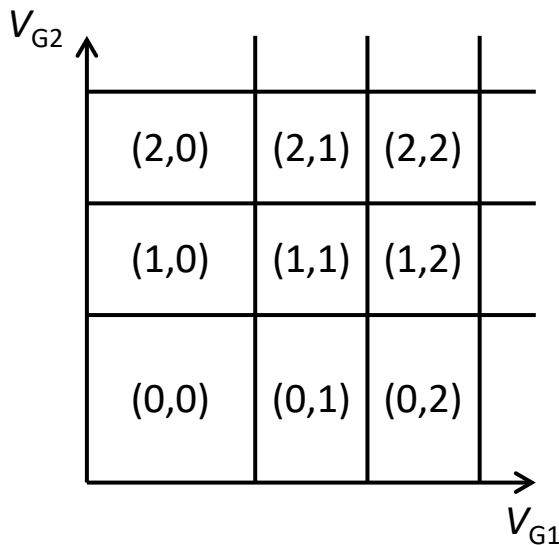
近傍のQDsの電子数変化に  
鋭敏に応答

# MOS型2重量子ドット



# スタビリティダイアグラム

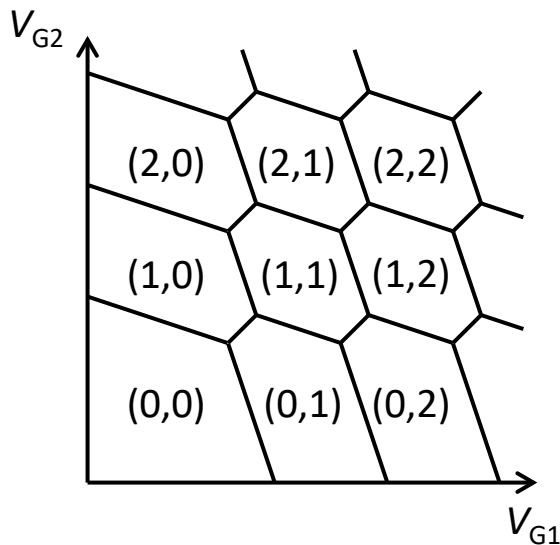
$$C_m \rightarrow 0$$



弱結合

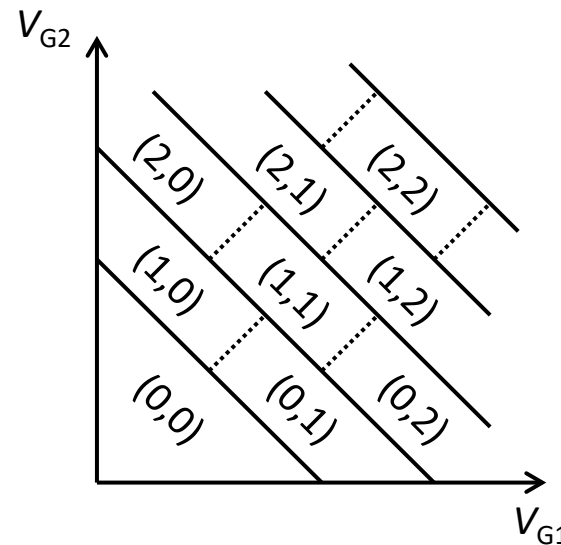
独立のドットとして  
振る舞う

$$\frac{C_m}{C_{1,2}} \rightarrow 1$$



ハニカム構造

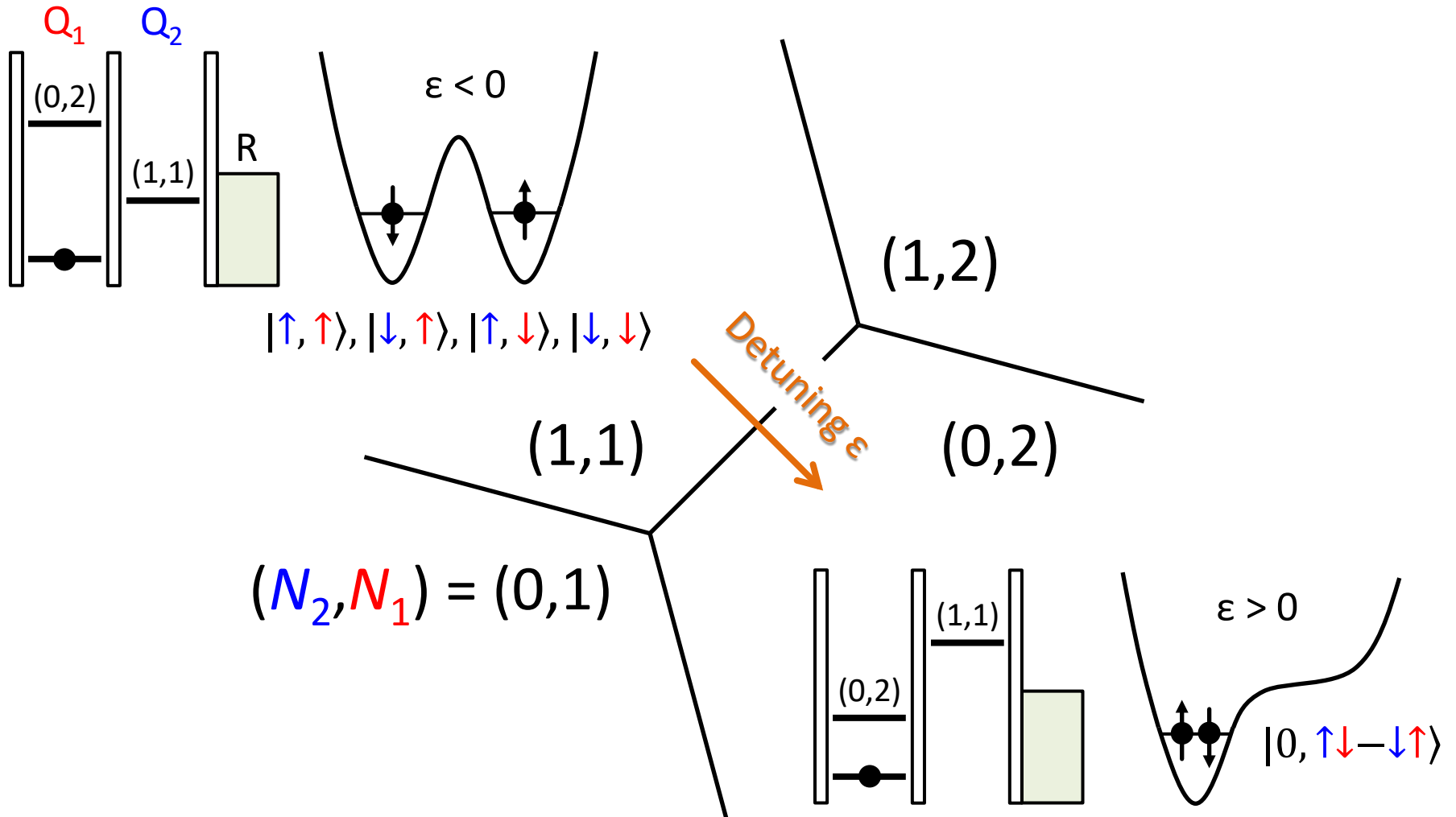
相互に影響しあう



強結合

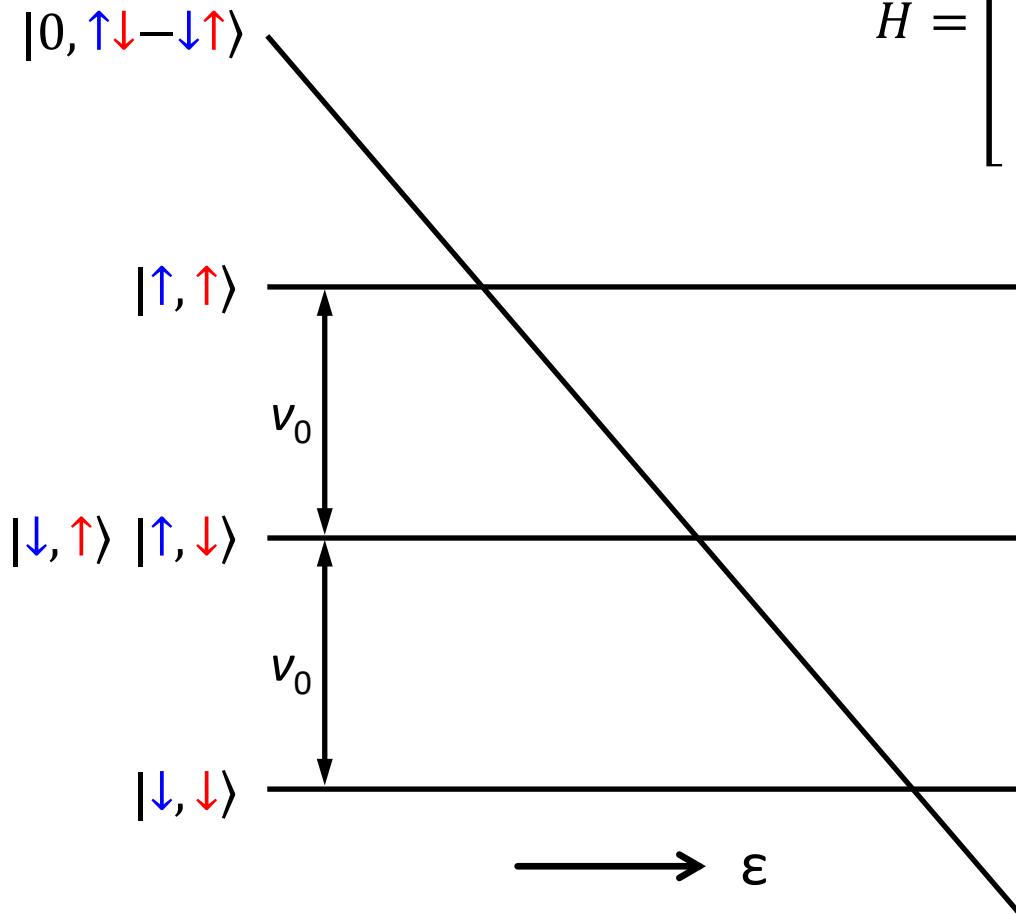
1つのドットとして  
振る舞う

# 2電子状態



# 2電子状態

$$H = \begin{bmatrix} U - \varepsilon & 0 & 0 & 0 & 0 \\ 0 & E_z & 0 & 0 & 0 \\ 0 & 0 & 0 & 0 & 0 \\ 0 & 0 & 0 & 0 & 0 \\ 0 & 0 & 0 & 0 & -E_z \end{bmatrix}$$

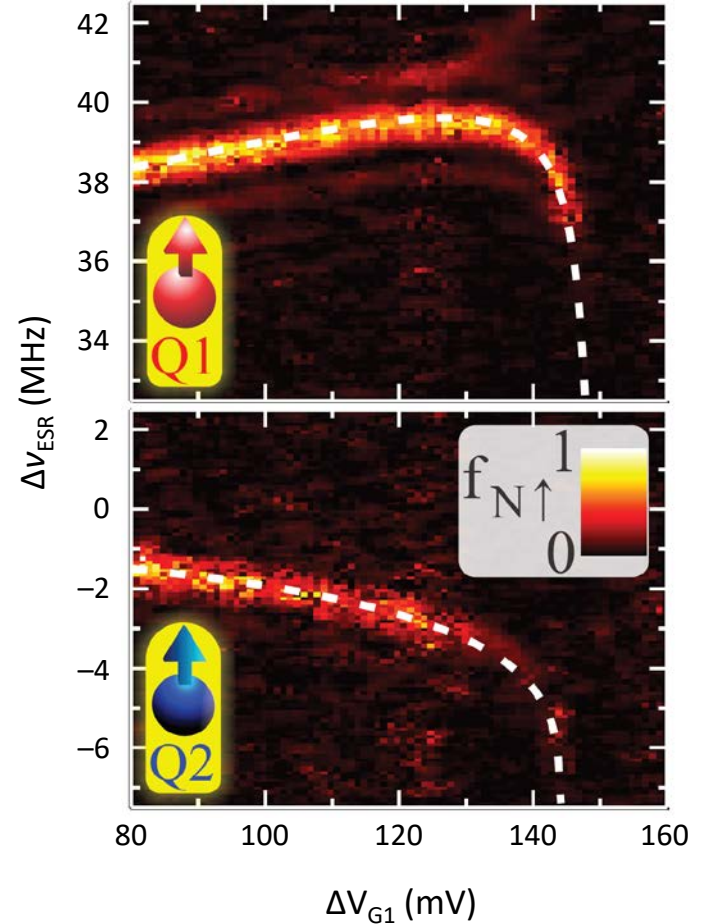
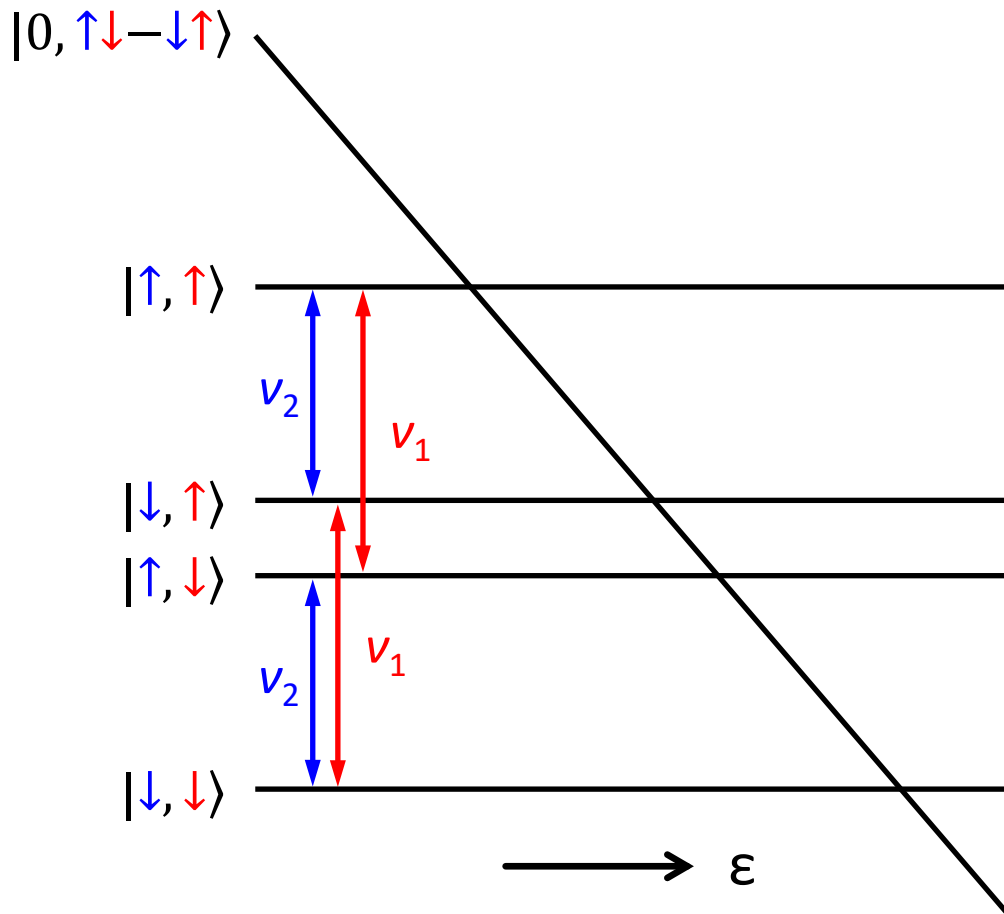


$$E_z = \gamma_e B_0 = h\nu_0$$

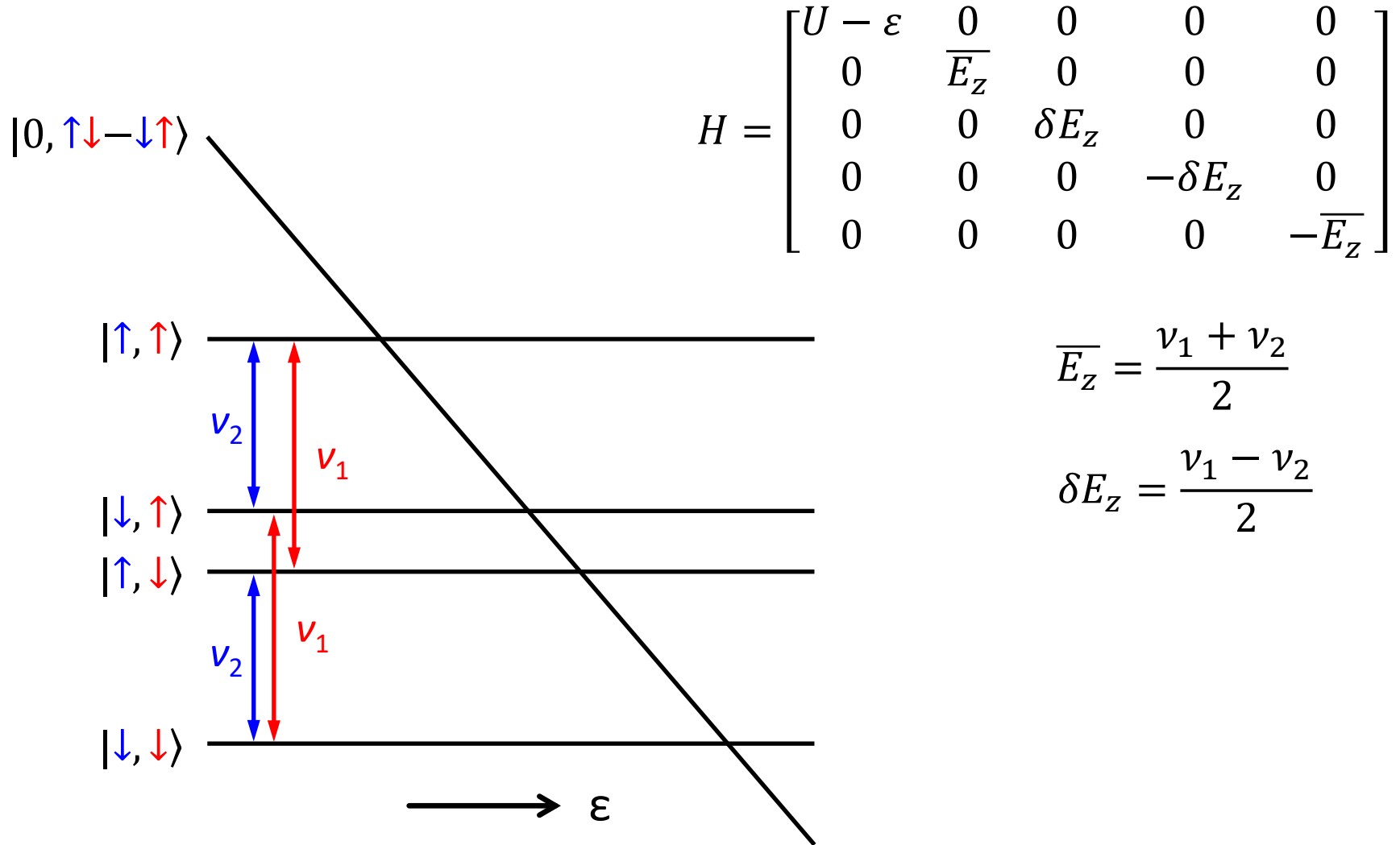
$$\nu_0 = 39.14 \text{ GHz @ } B_0 = 1.4 \text{ T}$$

# 2電子状態

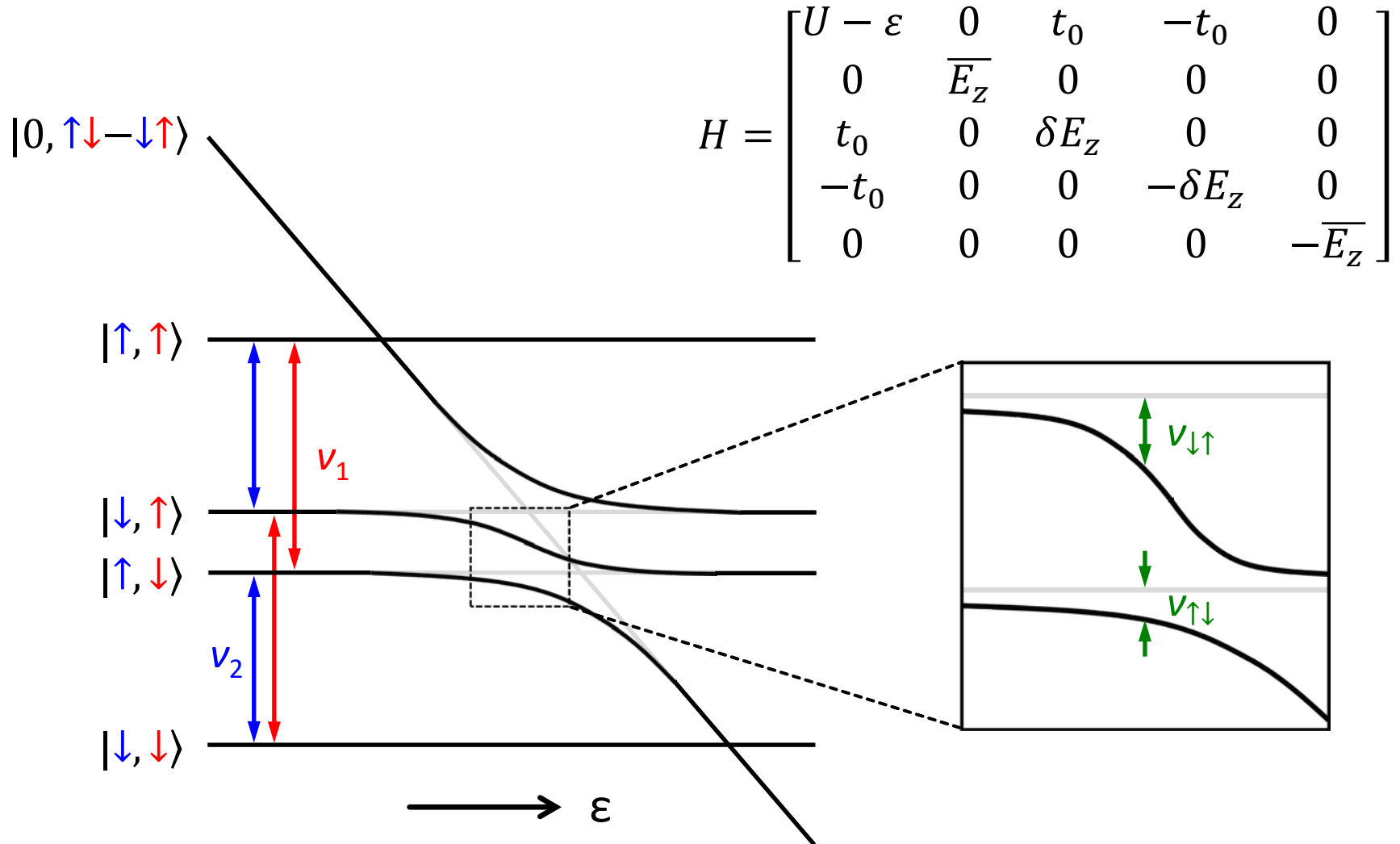
電場によるESR周波数制御: シュタルク効果



# 2電子状態



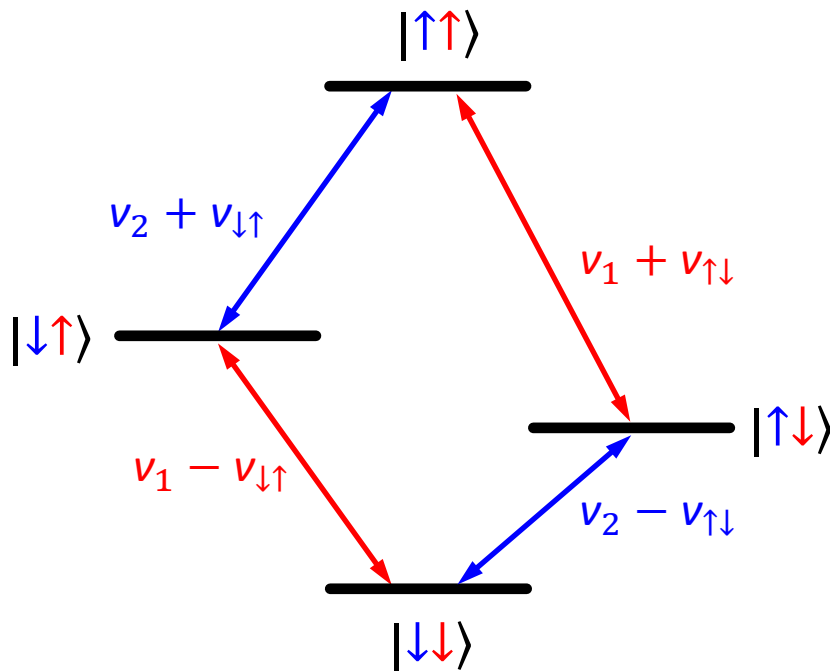
# 2電子状態





# CROT(制御回転)ゲート

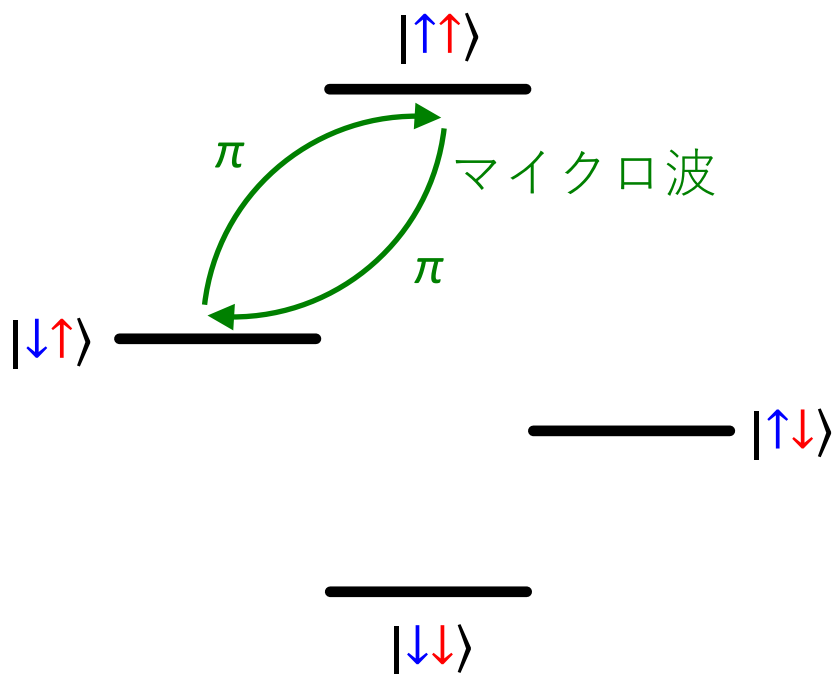
- $\varepsilon \rightarrow 0$ では全ての遷移が異なる周波数を持つ



# CROT(制御回転)ゲート

- $\epsilon \rightarrow 0$ では全ての遷移が異なる周波数を持つ
- 選択励起の $\pi$ パルスにより2量子ビットゲートが実現可能

e.g. 制御NOTゲート

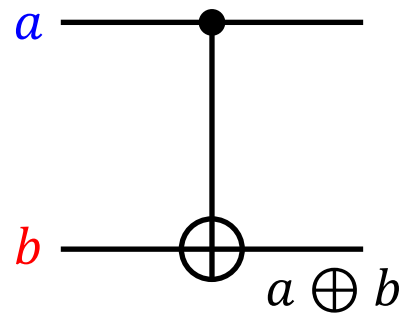


$$|\uparrow\uparrow\rangle = |11\rangle \longrightarrow |10\rangle$$

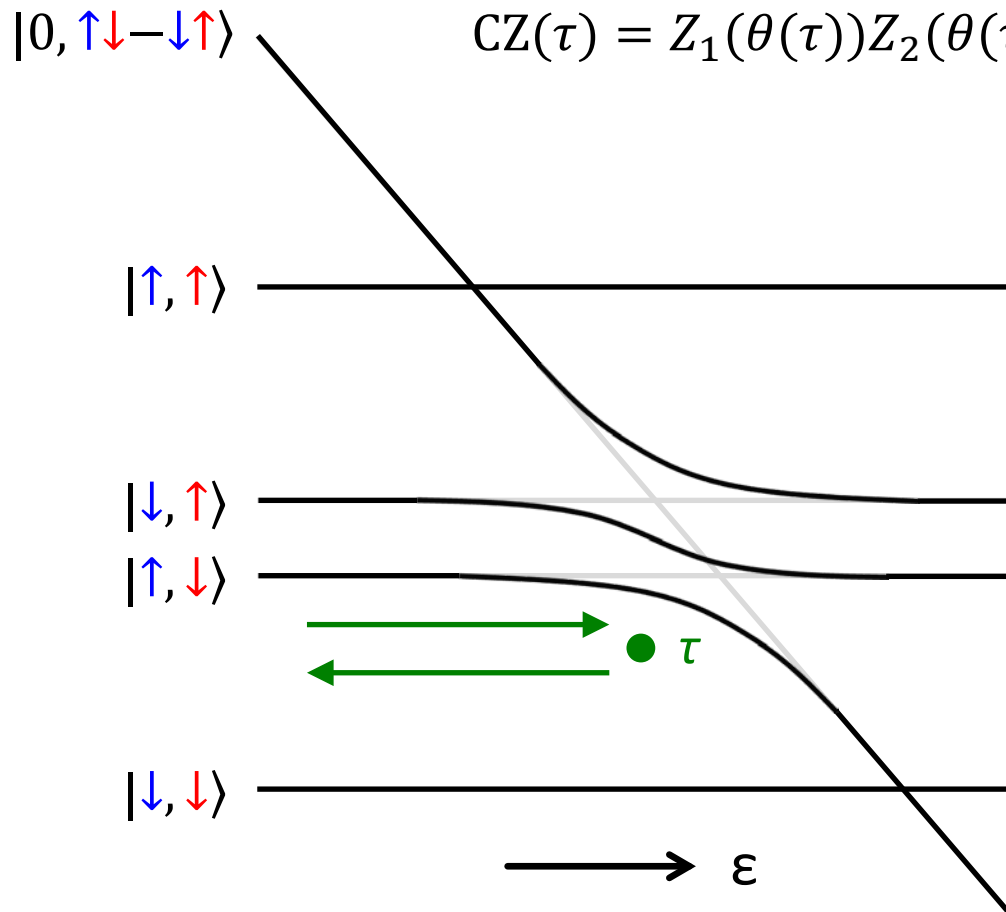
$$|\uparrow\downarrow\rangle = |10\rangle \longrightarrow |11\rangle$$

$$|\downarrow\uparrow\rangle = |01\rangle \longrightarrow |10\rangle$$

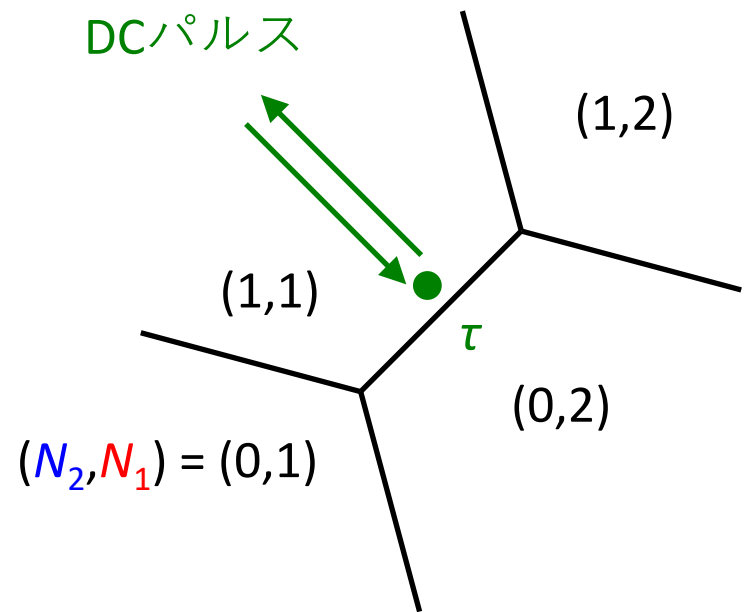
$$|\downarrow\downarrow\rangle = |00\rangle \longrightarrow |00\rangle$$



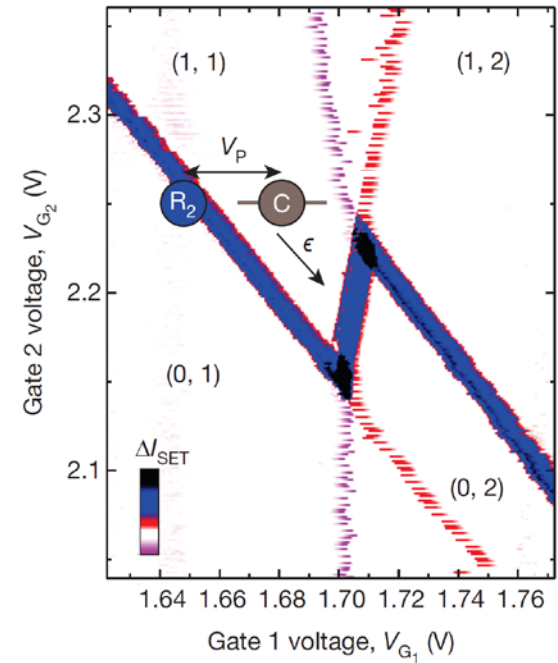
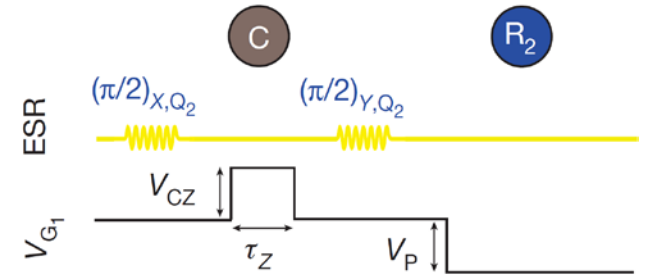
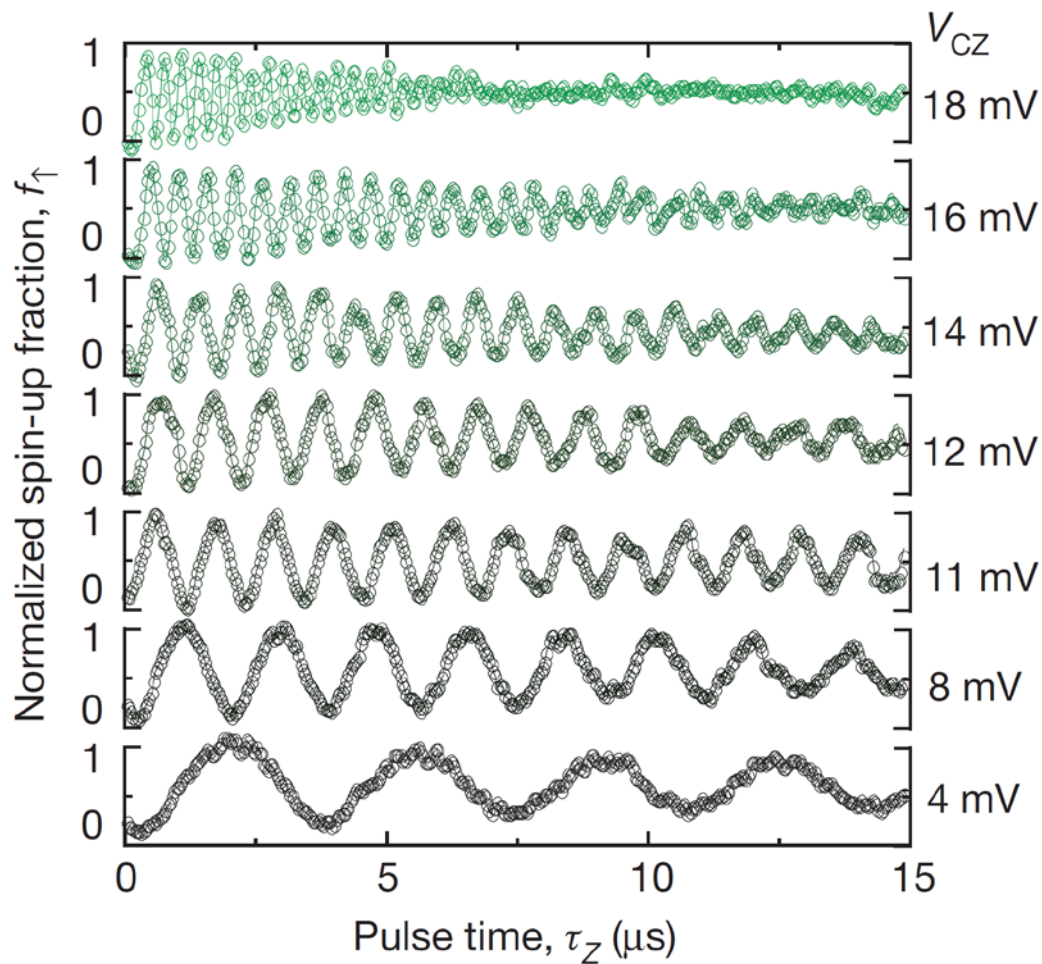
# CZゲート



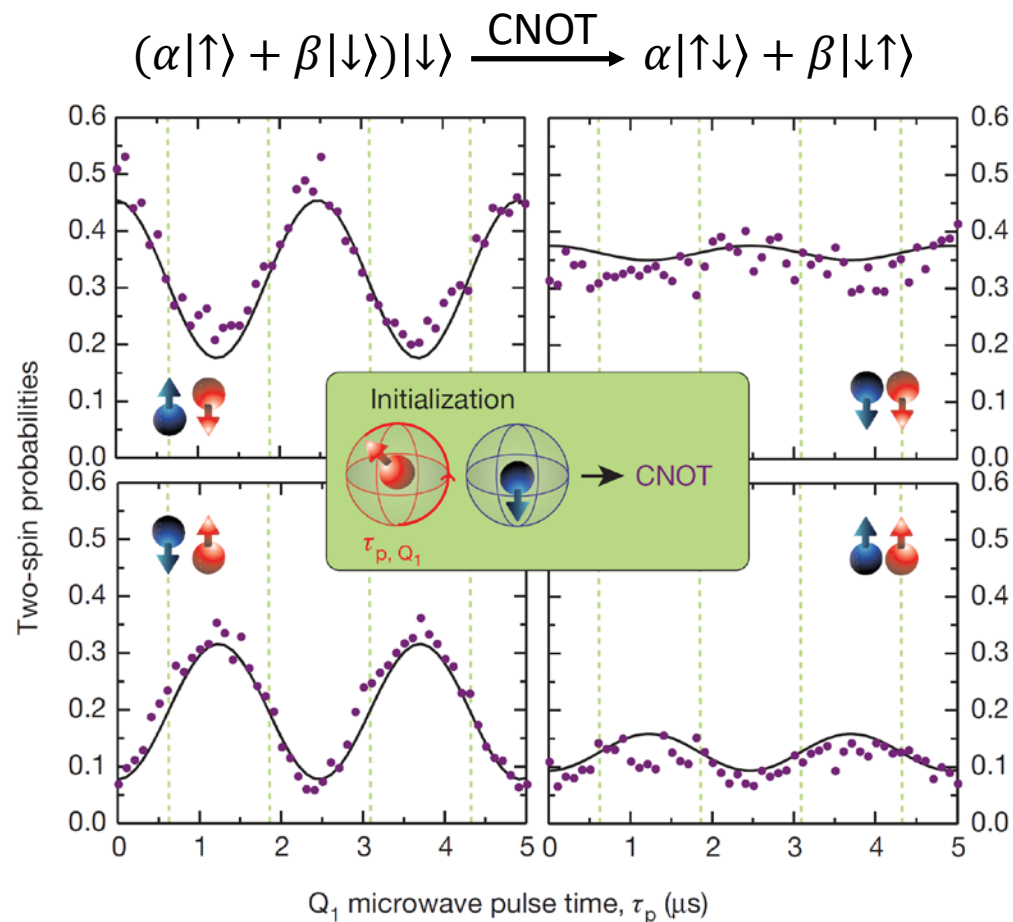
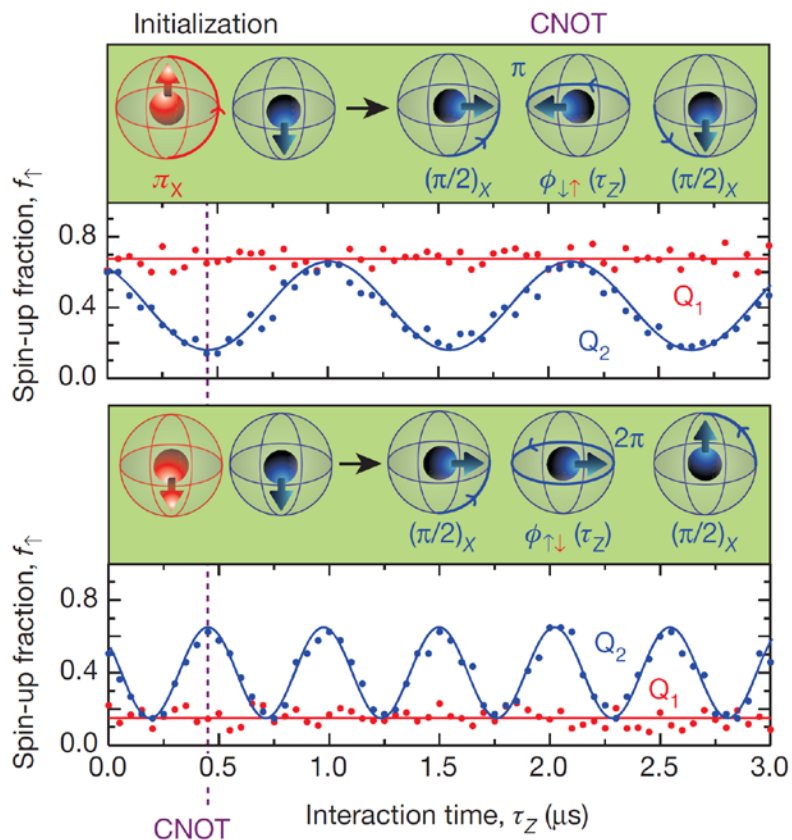
$$CZ(\tau) = Z_1(\theta(\tau))Z_2(\theta(\tau)) \begin{bmatrix} 1 & 0 & 0 & 0 \\ 0 & e^{-i2\pi\nu_{\downarrow\uparrow}\tau} & 0 & 0 \\ 0 & 0 & e^{-i2\pi\nu_{\uparrow\downarrow}\tau} & 0 \\ 0 & 0 & 0 & 1 \end{bmatrix}$$



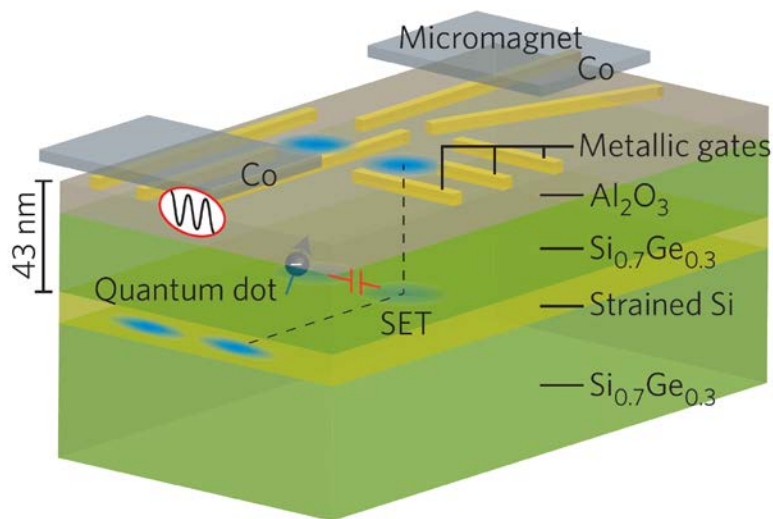
# CZゲート



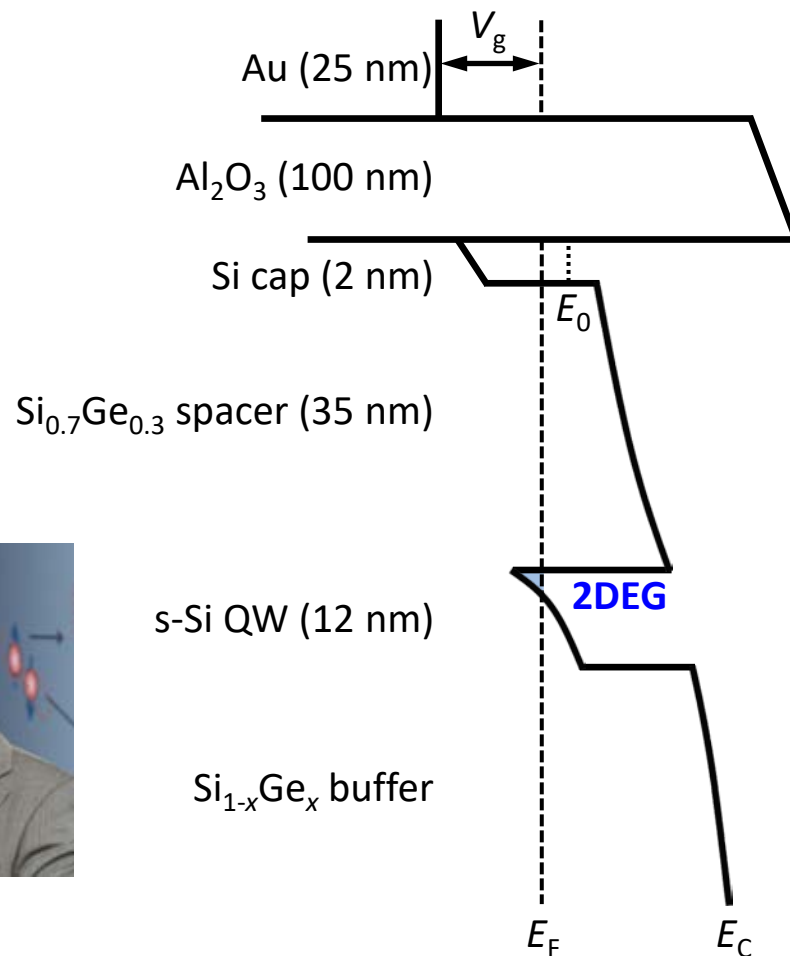
# 制御NOTゲート



# Si/SiGeへテロ構造



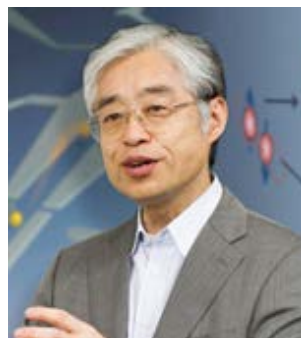
## ノンドープ構造による蓄積型QD



L. Vandersypen  
(©QuTech, TU Delft)



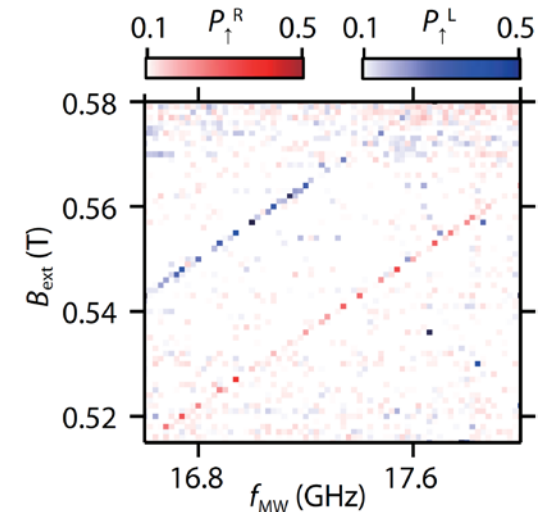
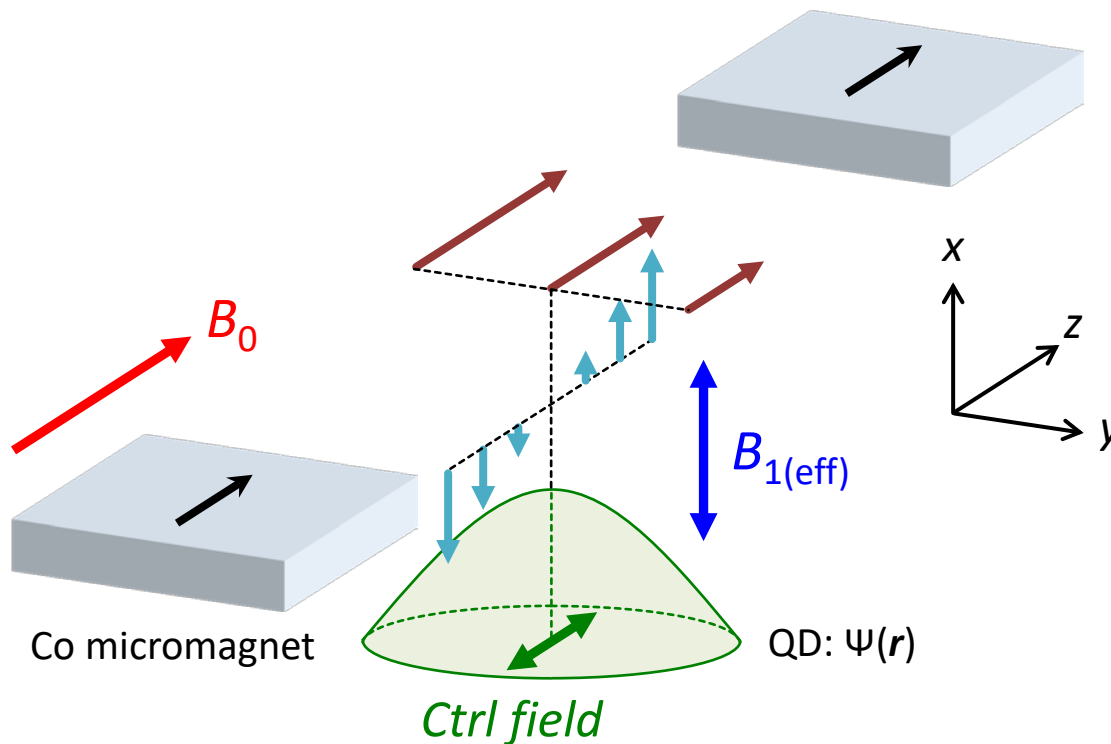
J. Petta  
(©Princeton)



S. Tarucha  
(©RIKEN)

# 電気双極子スピン共鳴

- **y方向の磁場勾配**によって共鳴周波数を制御
- **±z方向に電子波動関数を“揺する”**ことで**x方向に実効的な交流磁場**を生成



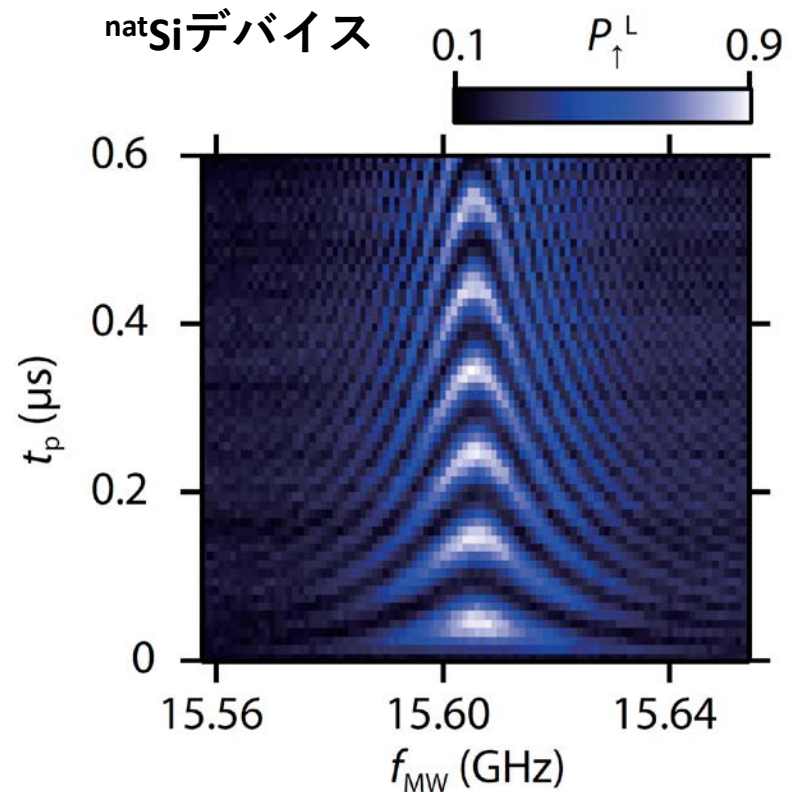
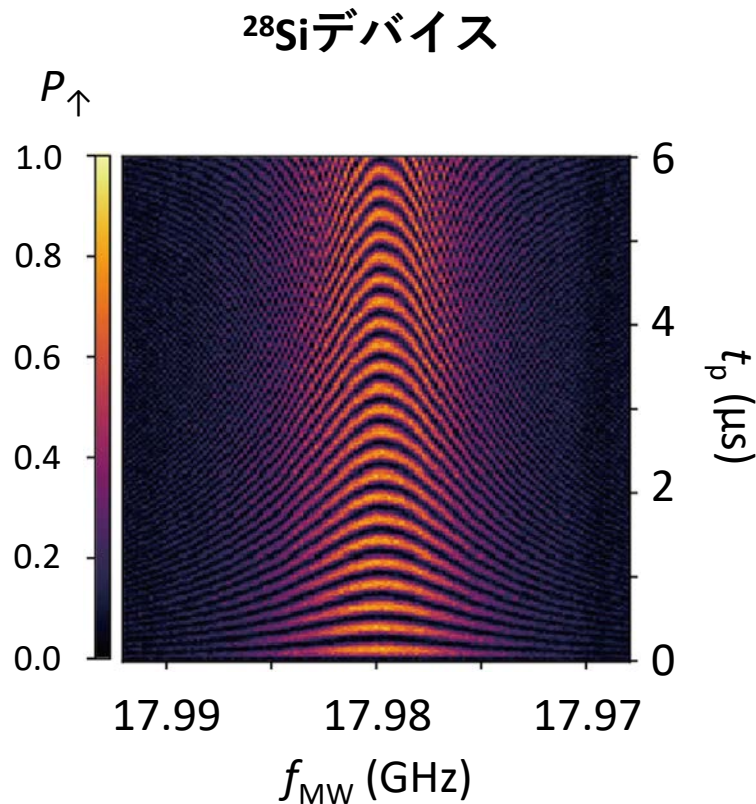
Sci. Adv. **2**, e1600694 (2016) Takeda *et al.*

(Theory) Phys. Rev. Lett. **96**, 047202 (2006) Tokura *et al.*

(GaAs QD) Nature Phys. **4**, 776 (2008) Pioro-Ladrière *et al.*

(Magnet design) Appl. Phys. Express **8**, 084401 (2015) Yoneda *et al.*

# 電気双極子スピン共鳴



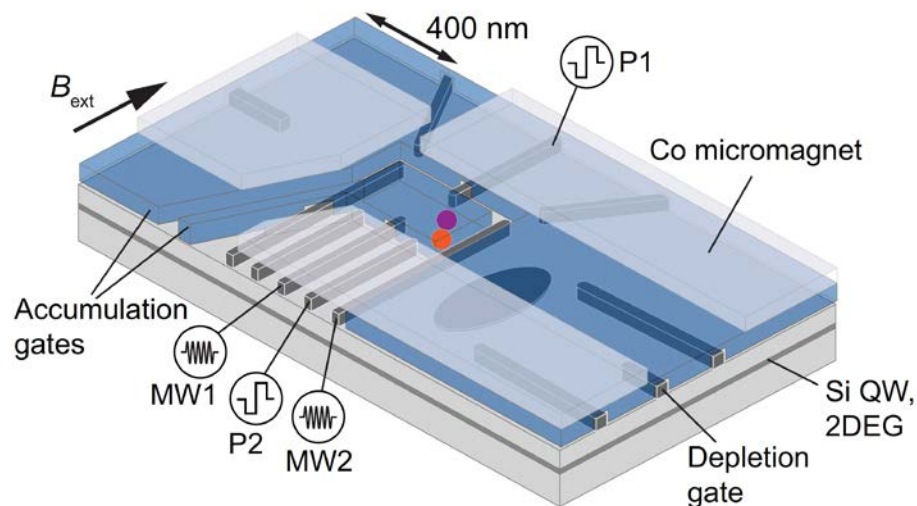
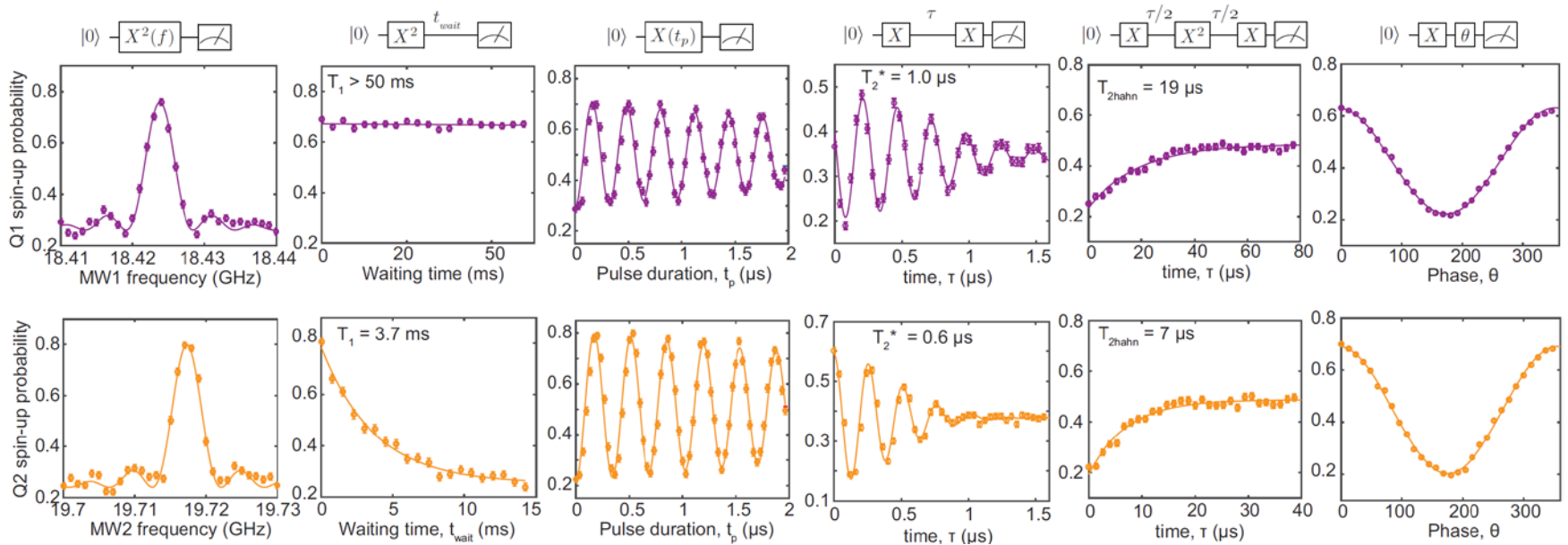
- ラビ周波数  $\sim 30$  MHz
- フィデリティ  $> 99.9\%$
- $T_2^* \sim 20 \mu$ s,  $T_2 > 1$  ms (with decoupling)

Sci. Adv. **2**, e1600694 (2016) Takeda *et al.*

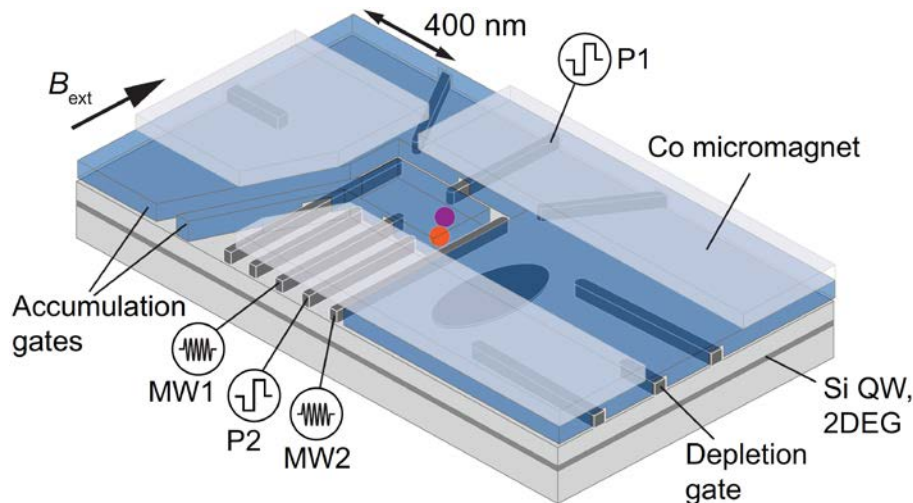
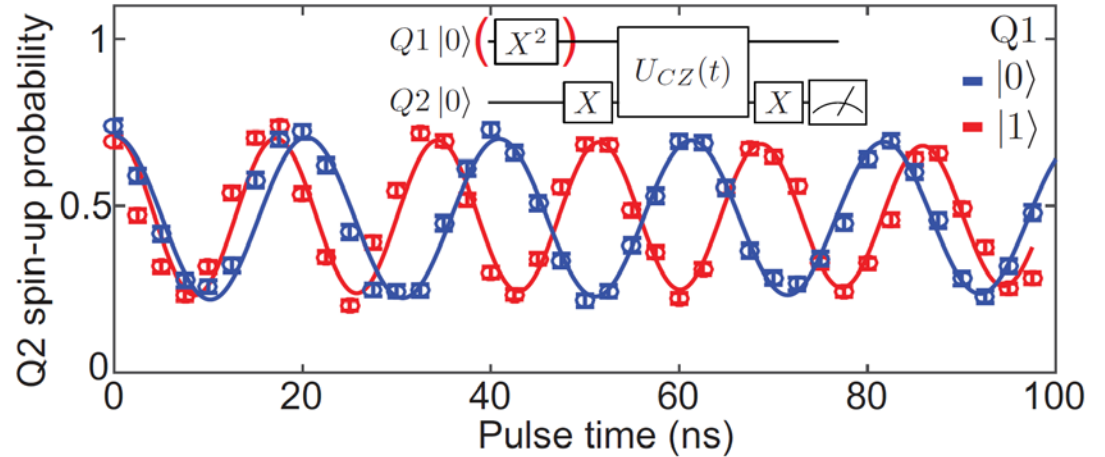
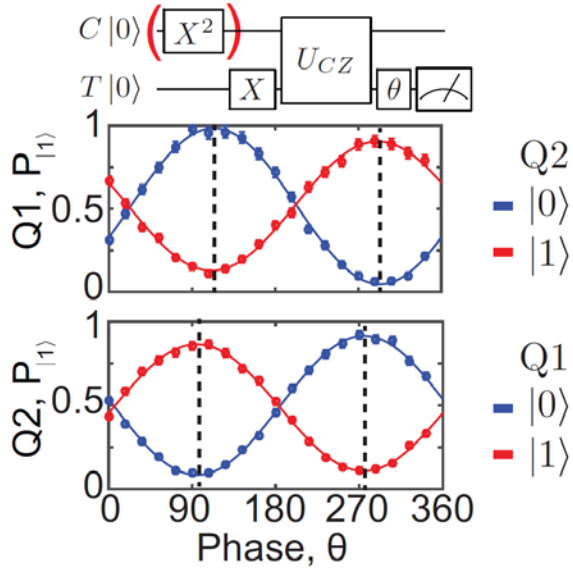
arXiv:1708.01454 Yoneda *et al.*



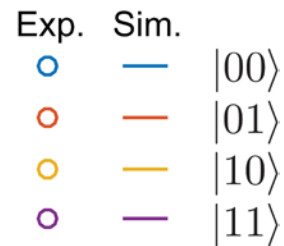
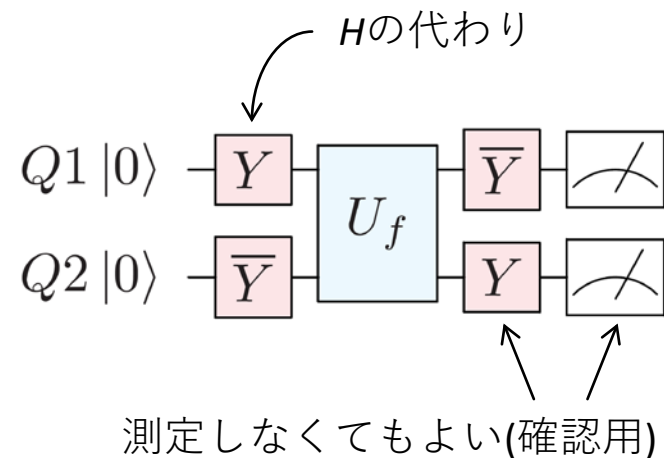
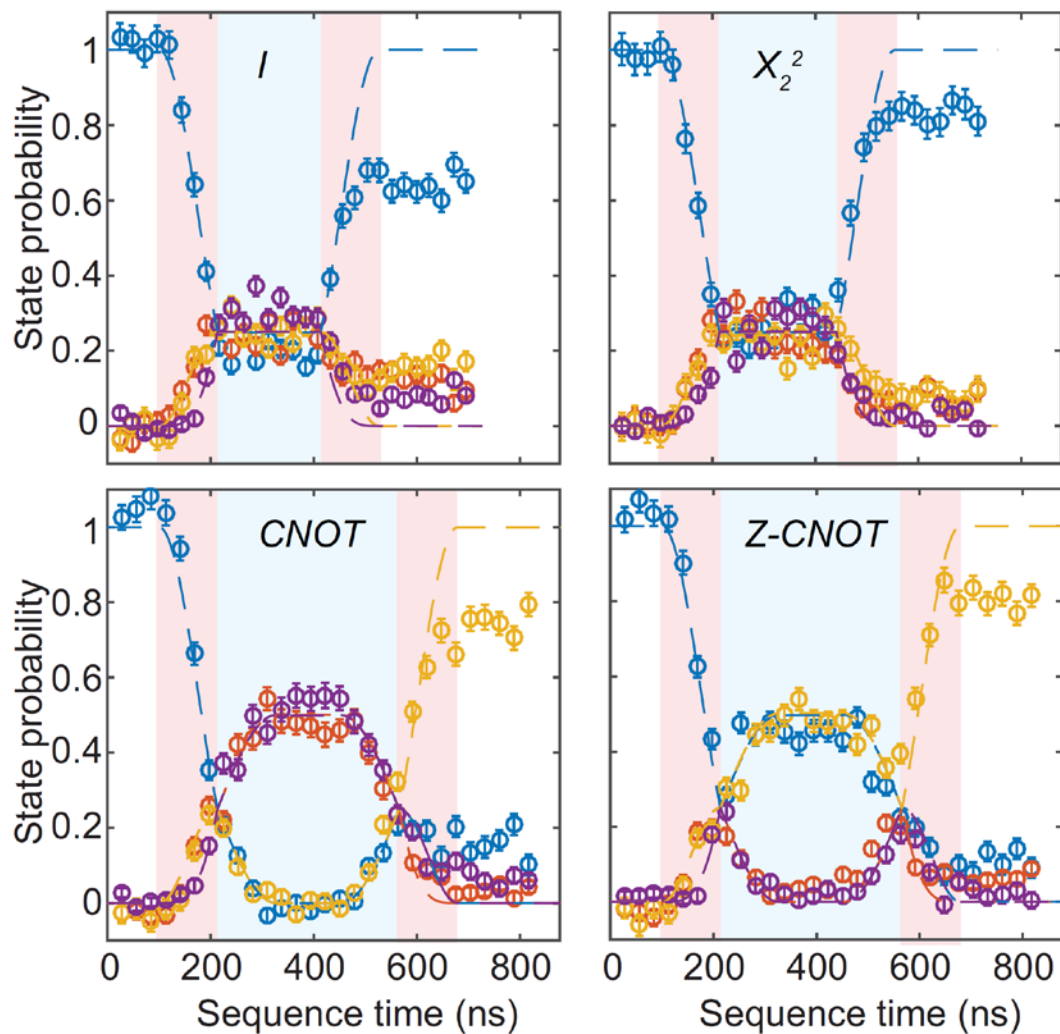
# 2重量子ドットデバイス



# 2重量子ドットデバイス



# ドイチュ・ジョザアルゴリズムの実行



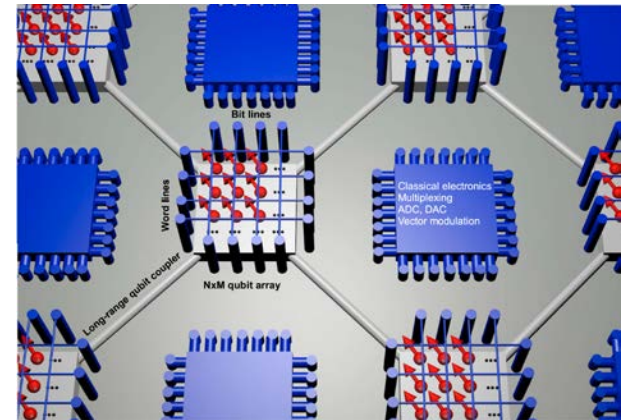
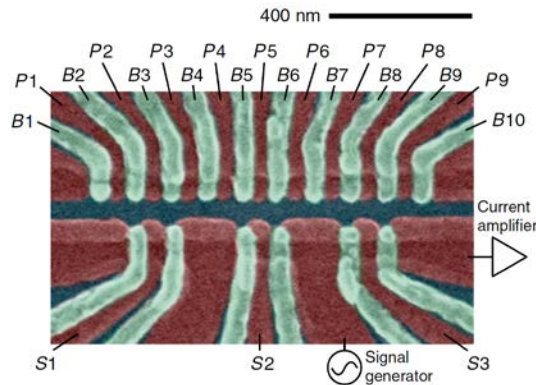
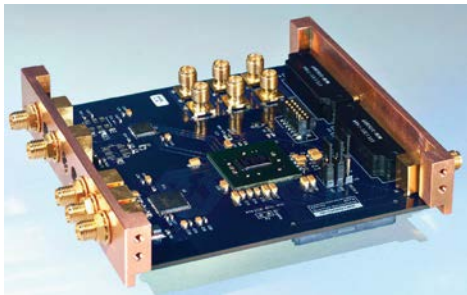
# 展望

- 多量子ビット化(アーキテクチャ、インターフェイス)

- npj Quant. Info. **1**, 15011 (2015) Reilly

- Phys. Rev. Appl. **6**, 054013 (2016) Zajac *et al.*

- npj Quant. Info. **3**, 34 (2017) Vandersypen *et al.*



- フェルミオン系の量子シミュレーション

- Nature **548**, 70 (2017) Hensgens *et al.*

